



รายงานผลการวิจัย มหาวิทยาลัยแม่โจ้

เรื่อง การประหยัดพลังงานระบบ EVAPORATIVE COOLING ของโรงเรือน
กระเจき โดยใช้ CHILLED WATER NIGHT COOLING

ENERGY SAVING BY EVAPORATIVE COOLING OF
GLASSHOUSE SYSTEM USING CHILLED WATER COOLING

ได้รับการจัดสรรงบประมาณวิจัย ประจำปี 2547 (รับการสนับสนุนทุนจากสำนักวิจัยและ
ส่งเสริมวิชาการเกษตร มหาวิทยาลัยแม่โจ้)
จำนวน 720,000 บาท

หัวหน้าโครงการ
ที่ปรึกษาโครงการ
ผู้ร่วมวิจัย

ผศ.ดร.ณัฐกุล ดุษฎี
ศ.ดร.ทนงเกียรติ เกียรติศรีโรจน์
ดร.อติพงศ์ นันทพันธุ์
พิสุทธิ์ กลินชาร

| สำนักงานอสมุค มหาวิทยาลัยแม่โจ้ | |
|---------------------------------|--------------|
| B: | 229769 |
| I: | 190319 |
| วันที่ | 3 มี.ค. 2552 |
| เลขที่บันทึก | 333-7916 |
| หน่วย | ๗๖ ๓๖๑๗ |

งานวิจัยเสร็จสมบูรณ์
วันที่ 29 มีนาคม 2551

กิตติกรรมประกาศ

ในการศึกษาการประหยัดพลังงานในระบบ Evaporative Cooling ของโรงเรียนกระเจก โดยใช้ Chilled Water Night Cooling ซึ่งได้รับทุนอุดหนุนการวิจัยจากสำนักวิจัยและส่งเสริม วิชาการการเกษตร มหาวิทยาลัยแม่โจ้ ทางคณะผู้วิจัยจึงขอขอบพระคุณหน่วยงานที่ให้การสนับสนุนและให้ความอนุเคราะห์สถาบันที่จัดเก็บข้อมูลดังต่อไปนี้

- โรงเรียนสำนักงานวิจัยและส่งเสริมวิชาการเกษตร มหาวิทยาลัยแม่โจ้
- โรงเรียนกล่าวไปมีดอกและมีประดับ มหาวิทยาลัยแม่โจ้

สุดท้ายนี้ คณะผู้วิจัยต้องขอขอบพระคุณสำนักวิจัยและส่งเสริมวิชาการเกษตร และภาควิชาพืชไร่ คณะผลิตกรรมการเกษตร มหาวิทยาลัยแม่โจ้ ที่สนับสนุนด้านที่นี่ที่ดำเนินงานของนักวิจัยในโครงการนี้

คณะผู้วิจัย

ธันวาคม 2551

ร้า 333.7916 ณ 361 ก

ณัฐรุณิ ฤทธิ์

การประหยัดพลังงานระบบ evaporative cooling ของโรงเรียน
35001002109440

สารบัญ

หน้า

กิตติกรรมประกาศ

ก

สารบัญเรื่อง

ข

สารบัญตาราง

จ

สารบัญรูป

ฉ

บทคัดย่อ

ฉ

สัญลักษณ์และคำย่อ

บทที่ 1 บทนำ

| | |
|------------------------------------|---|
| 1.1 บทนำ | 1 |
| 1.2 วัตถุประสงค์ของโครงการ | 5 |
| 1.3 ขอบเขตโครงการวิจัย | 5 |
| 1.4 ประโยชน์ที่จะได้รับจากโครงการ | 5 |
| 1.5 เอกสารและงานวิจัยที่เกี่ยวข้อง | 5 |

บทที่ 2 หลักการและทฤษฎี

| | |
|---|----|
| 2.1 โรงเรือน (Greenhouse) | 15 |
| 2.2 ปัจจัยที่มีผลต่อการเพิ่มประสิทธิภาพในโรงเรือน | 18 |
| 2.3 การทำความเย็นโดยอาศัยหลักการระเหยของน้ำ | 20 |
| 2.4 กระบวนการความคิดของพัฒนาระบบโรงเรือน | 24 |
| Greenhouse แบบประหยัดพลังงาน | |
| 2.5 การระบายอากาศ [ventilation] | 25 |
| 2.6 การควบคุมการเคลื่อนที่ของอากาศหรือความเร็วลมภายในโรงเรือน | 27 |
| 2.7 เอนthalpy ของอากาศ (Enthalpy of air) | 29 |
| 2.8 สมดุลความร้อนในโรงเรือน(Energy Balance) | 31 |

สารบัญ (ต่อ)

หน้า

บทที่ 3 ขั้นตอนและวิธีการดำเนินการวิจัย

| | |
|---|----|
| 3.1 คุปกรณ์ เครื่องมือวัดที่ใช้ในการทดลอง | 34 |
| 3.2 ขั้นตอนและวิธีการดำเนินการวิจัย | 39 |

บทที่ 4 ผลการทดลองและวิจารณ์

| | |
|--|----|
| 4.1 การประเมินสมรรถนะของโรงเรือนสำนักวิจัยฯ และศูนย์กสิวัยไม้ฯ | 45 |
| 4.2 การประเมินสมรรถนะโรงเรือนศูนย์วิจัยพลังงาน มหาวิทยาลัยแม่โจ้ | 51 |

บทที่ 5 สรุปผลการทดลอง

| | |
|--------------------|----|
| 5.1 สรุปผลการทดลอง | 76 |
| 5.2 ข้อเสนอแนะ | 78 |

เอกสารอ้างอิง

79

ภาคผนวก

81

สารบัญตาราง

| ตารางที่ | หน้า |
|---|------|
| 2.1 สมรรถนะของการทำความเย็นแบบ Evaporative cooling ที่สถานที่ต่างๆ ในโลก | 23 |
| 3.1 คุณลักษณะของเรือนเพาะปลูกพืชที่ทดสอบ | 35 |
| 4.1 อัตราการไหลของอากาศภายในโรงเรือน | 49 |
| 4.2 อัตราการใช้พลังงานไฟฟ้าของโรงเรือน | 51 |
| 4.3 โรงเรือนขณะไม่มีการทำงานของระบบ | 59 |
| 4.4 ผลต่างระหว่างอุณหภูมิของอากาศก่อนเข้าและหลังออกจากม่านเปียก และ ประสิทธิภาพของม่านเปียกที่อุณหภูมิของน้ำที่เข้าสู่ม่านเปียกค่าต่าง ๆ | 62 |
| 4.5 ปริมาณการใช้พลังงานของโรงเรือน | 62 |
| 4.6 ความเข้มรังสีแสงอาทิตย์ | 66 |
| 4.7 เปรียบเทียบคุณสมบัติของโรงเรือน ที่อุณหภูมน้ำเข้าม่านเปียกปกติ (25°C) | 67 |
| 4.8 อุณหภูมิในการทดสอบชุดเทอร์โมไฟฟ่อน | 73 |

สารบัญรูป

| | หน้า |
|--|------|
| รูปที่ 1.1 ระบบการทำความเย็นแบบ Evaporative cooling โดยป้อนน้ำเย็นให้ Wetted media | 3 |
| รูปที่ 1.2 อุณหภูมิทั้งปีของจังหวัดเชียงใหม่ ปี 2546-48 | 3 |
| รูปที่ 1.3 การทำงานของเทอร์โมไฟฟอน | 4 |
| รูปที่ 1.4 ลักษณะโรงเรือนที่ใช้ในการวิจัยของ เอกศักดิ์ ชื่อสกุลไพบูลย์ | 7 |
| รูปที่ 1.5 เปรียบเทียบผลกระทบระหว่างการทดลองกับแบบจำลอง อุณหภูมิในโรงเรือน | 8 |
| รูปที่ 1.6 เปรียบเทียบผลกระทบระหว่างการทดลองกับแบบจำลอง ความรืนสัมพัทธิ์ในโรงเรือน | 8 |
| รูปที่ 1.7 ลักษณะโรงเรือน และการติดตั้งระบบวัดของ วิทยา เนียนตนอม | 9 |
| รูปที่ 1.8 เปรียบเทียบผลของอุณหภูมิ ในโรงเรือนระหว่างแบบจำลองและการทดลอง | 10 |
| รูปที่ 1.9 เปรียบเทียบผลของความรืนในโรงเรือนระหว่างแบบจำลองและการทดลอง | 10 |
| รูปที่ 1.10 ผลของอัตราส่วนมวลน้ำต่อมวลอากาศ ต่อ อุณหภูมิอากาศข้าออก | 11 |
| รูปที่ 1.11 การดึงความร้อนจากดินโดยใช้ท่อความร้อนสำหรับทำห้องเย็นเก็บผลผลิตทางการเกษตร | 13 |
| รูปที่ 1.12 การดึงความร้อนสะสมในข้าวเปลือกโดยใช้ท่อความร้อน | 14 |
| รูปที่ 2.1 ระบบทำความเย็นแบบ direct evaporative cooling | 20 |
| รูปที่ 2.2 ระบบทำความเย็นแบบ indirect evaporative cooling | 21 |
| รูปที่ 2.3 การทำความเย็นแบบ Direct / indirect Evaporative cooling บนแผนภูมิอากาศรืน | 22 |
| รูปที่ 2.4 ระบบทำความเย็นแบบ Indirect/direct evaporative cooling | 22 |
| รูปที่ 2.5 การทำงานของโรงเรือน Greenhouse แบบประหยัดพลังงาน โดยใช้ระบบ Chilled Water Night cooling | 25 |
| รูปที่ 2.6 สมดุลพลังงานความร้อนในโรงเรือน | 32 |
| รูปที่ 3.1 โรงเรือนที่ใช้เก็บข้อมูลประเมินสมรรถนะ | 35 |
| รูปที่ 3.2 พัดลมและชุดเทอร์โมไฟฟอนในโรงเรือนศูนย์วิจัยพลังงาน | 36 |
| รูปที่ 3.3 เครื่องบันทึกอุณหภูมิ Memmert รุ่น DO 6057 และเทอร์โมคัปเปิล ชนิด K | 37 |

สารบัญรูป (ต่อ)

| | หน้า |
|--|------|
| รูปที่ 3.4 เครื่องวัดกระแทกพื้นและเครื่องวัดความเร็วลม | 37 |
| รูปที่ 3.5 เครื่องอัดอากาศที่ใช้ในการทดสอบการรับ | 38 |
| รูปที่ 3.6 ปั๊มสูญญากาศ และเกจวัดความดัน | 38 |
| รูปที่ 3.7 ชุดเทอร์โมไฟฟ่อน | 39 |
| รูปที่ 3.8 แผง Cooling pad ภายใต้โถงเรือน | 40 |
| รูปที่ 3.9 การวัดความเร็วลมและระดับน้ำ | 40 |
| รูปที่ 3.10 ระบบการทดสอบหาสมรรถนะของเทอร์โมไฟฟ่อน สำหรับดึงความร้อนจากน้ำสู่อากาศ | 41 |
| รูปที่ 3.11 ระบบการทดสอบหาสมรรถนะของทดสอบ Wetted media เมื่อป้อนน้ำเย็น | 43 |
| รูปที่ 4.1 อุณหภูมิเฉลี่ยกระเบาะแห้งของอากาศภายในโถงเรือน | 46 |
| รูปที่ 4.2 อุณหภูมิเฉลี่ยกระเบาะแห้งของอากาศก่อนและหลังผ่านม่านเปียก | 46 |
| รูปที่ 4.3 อุณหภูมิของน้ำก่อนและหลังผ่านม่านเปียก | 47 |
| รูปที่ 4.4 ความชื้นสัมพัทธ์ภายในโถงเรือน | 48 |
| รูปที่ 4.5 ความเมี่ยงสีดวงอาทิตย์ภายในโถงเรือน | 49 |
| รูปที่ 4.6 ลักษณะทั่วไปของโถงเรือน | 52 |
| รูปที่ 4.7 อุณหภูมิที่เวลาต่าง ๆ | 53 |
| รูปที่ 4.8 ความเมี่ยงสีอาทิตย์ที่เวลาต่าง ๆ | 53 |
| รูปที่ 4.9 อุณหภูมิที่ตำแหน่งต่าง ๆ ของโถงเรือน | 54 |
| รูปที่ 4.10 ความชื้นสัมพัทธ์ของอากาศ ณ. ตำแหน่งต่าง ๆ ของโถงเรือน | 55 |
| รูปที่ 4.11 ลักษณะการเคลื่อนที่ของอากาศเมื่อมีการใช้ อุปกรณ์ครอบเพื่อน้ำอากาศ | 55 |
| รูปที่ 4.12 คุณสมบัติของโถงเรือนที่แตกต่างกันระหว่างกากกานกลับ และไม่วนกลับของอากาศ | 56 |
| รูปที่ 4.13 ความสัมพันธ์ระหว่างอุณหภูมน้ำที่เข้าสู่ม่านเปียก กับ ประสิทธิภาพการระเหยน้ำของม่านเปียก | 56 |

สารบัญรูป (ต่อ)

| | หน้า |
|--|------|
| รูปที่ 4.14 ลักษณะการทดสอบการทำความเข้าใจโดยใช้ชุดเทอร์โน่ไฟฟ่อน | 57 |
| รูปที่ 4.15 อุณหภูมิที่จุดต่างๆ ในการทดสอบ ชุดเทอร์โน่ไฟฟ่อน | 58 |
| รูปที่ 4.16 อุณหภูมน้ำเย็นในถังเก็บน้ำเทียบกับแบบจำลองทางคณิตศาสตร์ และอุณหภูมิแวดล้อม | 58 |
| รูปที่ 4.17 อุณหภูมิที่จุดต่างๆ ในการทดสอบ ชุดเทอร์โน่ไฟฟ่อน | 60 |
| รูปที่ 4.18 ความเร็วแรงสื紇าทิศย์ที่เวลาต่างๆ | 60 |
| รูปที่ 4.19 อุณหภูมิที่ตำแหน่งต่างๆ ของโรงเรือน | 61 |
| รูปที่ 4.20 ความรีนสัมพัทธ์ของอากาศ ณ. ตำแหน่งต่างๆ ของโรงเรือน | 63 |
| รูปที่ 4.21 อุณหภูมิอากาศก่อนและหลังผ่านแมงะเนย | 64 |
| รูปที่ 4.22 อุณหภูมิอากาศภายในโรงเรือน | 64 |
| รูปที่ 4.23 ความรีนสัมพัทธ์ในโรงเรือน | 65 |
| รูปที่ 4.24 ประสิทธิภาพแมงะเนย | 66 |
| รูปที่ 4.25 คุณสมบัติของโรงเรือนที่แยกต่างกันระหว่างการวนกลับ และไม่วนกลับของอากาศ | 68 |
| รูปที่ 4.26 ประสิทธิภาพของแมงะเนยกรณีที่ใช้ระบบหมุนเวียนกับไม่หมุนเวียนของอากาศในโรงเรือน | 68 |
| รูปที่ 4.27 ปริมาณการระเหยของน้ำ | 69 |
| รูปที่ 4.28 อุณหภูมิของโรงเรือนในตำแหน่งต่างๆ | 70 |
| รูปที่ 4.29 ความสัมพันธ์ระหว่างอุณหภูมน้ำที่เข้าสู่ม่านปีก กับประสิทธิภาพการระเหยน้ำของม่านปีก | 71 |
| รูปที่ 4.30 ลักษณะการทดสอบการทำความเข้าใจโดยใช้ชุดเทอร์โน่ไฟฟ่อน | 72 |
| รูปที่ 4.31 อุณหภูมิที่จุดต่างๆ ในการทดสอบ ชุดเทอร์โน่ไฟฟ่อน | 72 |
| รูปที่ 4.32 อุณหภูมน้ำเย็นในถังเก็บน้ำเทียบกับแบบจำลองทางคณิตศาสตร์ และอุณหภูมิแวดล้อม | 74 |

สารบัญรูป (ต่อ)

หน้า

รูปที่ 4.30 จุลทรรศน์น้ำเย็นในถังเก็บน้ำแบบใช้เทอร์โมไรฟอนกับแบบไม่ใช้เทอร์โมไรฟอน 75
ในถังเก็บน้ำเย็นและจุลทรรศน์แวดล้อม

การประหยัดพลังงานของระบบ Evaporative Cooling ของโรงเรือนกระจากโดย
ใช้ Chilled Water Night Cooling

ENERGY SAVING BY EVAPORATIVE COOLING OF GREENHOUSE SYSTEM
USING CHILLED WATER NIGHT COOLING

ณัฐวุฒิ ดุษฎี, ธนากรเกียรติ เกียรติศิริโรจน์, อติพงศ์ นันทพันธุ์, พิสุทธิ์ กลั่นชาจ
NATTHAWUD DUSSADEE, TANONGKIAT KIATSORIROAT, ATIPONG
NANTAPHAN, AND PISUT KLINKACHOL

ภาควิชาพืชไร่ คณะผลิตกรรมการเกษตร
มหาวิทยาลัยแม่โจ้ อ.สันทราย จ.เชียงใหม่ 502900

บทคัดย่อ

งานวิจัยนี้มีวัตถุประสงค์เพื่อศึกษาการประหยัดพลังงานในการทำความเย็นของระบบ Evaporative Cooling ของโรงเรือนกระจากโดยใช้ Chilled Water Night Cooling ที่ผลิตจากท่อความร้อนแบบเทอร์โมไฟฟอน ซึ่งสามารถผลิตน้ำเย็นโดยไม่ต้องใช้พลังงานภายนอก โดยท่อความร้อนจะผลิตน้ำเย็นในเวลากลางคืน นำน้ำเย็นมาป้อนผ่านม่านเปียกในเวลากลางวัน การวิจัยแบ่งออกเป็น 2 ส่วนคือ ส่วนที่ 1 เป็นการศึกษาสมรรถนะของโรงเรือนปฐกพิชที่มีอยู่แล้วได้แก่ โรงเรือนของสำนักวิจัยและส่งเสริมวิชาการเกษตร และโรงเรือนของศูนย์กลั่นไนคอกและไนประดับ และส่วนที่ 2 นำข้อมูลที่ได้มาออกแบบโรงเรือนแบบใหม่ที่ให้น้ำเย็นจากระบบห่อความร้อน และมีการลดความร้อนได้หลังคาโรงเรือนโดยใช้อากาศหมุนเวียนมาใช้ใหม่ ทำการประเมินสมรรถนะและแนวทางการประหยัดพลังงานของโรงเรือน

จากการประเมินสมรรถนะพบว่าโรงเรือนปฐกพิชเดิม ระบบทำความเย็นแบบระเหยน้ำสามารถควบคุมอุณหภูมิอากาศภายในโรงเรือนอยู่ในช่วง 28 – 29 °C ความชื้นสัมพันธ์เฉลี่ย 79.0-80.0% มีการสิ้นเปลืองพลังงานไฟฟ้าเฉลี่ย $1.0 - 1.5 \text{ kWh/d-m}^2$ โดยมีประสิทธิภาพการทำความเย็น 85.9 และ 76.1% ตามลำดับ สำหรับโรงเรือนที่พัฒนาขึ้นเมื่อเปรียบเทียบระหว่างการทำน้ำเย็น ($17-20 ^\circ\text{C}$) ที่ได้จากการทำความเย็นของระบบห่อความร้อนแบบเทอร์โมไฟฟอน และการใช้น้ำอุณหภูมิปกติ ($25-30 ^\circ\text{C}$) พบว่าการใช้ระบบน้ำเย็นสามารถเพิ่มประสิทธิภาพการทำ

ความเย็นจาก 69.2-73.28 % เพิ่มเป็น 80.2-80.3 % และการหมุนเวียนอากาศสามารถเพิ่มประสิทธิภาพการทำความเย็นของโรงเรือนได้ทุกอุณหภูมน้ำเย็นที่ใช้ โดยสามารถเพิ่มประสิทธิภาพมีค่าในช่วง 7-12 % แสดงว่าประสิทธิภาพโรงเรือนเนื่องจากการใช้น้ำเย็นและหมุนเวียนอากาศสามารถใช้เป็นแนวทางในการลดค่าใช้จ่ายทางด้านพลังงานไฟฟ้าของโรงเรือนลงได้

ABSTRACT

This research was aimed to study the energy savings from evaporative cooling of glasshouse by using the chilled water night cooling system together produced with Thermosyphon heat pipe system which enabled the production of cool water without using external energy through the combined usage of cool water passing through wetted media sheet during midday. This research was divided into two parts: 1) study of the performance of glasshouse nursery of the Office of Agricultural Research and Extension (OARE) and the glasshouse of the Orchids and Ornamental Plants Center (OOPC); and, 2) evaluation of the performance of glasshouse designed and constructed by the Energy Research Center (ERC) which produced chilled water in order to test its capacity to save energy, increase efficiency of cooling. In addition, the expelled air of the glasshouse was rotated and used again by passing beneath the ceiling of the glasshouse.

In the first experiment that studied the use of glasshouse energy, results showed that the evaporative cooling system was able to control the internal temperature of glasshouse at 28-29°C, relative humidity of 79.0%-80.0%, final average electrical energy consumption at 1-1.5 kW/d-m² with cooling efficiency of 85.9 and 76.1%, respectively. In the second experiment, a comparison was made on greenhouse cooling efficiency in the case of using a thermosyphon heat pipe to reduce water temperature and ceiling air rotation. Results indicated that the use of evaporative cooling system with water temperature of 17-20°C passing through a wetted media sheet could increase efficient in cooling from 69.2-73.3% to 80.2-80.3 %. When expelled air rotation beneath the glasshouse ceiling was used to reduce heat grain, results showed that efficiency

increased at 7-12 % thus the high efficiency of glasshouse was able to reduce the cost for electrical energy consumption of the glasshouse.



จักรមรดกและสัญลักษณ์

| สัญลักษณ์ | ความหมาย | หน่วย |
|-----------------|--|-------------|
| A_k | พื้นที่ประสีกิจผล่างของทางในครองอากาศ | ft |
| A | รายได้เฉลี่ยต่อปี | บาท |
| A_p | พื้นที่หน้าตัดของโรงเรือน | m^2 |
| C_{pa} | ความจุความร้อนของอากาศภายในโรงเรือน | $KJ/kg K$ |
| h_w | เอนthalpyประจำของไอน้ำในอากาศโดยปกติใช้ค่า h_w ของไอ | |
| H_L | ความร้อนแห้งของอากาศ | KJ/kg |
| h_t | เอนthalpyของอากาศ (รีบ) | KJ/kg |
| h_L | เอนthalpyประจำไอน้ำ | KJ/kg |
| h_s | เอนthalpyประจำของอากาศแห้ง | KJ/kg |
| i | อัตราดอกเบี้ย, เศษส่วน | |
| m | มวลของอากาศ | kg |
| \dot{m}_{out} | ปริมาตรอากาศที่ดูดออกจากโรงเรือน | m^3/s |
| n | อายุการใช้งานของอุปกรณ์ | ปี |
| P | เงินลงทุน | บาท |
| Q | ตราไนล์โดยปริมาตร | cfm |
| Q_{room} | อัตราความร้อนห้องนัดที่เกิดขึ้นในโรงเรือน | KW |
| Q_{wall} | อัตราความร้อนที่ถ่ายเทผ่านผนังเข้าสู่โรงเรือน | KW |
| Q_{roof} | อัตราความร้อนที่ส่องผ่านหลังคาพลาสติก | KW |
| Q_{ground} | อัตราความร้อนสูญเสียสู่มีดิน | KW |
| Q_{solar} | อัตราความร้อนที่เกิดจากรังสีดวงอาทิตย์ | KW |
| Q_{rg} | การแผ่รังสี | |
| T_{db1} | อุณหภูมิกระเพาะแห้งของอากาศ | $^{\circ}C$ |
| T_{db2} | ก่อนและหลังผ่าน Wetted media | $^{\circ}C$ |
| T_{wb1} | อุณหภูมิกระเพาะเปียกของอากาศ | $^{\circ}C$ |
| T_a | อุณหภูมิของอากาศภายในโรงเรือน | K |

อักษรย่อและสัญลักษณ์ (ต่อ)

| สัญลักษณ์ | ความหมาย | หน่วย |
|------------|---|----------|
| t | เวลา | วินาที |
| T_{db} | อุณหภูมิกระเพาะแห้งอากาศ | °C |
| T_{w0} | อุณหภูมิกระเพาะเปียกอากาศ | °C |
| V_{ewap} | ความเร็วลมแผ่นระเหยน้ำ | m/s |
| V_k | ความเร็วเฉลี่ยของอากาศที่ในผ่านช่องทางในสู่ | fpm |
| w | อัตราส่วนความชื้น | kg/kg |
| V_a | ปริมาตรภายในโถเรือน | m^3 |
| ρ_a | ความหนาแน่นของอากาศ | kg/m^3 |

บทที่ 1

บทนำ

1.1 บทนำ

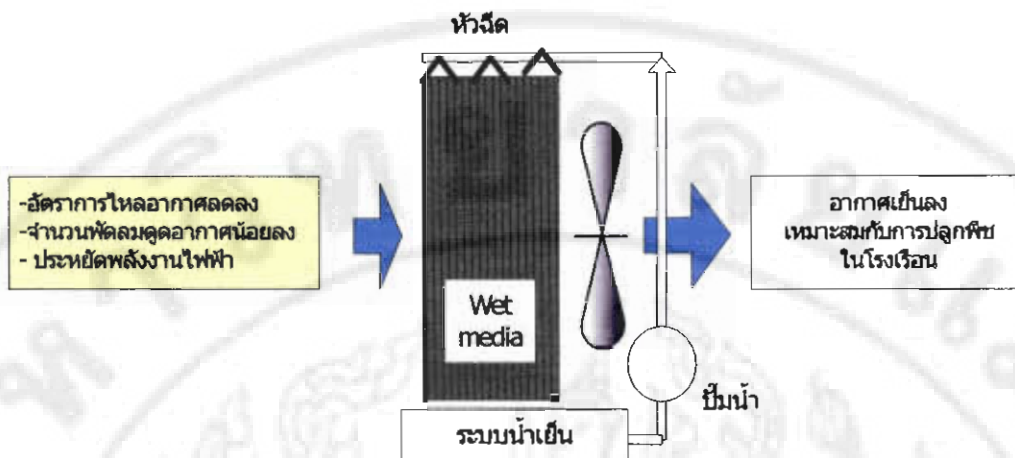
ปัจจุบันโรงเรือนปลูกพืชเป็นองค์ประกอบที่สำคัญต่อการทำเกษตรที่เข้าสู่ช่วงการนำเทคโนโลยีที่เริ่มสูงขึ้นไปใช้ทำการเกษตรต่างๆ และมีการพัฒนาเทคโนโลยีอย่างต่อเนื่อง ทั้งนี้เพื่อต้องการควบคุมสภาพอากาศในโรงเรือนให้เหมาะสมกับการเจริญเติบโตของพืชให้ได้ผลผลิตมีปริมาณสูง และมีคุณภาพที่ดี ขณะเดียวกันนั้นประเทศไทยยังจำเป็นต้องพึ่งพาเทคโนโลยีจากต่างประเทศ ซึ่งเทคโนโลยีบางอย่างก็ไม่มีความเหมาะสมกับการใช้งานในประเทศไทยหรือบางครั้งก็สิ้นเปลืองพลังงานสูง ซึ่งถ้านำเทคโนโลยีเหล่านี้มาใช้ทางการเกษตรแล้ว ต้นทุนการผลิตของสินค้าเกษตรจะสูงขึ้น ทำให้ไม่สามารถที่จะแข่งขันกับสินค้าทางการเกษตรจากต่างประเทศได้

โรงเรือนเพาะเลี้ยงพืช (Greenhouse) เป็นเทคโนโลยีสำหรับการเพาะปลูกพืชเมืองหนาว ประกอบด้วยโครงสร้างหลังคาและผังปิดที่ทำด้วยวัสดุที่โปร่งแสง ซึ่งคุณสมบัติของวัสดุดังกล่าว จะทำให้อุณหภูมิภายในและภายนอกโรงเรือนเพาะเลี้ยงต่างกัน กล่าวคือ เมื่อรังสีดวงอาทิตย์ซึ่งเป็นสเปกตรัม (รังสีคลื่นสั้นและรังสีคลื่นยาว) ตกกระทบบนหลังคาและผังโรงเรือนที่เป็นกระจกหรือวัสดุโปร่งแสง รังสีคลื่นสั้น ($300\text{-}3000\text{ nm}$) จะสามารถผ่านรังสีทางคลื่นผ่านเข้าไปในโรงเรือนได้ ขณะที่รังสีคลื่นยาว ($3000\text{-}80,000\text{ nm}$) จะถูกกั้นด้วยกระจก รังสีคลื่นสั้นจะถูกเปลี่ยนเป็นพลังงานความร้อนซึ่งเป็นรังสีคลื่นยาวที่ไม่สามารถทะลุผ่านกระจกออกไปได้ ดังนั้นจึงทำให้เกิดพลังงานร้อนสะสมภายในโรงเรือนเพาะเลี้ยง ทำให้อุณหภูมิภายในโรงเรือนสูงขึ้นมากกว่าอากาศแวดล้อม ซึ่งปรากฏการณ์นี้เรียกว่า Greenhouse effect จากสภาพอากาศที่ร้อนขึ้น ทำให้ผู้ปลูกประสบปัญหาเกี่ยวกับปริมาณและคุณภาพของผลผลิต ในสภาพอุณหภูมิที่สูงขึ้น ซึ่งจะส่งผลให้พืชมีการขยายตัวมากขึ้น

แม้ว่าโรงเรือนจะสามารถป้องกันลม แมลง และฝนได้ แต่ยังไม่สามารถควบคุมอุณหภูมิในโรงเรือนให้เป็นไปตามต้องการได้ การลดอุณหภูมิภายในโรงเรือนเป็นปัจจัยหนึ่งที่มีความสำคัญต่อการเพาะปลูกของเกษตรกรในประเทศไทย เนื่องจากเป็นประเทศที่อยู่ในแถบภูมิภาคเอเชียตะวันออกเฉียงใต้ ที่มีอุณหภูมิในฤดูร้อนสูงและมีฝนตกต่อเนื่อง ทำให้ต้องการตัดต่อความเย็นให้มากขึ้น ไม่ดีก็เมืองหนาว หรือพืชผลบางชนิด ซึ่งหากมีการตัดต่อระบบทำความเย็นให้แก่โรงเรือนเพื่อทำให้โรงเรือนมีสภาพอากาศที่เย็นพอและมีความเหมาะสมต่อการเจริญเติบโตของพืช ที่สำคัญคือ ระบบทำความเย็นต้องมีต้นทุนการผลิตที่ต่ำ ง่ายต่อการติดตั้ง ควบคุมและดูแลรักษาได้ง่าย อีกทั้งยังใช้กำลังงานน้อยแต่มีประสิทธิภาพสูง เพื่อเป็นการเพิ่มรายได้ให้แก่เกษตรกร

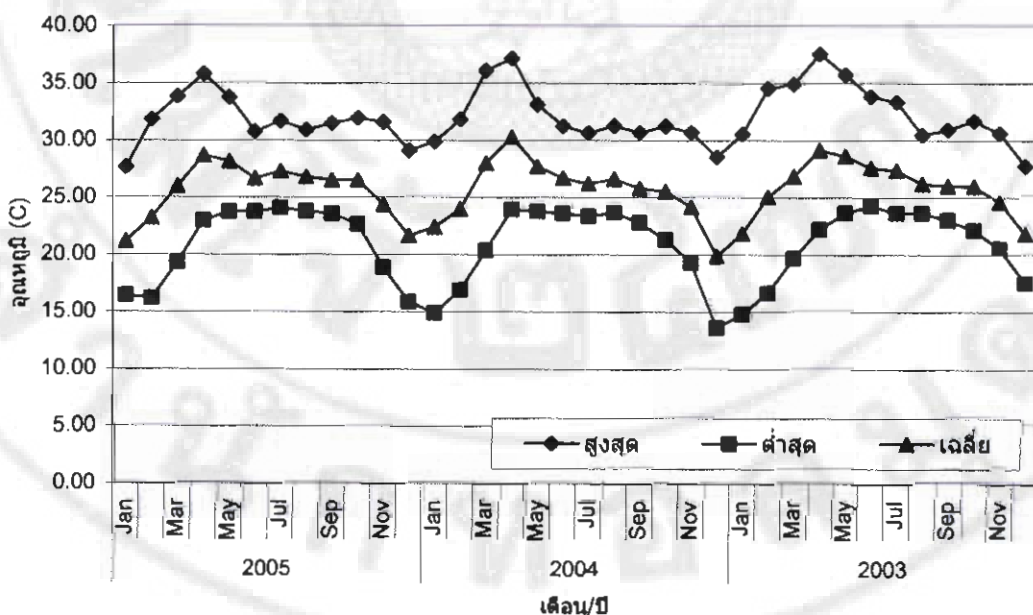
ดังนั้นในการเพาะปลูกพืชในโรงเรือนจำเป็นต้องลดอุณหภูมิสภาพอากาศภายในโรงเรือนโดยเฉพาะในเวลากลางวันลง ซึ่งการลดอุณหภูมิในโรงเรือนทำได้หลายวิธี ระบบทำความเย็นแบบ Evaporative cooling เป็นระบบหนึ่งที่นิยมใช้มากที่สุดเนื่องจากต้นทุนที่ต่ำกว่าเมื่อเทียบกับระบบปรับอากาศโดยกล แม้รือเสียคือไม่สามารถควบคุมอุณหภูมิได้เท่ากับระบบโดยกล อีกทั้งอากาศที่ผ่านระบบ Evaporative cooling ยังมีความชื้นสัมพัทธ์สูง ซึ่งไม่เหมาะสมสำหรับคนและสัตว์อีกด้วย นอกจากนั้นแล้วประเทศไทย ตั้งอยู่ระหว่างละติจูดที่ 5 องศา 37 ลิปดาเหนือ ถึง ละติจูด 20 องศา 27 ลิปดาเหนือ ลองติจูด 97 องศา 22 ลิปดาตะวันออก ถึง ลองติจูด 105 องศา 37 ลิปดาตะวันออก หรืออยู่ระหว่างเส้นศูนย์สูตร และสภาพภูมิอากาศของประเทศไทยจัดอยู่ในเขตร้อนชื้น (Humid Tropic) และร้อนแสงแฉดตลอดทั้งปีทำให้การลดอุณหภูมิภายในโรงเรือนเพาะเลี้ยงทำได้ยาก จึงไม่มีความเหมาะสมในการใช้โรงเรือน Greenhouse ใน การเพาะปลูกพืชในประเทศไทย โดยเฉพาะพืชที่มีอุณหภูมิเฉลี่ยในเวลากลางวันสูง เนื่องจากทำให้ประสิทธิภาพการทำความเย็นของระบบ Evaporative cooling ลดลง ซึ่งถ้าต้องการเพิ่มประสิทธิภาพการทำความเย็นของระบบ Evaporative cooling จะเป็นต้องเพิ่มอัตราการไอน้ำของอากาศผ่าน Wetted media ให้มากขึ้น เพื่อให้การระเหยน้ำกลایเป็นไอมากขึ้นซึ่งก็จะดึงความร้อนจากอากาศมากขึ้นด้วย จึงจำเป็นต้องใช้กำลังของพัดลมสำหรับดูดอากาศผ่าน Wetted media มากขึ้น หรือใช้พัดลมจำนวนหลายตัวมากขึ้นด้วย ส่งผลให้สิ้นเปลืองพลังงานไฟฟ้า

โดยที่ประสิทธิภาพการทำความเย็นของระบบ Evaporative cooling จะขึ้นอยู่กับสภาวะอากาศที่ใช้ เมื่อสมมติว่าคุณสมบัติของวัสดุที่ทำ Wetted media เหมือนกัน ดังนั้นทางคณะผู้วิจัย จึงมีแนวคิดที่จะพัฒนาประสิทธิภาพการทำความเย็นของระบบ Evaporative cooling โดยการลดอุณหภูมน้ำที่ป้อนให้กับ Wetted media เมื่ออุณหภูมน้ำป้อนต่ำลงจะทำให้สามารถลดอุณหภูมิภายในโรงเรือนให้ต่ำลงได้ ซึ่งจะหมายความว่าการเพาะปลูกพืชมากขึ้น นอกจากนั้นแล้วการลดอุณหภูมน้ำเย็นที่ป้อน Wetted media ทำให้สามารถลดอัตราการไอน้ำของอากาศผ่าน Wetted media ลง ทำให้สามารถลดกำลังไฟฟ้าสำหรับพัดลม ซึ่งโดยปกติจะใช้พัดลมมากกว่า 1 ตัว แสดงเป็นแนวคิดการทำงานดังภาพที่ 1.1



รูปที่ 1.1 ระบบการทำความเย็นแบบ Evaporative cooling โดยป้อนน้ำเย็นให้ Wetted media

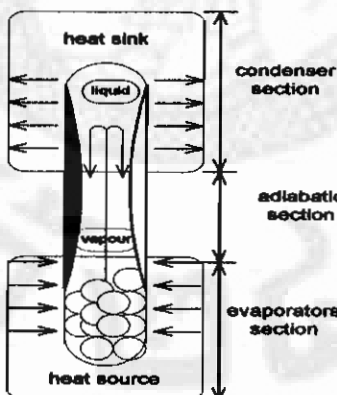
ในเขตพื้นที่ภาคเหนือของประเทศไทยอุณหภูมิแตกต่างระหว่างกลางวันและกลางคืนมีความแตกต่างกันประมาณ $15-20^{\circ}\text{C}$ ดังแสดงในภาพที่ 1.2 ซึ่งมีศักยภาพสูงที่ผลิตน้ำเย็นในเวลากลางคืน สำหรับใช้ป้อนสู่ Wetted media ในเวลากลางวัน น้ำเย็นที่ผ่าน Wetted media ยังสามารถนำไป Pre-cool น้ำก่อนป้อนเข้าถังเก็บน้ำได้อีกชั้นจะทำให้เกิดการประหยัดพลังงานน้ำได้มากทางหนึ่งด้วย



รูปที่ 1.2 อุณหภูมิทั้งปีของจังหวัดเชียงใหม่ ปี 2546-2548

ที่มา: วุฒินิยมวิทยาภาคเหนือ

แนวทางหนึ่งที่เป็นไปได้ในการผลิตน้ำเย็นในเวลากลางคืน คือ การใช้ท่อความร้อนแบบเทอร์โมไฟฟ่อนเป็นอุปกรณ์ดึงความร้อนจากดังเก็บน้ำก่อนป้อนให้กับ Wetted media ในเวลากลางวัน ซึ่งข้อดีของเทอร์โมไฟฟ่อน คือ การทำงานจะเกิดรีบโดยไม่จำเป็นต้องอาศัยแหล่งพลังงานจากภายนอกในการดึงความร้อน ดังนั้นจึงประหยัดพลังงาน 100% เทอร์โมไฟฟ่อนดังแสดงรูปที่ 1.3 แบ่งได้เป็น 3 ส่วนคือ ส่วนอิว่าปอร์เรเตอร์ (Evaporator) อะเดียบติก (Adiabatic) และคอนเดนเซอร์ (Condenser) ในการทำงานจะใช้ด้านอิว่าปอร์เรเตอร์ อยู่ภายในดังเก็บน้ำเย็น และด้านคอนเดนเซอร์รับความร้อนสู่อากาศ ภายในเทอร์โมไฟฟ่อนจะบรรลุการทำงานที่ภายในจะมีสภาพเป็น 2 เฟส ตลอดเวลา เมื่ออิว่าปอร์เรเตอร์รับความร้อนจากน้ำ สารทำงานภายในเทอร์โมไฟฟ่อนก็จะกลายเป็นไอและถอยตามท่อรีบด้านบนซึ่งติดกับด้านคอนเดนเซอร์ซึ่งสัมผัสกับอากาศซึ่งมีอุณหภูมิที่ต่ำกว่า เกิดการแลกเปลี่ยนความร้อนระหว่างอากาศและสารทำงาน ทำให้สารทำงานกลับเป็นของเหลวอีกครั้งหนึ่งและจะไหลกลับสู่ด้านอิว่าปอร์เรเตอร์ด้วยแรงดึงดูดของโลก ซึ่งขบวนการดังกล่าวจะเกิดรีบโดยอัตโนมัติเมื่ออุณหภูมิแวดล้อมภายนอกต่ำกว่า อุณหภูมน้ำจึงทำให้สามารถผลิตน้ำเย็นโดยไม่ต้องอาศัยพลังงานจากภายนอกจึงประหยัดพลังงาน



รูปที่ 1.3 การทำงานของเทอร์โมไฟฟ่อน

ดังนั้นในงานวิจัยนี้จึงมีเป้าหมายที่เพิ่มประสิทธิภาพและประหยัดพลังงานในการทำความเย็นของระบบ Evaporative cooling ของโรงเรือน Greenhouse โดยการผลิตน้ำเย็นในเวลากลางคืนโดยใช้ท่อความร้อน ซึ่งสามารถผลิตน้ำเย็นได้โดยไม่จำเป็นต้องอาศัยพลังงานภายนอกช่วย และน้ำเย็นป้อนผ่าน Wetted media ของระบบ Evaporative cooling ในเวลากลางวัน ซึ่งจะทำให้สามารถลดอุณหภูมิภายในโรงเรือน Greenhouse ลงได้อีก

1.2 วัตถุประสงค์ของโครงการ

- 1.2.1 เพื่อหาแนวทางการประยัดพลังงานในโรงเรือน Greenhouse สำหรับเพาะปลูกพืช
- 1.2.2 เพื่อพัฒนาเทคโนโลยีจากต่างประเทศให้มีความเหมาะสมกับการนำมาใช้งานในประเทศไทย

1.3 ขอบเขตของโครงการวิจัย

- 1.3.1 ทำการศึกษาและเก็บข้อมูลโรงเรือนสำนักวิจัยและส่งเสริมวิชาการเกษตร โรงเรือนศูนย์กล้วยไม้ตอกและไม้ประดับ มหาวิทยาลัยแม่โจ้ โดยติดตั้งระบบ
 - ระบบที่ไนน่าเย็น
 - ระบบที่มีการหมุนเวียนอากาศทึบกลับมาให้ใหม่
 - ระบบดึงความร้อนจากน้ำโดยใช้ท่อความร้อนแบบเทอร์โมไวฟอน
- 1.3.2 ออกแบบ ทดสอบ โรงเรือนศูนย์วิจัยพลังงาน มหาวิทยาลัยแม่โจ้ โดยติดตั้งระบบ
 - ระบบที่ไนน่าเย็น
 - ระบบที่มีการหมุนเวียนอากาศทึบกลับมาให้ใหม่
 - ระบบดึงความร้อนจากน้ำโดยใช้ท่อความร้อนแบบเทอร์โมไวฟอน

1.4 ประโยชน์ที่คาดว่าจะได้รับจากการ

- 1.4.1 ได้เทคโนโลยีที่ห้องความร้อนต้นแบบ ที่นำมาใช้ในการผลิตน้ำเย็นใช้สำหรับโรงเรือน Greenhouse ซึ่งเป็นระบบที่ประยัดพลังงานสามารถนำไปถ่ายทอดเทคโนโลยีสู่ กศุล เป้าหมายได้
- 1.4.2 ได้เทคโนโลยีที่เหมาะสมกับประเทศไทย โดยไม่ต้องพึ่งพาเทคโนโลยีจากต่างประเทศ
- 1.4.3 เพิ่มศักยภาพการแข่งขันทางด้านการค้าและเพิ่มนูกล่าสินค้าเกษตรของประเทศไทย
- 1.4.4 ประหยัดการใช้พลังงานในภาคเกษตรกรรมอย่างเป็นอย่างมาก

1.5 เอกสารและงานวิจัยที่เกี่ยวข้อง

ศิริชัย แฉะຄณะ (2526) ศึกษาการวัดอุณหภูมิห้องพื้นาและความเป็นไปได้ของการทำ ความเย็นและการปรับอากาศโดย radioactive cooling โดยศึกษาการสูญเสียความร้อนในเวลา กลางคืน จากการแผ่รังสีแผ่นที่มีลักษณะเหมือนกัน 2 แผ่นขนาด 30.4×243.8 ตารางเซนติเมตร ป้อนน้ำร้อนเข้าสู่แผง ในอัตราการไหลเท่ากับ 5 และ 10 มิลลิเมตรต่อวินาที ที่อุณหภูมิแรกล้อม 22, 26 และ 28°C จากการศึกษา พบว่า อุณหภูมิห้องพื้นาซึ่งอยู่กับความชื้นสัมพัทธ์อากาศ แวดล้อม โดยอุณหภูมิห้องพื้นาจะมีค่าต่ำลงเล็กน้อยเมื่อความชื้นสัมพัทธ์อากาศต่ำลงหรืออุณหภูมิอากาศแวดล้อมต่ำลง ที่อุณหภูมิแวดล้อม 22, 26 และ 28°C อุณหภูมิห้องพื้นาจะมีค่าประมาณ -

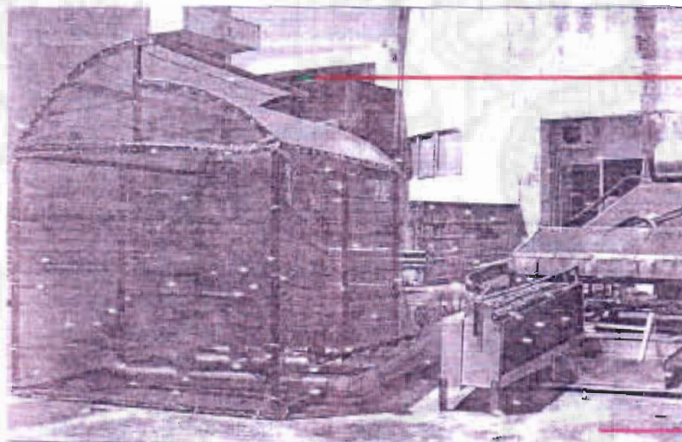
14 , 5, 25 °C ตามลำดับ สำหรับการสูญเสียความร้อนโดยการแผ่รังสี พบร่วมกับสภาพอากาศของห้องพ้าว่ากระจ่างหรือไม่ ที่เวลา 24.00 น ของวันที่พ้ากระจ่าง และวันที่ห้องพ้ามีเมฆปกคลุมมีค่าการสูญเสียความร้อนสูงห้องพ้าประมาณ 184 W/m^2 , 122 W/m^2 ตามลำดับ

ณรงค์พล และอุทอนา (2530) ศึกษาการลดความร้อนเข้าสู่อาคารทางหลังคาของหอสมุดมหาวิทยาลัยเชียงใหม่ ด้วยการใช้ระบบน้ำ氟油 โดยมีวัตถุประสงค์ที่จะศึกษาประสิทธิภาพด้านการลดอุณหภูมิภายในอาคาร และหาสภาวะที่เหมาะสมที่สุดจากการทดลองโดยศึกษาเบรียบเทียบระบบก่อนการติดตั้งระบบพ่นฟอยน้ำที่หลังคา จากผลการทดลองพบว่า การลดความร้อนด้วยระบบน้ำ氟油นี้ให้ผลด้านการลดอุณหภูมิภายในอาคารได้เป็นที่น่าพอใจ ก่อนติดตั้งระบบพ่นน้ำในช่วงเวลา 8.00-17.00 น. อุณหภูมิภายในและภายนอกอาคารเฉลี่ยต่างกัน -0.2°C โดยมีอุณหภูมิเฉลี่ยภายนอกอาคาร 33.7°C เมื่อติดตั้งระบบพ่นฟอยน้ำ พบร่วมกับอุณหภูมิแตกต่างภายในและภายนอกอาคารเป็น $2.3-4.4^\circ\text{C}$ โดยที่อุณหภูมิเฉลี่ยภายนอกอาคารในช่วงเวลาทดสอบเดียวกันมีค่า 28.5°C

จุ่มพล (2541) ได้มีการศึกษาการทำความเย็นในโรงเรือนด้วยระบบทำความเย็นแบบระเหยในโรงเรือนไม้คอกโดยใช้แบบจำลองทางคณิตศาสตร์ ขนาดของโรงเรือนกว้าง 6 เมตร, สูง 16.5 เมตร, ลึก 4 เมตร คุณด้วยพลาสติก หอลีอิทธิลินระบบทำความเย็นแบบระเหยน้ำใช้สีน้ำเงินเป็นผิวะเหยน้ำติดตั้งอยู่อยู่ด้านทิศใต้และวางตัวอยู่ในแนวตั้ง จากการศึกษาพบว่า การวางตัวของโรงเรือนในทิศเหนือ-ใต้ และทิศตะวันออก-ตะวันตก จะไม่มีผลต่ออุณหภูมิในโรงเรือน และพบว่าอัตราการระบายอากาศที่เหมาะสมเท่ากับ 5 Air Change ซึ่งจะใช้สีน้ำเงินในลอนทั้งหมด 20 แต่ ความชื้นที่ได้มีค่าระหว่าง 70-85 % อุณหภูมิภายในลดได้ 4.14 องศาเซลเซียส

ฤษานิน และ อานันท์ (2542) ออกแบบและปรับปรุงระบบให้ความเย็นแก่โรงเรือนเพาะชำโดยอาศัยหลักการระเหยน้ำ โดยการศึกษาเบรียบเทียบ 3 รูปแบบคือ แบบที่ 1 การปูกรากในโรงเรือนหลังคาพลาสติก แบบที่ 2 การปูกรากในโรงเรือนหลังคาพลาสติกแต่ติดตั้งพัดลมและระบบพ่นน้ำ แบบที่ 3 การปูกรากในโรงเรือนหลังคาและผนังคุณด้วยพลาสติกและติดตั้งระบบพ่นน้ำ ในการทดสอบจะใช้ที่ความเร็วลม 4 เมตร/วินาที โดยพ่นหมอกทุก 15 นาที ในช่วงเวลา 8.00-16.00 น. โรงเรือนมีขนาด $5 \times 24 \times 4$ เมตร ติดตั้งเครื่องบันทึกอุณหภูมิภายใน 5 ตำแหน่ง จากการทดสอบระหว่างวันที่ 22-27 เมษายน 2542 พบร่วมกับด้านการลดอุณหภูมิ แบบที่ 3 สามารถลดอุณหภูมิได้ดีที่สุด โดยลดอุณหภูมิได้ประมาณ $1.61-2.71^\circ\text{C}$ และภายในโรงเรือนมีความชื้นสัมพัทธ์เฉลี่ย 66-85 %

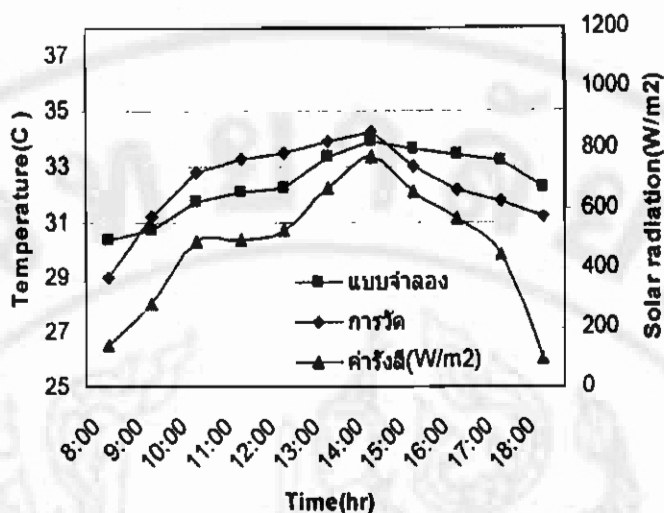
เอกศักดิ์ ชื่อสกุลไพบูล (2546) ทำการศึกษาวิธีการควบคุมอุณหภูมิ และความชื้น สัมพัทธ์ภายในโรงเรือนที่ทำด้วยตัวชายพรางแสง โดยใช้ระบบทำความเย็นแบบระเหยในการลด อุณหภูมิภายในโรงเรือน โดยโรงเรือนที่ใช้ในการทดสอบมีขนาดกว้าง 1.5 เมตร ยาว 2 เมตร และ สูง 1.7 เมตร ดังรูปที่ 1.4 ผนังหลังคากลุ่มด้วยตัวชายพรางแสงและหุ้มทับด้วยพลาสติกพีวีซี มีช่อง โถงเปิดระบายความร้อนด้านบน ติดตั้งระบบทำความเย็นแบบระเหยน้ำเซลลูโลส ขนาด 0.6 ตารางเมตร เป็นแบบรวมศูนย์ และท่อทำความเย็นกระเจียดสูงเรือน จากพื้นสู่อากาศภายนอก และ เปรียบเทียบผลของการทดลองกับผลจากการศึกษาโดยการวิเคราะห์ทางคณิตศาสตร์



รูปที่ 1.4 ลักษณะโรงเรือนที่ใช้ในการวิจัยของ เอกศักดิ์ ชื่อสกุลไพบูล

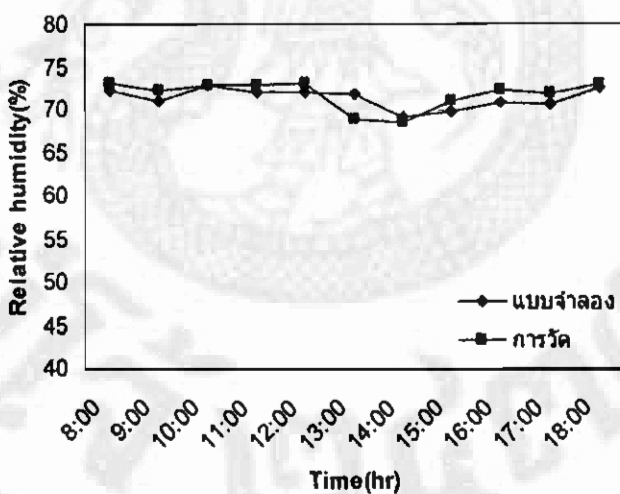
ที่มา: เอกศักดิ์ ชื่อสกุลไพบูล (2546)

พบว่า ผลกระทบจากการทดลองและการวิเคราะห์ทางคณิตศาสตร์มีค่าใกล้เคียงกัน สามารถใช้ แบบจำลองทางคณิตศาสตร์ในการคำนวณอุณหภูมิและความชื้นภายในโรงเรือนได้ ดังรูปที่ 1.5 และพบว่า ที่ขนาดของแผ่นระเหยน้ำ 0.6 ตารางเมตร อัตราการให้อุ่นของลมผ่านแผ่นระเหย 0.5 ลูกบาศก์เมตร/วินาที สามารถลดอุณหภูมิภายในโรงเรือนได้ 3 องศาเซลเซียส และความชื้น สัมพัทธ์สูงขึ้น 13 % เมื่อเปรียบเทียบกับอุณหภูมิและความชื้นของสิ่งแวดล้อม



รูปที่ 1.5 เปรียบเทียบผลระหว่างการทดลองกับแบบจำลองอุณหภูมิในโรงเรือน

ที่มา: เอกสารก็ต รีอสกุลไพบูล (2546)



รูปที่ 1.6 เปรียบเทียบผลระหว่างการทดลองกับแบบจำลองความชื้นสัมพัทธ์ในโรงเรือน

ที่มา: เอกสารก็ต รีอสกุลไพบูล (2546)

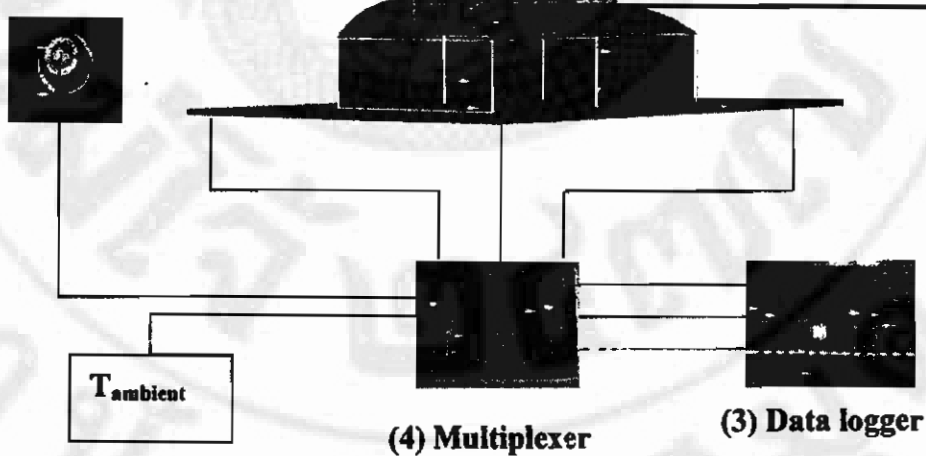
วิทยา เนียนดอนлом (2546) ได้ทำการศึกษาแบบจำลองการเปลี่ยนแปลงของอุณหภูมิและความชื้นในโรงเรือนไม้ดอก โดยใช้หลักการระบายความร้อนโดยวิธีธรรมชาติเพื่อระบายความร้อนที่สะสมอยู่ภายในโรงเรือน โดยโรงเรือนเป็นโรงเรือนจำลองแบบหลังคาโครงเปิดต่างระดับขนาดกว้าง 1.2 เมตร ยาว 2.4 เมตร และสูง 1.1 เมตร หลังคาพลาสติกพีวีซี หลังคาด้านทิศตะวันออกเฉียง 18 องศา ทิศตะวันตกเฉียง 12 องศา โรงเรือนที่ทำการทดลองนี้ 3 แบบ คือ แบบปิด แบบเปิด

ช่องหลังคา และเปิดช่องหลังค่าร่วมกับเปิดช่องด้านหน้าโรงเรือน ลักษณะของโรงเรือนและการเก็บข้อมูลแสดงดังรูปที่ 1.6 แบ่งการคำนวณแบบจำลองเป็น 5 ส่วนคือ แบบจำลองประมาณค่ารังสีแสงอาทิตย์ อุณหภูมิสภาพแวดล้อม อุณหภูมิโรงเรือน ความชื้นโรงเรือน และการระบายอากาศแบบธรรมชาติ

ผลการศึกษารูปแบบของโรงเรือน พบว่า โรงเรือนที่มีช่องเปิดหลังคาร่วมกับการเปิดด้านหน้าจะสามารถลดการสะสมความร้อนได้ในปริมาณมาก เมื่อเปรียบเทียบกับแบบอื่น ในส่วนของแบบจำลองทางคณิตศาสตร์ ณ วันและเวลาเดียวกับการทดลอง พบว่า มีความคลาดเคลื่อนเล็กน้อย ทำให้สามารถนำแบบจำลองทางคณิตศาสตร์ไปใช้ในการคำนวณอุณหภูมิ ความชื้น ดังแสดงในรูปที่ 1.7 และอัตราการระบายอากาศภายในโรงเรือนได้ ช่องทางเปิดของช่องอากาศที่เหมาะสมกับโรงเรือนขนาด 22×6 เมตร อยู่ที่ 0.3 เมตร โดยมีอุณหภูมิสูงสุดและต่ำสุดเท่ากับ 39.86°C และ 26.86°C ตามลำดับ ทำให้มีความชื้นสูงสุดและต่ำสุดเท่ากับ 77.89 และ 34.47 เปอร์เซ็นต์ ตามลำดับ นอกจากนี้อัตราการระบายอากาศจะได้รับอิทธิพลจาก 2 ตัวแปร คือ ผลกระทบจากแรงดึงดูด และการระเหบจากแรงลม

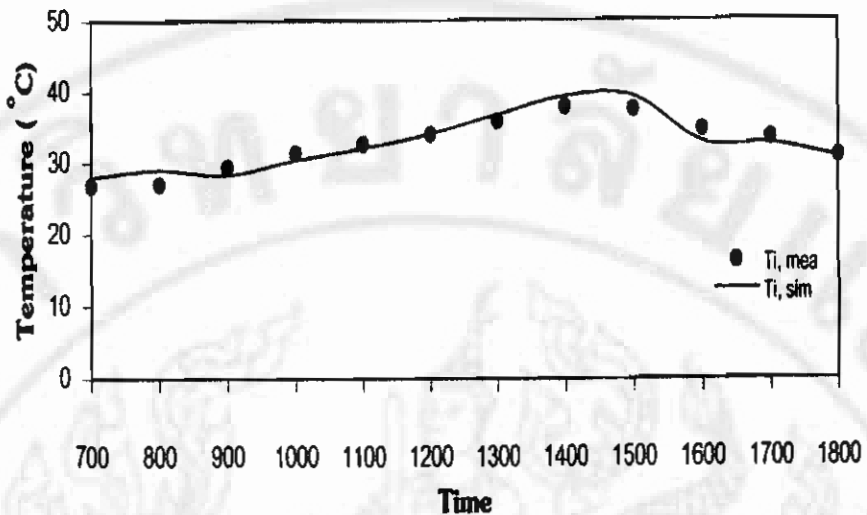
(1) Greenhouse

(2) Pyranometer



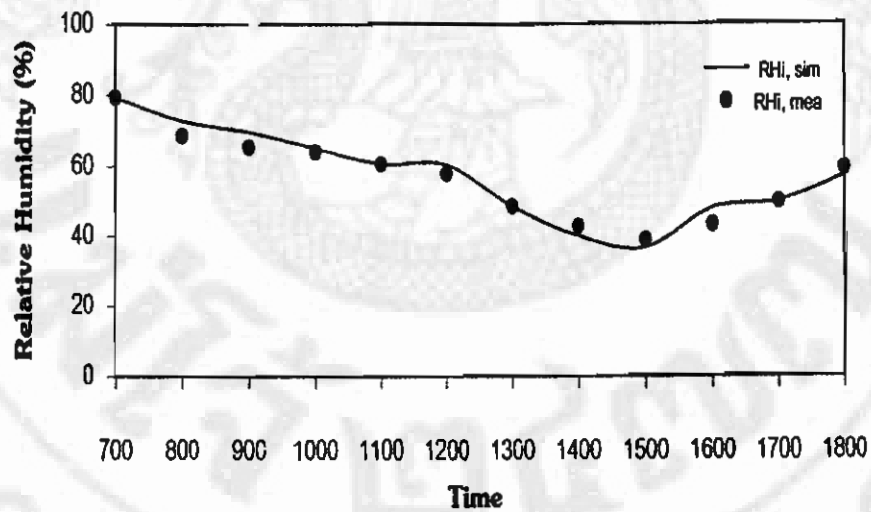
รูปที่ 1.7 ลักษณะโรงเรือนและการติดตั้งระบบวัดของ วิทยา เนียนดนอม

ที่มา : วิทยา เนียนดนอม (2546)



รูปที่ 1.8 เปรียบเทียบผลของอุณหภูมิ ในโรงเรือนระหว่างแบบจำลองและการทดลอง

ที่มา : วิทยา เนียนดอน咚 (2546)

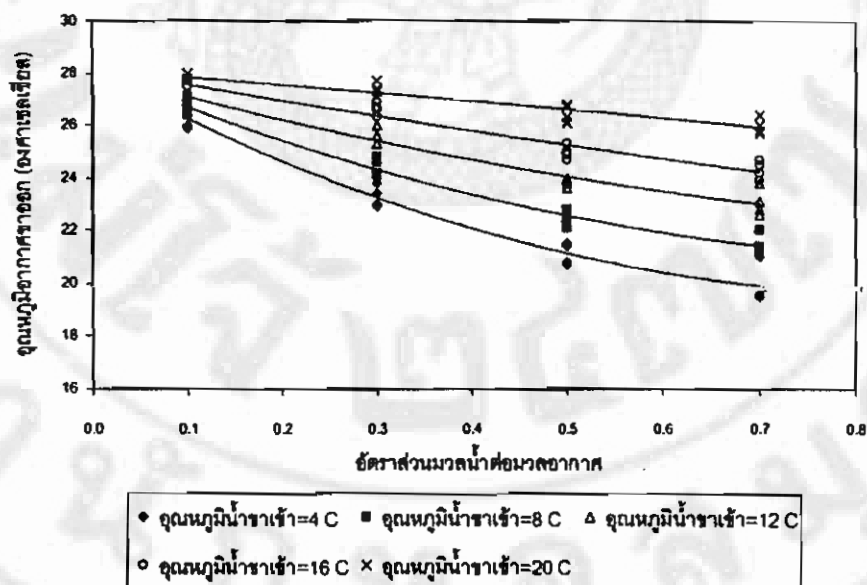


รูปที่ 1.9 เปรียบเทียบผลของความชื้นในโรงเรือนระหว่างแบบจำลองและการทดลอง

ที่มา : วิทยา เนียนดอน咚 (2546)

ดร.สุวัฒน์เมธินทร์ (2546) ได้ทำการศึกษาสมรรถนะของอุปกรณ์ทำความเย็นแบบสัมผัสและระเหยโดยตรงที่ใช้ในโรงเรือนเพาะปลูกและเลี้ยงสัตว์ เป็นวัสดุเปียกขนาด 50×50 ตารางเซนติเมตร หนา 15 เซนติเมตร ทั้งแบบอะเดียบაติก และแบบที่ไม่อะเดียบາติก โดยทำการศึกษาผลของอัตราการไนลเชิงมวลของน้ำกับความเร็วลมที่มีผลต่ออุปกรณ์แบบอะเดียบາติก รวมทั้งศึกษาผลของอุณหภูมน้ำชาเข้าและอัตราส่วนมวลน้ำต่อมวลอากาศที่มีต่ออุปกรณ์แบบอะเดียบາติก

สุมนต์ แซ่ดีม (2546) ได้ทำการศึกษาวิธีการออกแบบโครงสร้างหลังคาโรงเรือนไม้ดอก เพื่อช่วยลดปริมาณความร้อนภายในโรงเรือน โดยอาศัยหลักการเนี้ยบวนนำอากาศแบบธรรมชาติ จากการทดลองแบบจำลองโครงสร้างหลังคาโรงเรือนในอุณหภูมิคงพื้นที่ พบว่า แบบจำลองโครงสร้างหลังคา โรงเรือนแบบของโครงการหลวง ที่มีมุมความรั้นหลังคาด้านบน 18 องศา ด้านล่าง 10 องศา ขนาดช่องเปิด 12 มิลลิเมตร ค่าสัมประสิทธิ์อัตราการระบายอากาศอยู่ในช่วง 0.58 – 0.68 ที่ความเร็วลมทดลอง 0.2 – 0.3 เมตรต่อวินาที ส่วนแบบจำลองโครงสร้างหลังคาแบบใหม่ ที่มีมุมความรั้นหลังคาด้านบน 18 องศา ด้านล่าง 12 องศา ขนาดช่องเปิด 18 มิลลิเมตร ค่าสัมประสิทธิ์อัตราการระบายอากาศอยู่ในช่วง 0.63 – 0.73 ที่ความเร็วลมทดลอง 0.2 – 0.3 เมตรต่อวินาที ในส่วนของ การทดลองโรงเรือนในสภาวะจริงพบว่า อุณหภูมิผนังและหลังคาในแต่ละด้านและอุณหภูมิภายในโรงเรือนแบบใหม่ อุณหภูมิจะสูงกว่าภายนอกประมาณ 5 องศาเซลเซียส ที่เวลา 15.30 น. อัตราการไหลเนื่องจากแรงดึงดูดของอากาศอยู่ในช่วง 0.384 - 0.442 ลูกบาศก์เมตรต่อวินาที ที่สัมประสิทธิ์การไหล 0.63 – 0.73 ส่วนแบบโครงการหลวง อุณหภูมิจะสูงกว่าภายนอกประมาณ 4.6 องศาเซลเซียส ที่เวลา 15.30 น. อัตราการไหลเนื่องจากแรงดึงดูดตัวของอากาศอยู่ในช่วง 0.381 - 0.370 ลูกบาศก์เมตรต่อวินาที ที่สัมประสิทธิ์การไหล 0.58 – 0.68



รูปที่ 1.10 ผลของการอัตราส่วนมวลน้ำต่อมวลอากาศต่ออุณหภูมิอากาศข้ออก
ที่มา : วิทยา เนียนถนอม (2546)

Lawrence และ Tiwari (1989) ได้ศึกษาสมรรถนะของระบบการทำความเย็นแบบระเหยสำหรับที่พักอาศัยใน Port Moresby โดยแบ่งอาคารที่ใช้ในการทดลองออกเป็น 3 ห้อง ห้องแรกมีการติดตั้งเครื่องปรับอากาศเอาไว้ (A/C Room) ห้องที่สองไม่มีการติดตั้งเครื่องปรับอากาศ (Outer

Room) และห้องที่สามเป็นห้องที่อยู่นอกชายคา (Outer Shaded Room) หลังคาของอาคารทำด้วยสังกะสี ภายใน A/C Room มีการติดตั้งจวนกันความร้อนไว้ที่ใต้หลังคาและผนังทุกด้าน ระบบการทำความเย็นแบบระเหยถูกติดตั้งไว้บนหลังคา โดยทำเป็นท่อคู่วางอยู่บนสันของหลังคา ท่อที่ใช้มีขนาด 0.025 เมตร ถูกเจาะรูให้มีระยะห่างกัน 0.1 เมตร เพื่อให้น้ำไหลออกมากได้ เมื่อน้ำในคลอกจากท่อ ก็จะไหลลงไปที่หลังคาทำให้หลังคาเปียก และน้ำที่เปียกจะมีลักษณะเป็นฟิล์มบาง ทำให้น้ำที่เป็นผิวเปียก ซึ่งจะเกิดการระเหยขึ้นเนื่องจากได้รับความร้อนจากหลังคา ทำให้หลังคามี อุณหภูมิลดลง ส่งผลให้ความร้อนถ่ายเทผ่านหลังคาเข้าสู่ห้องด้านล่างลดลงด้วย อุณหภูมิในห้อง จึงลดต่ำลง การทดลองทำได้โดยการลดอุณหภูมิในแต่ละห้อง อุณหภูมิอากาศแวดล้อม ค่ารังสีอาทิตย์รายชั่วโมง ความชื้นสัมพัทธ์ภายในห้อง และมวลของน้ำที่ระเหย จากการทดลองพบว่า ระบบการทำความเย็นแบบระเหยไม่มีผลต่ออุณหภูมิภายใน A/C Room ทั้งขณะเปิดและปิด เครื่องปรับอากาศ แต่มีผลต่ออุณหภูมิภายใน Outer Room และ Shaded Room เมื่อทำการ เปรียบเทียบอุณหภูมิระหว่างห้อง Outer Room และ Shaded Room พบว่าอุณหภูมิใน Shaded Room มีช่องอากาศที่ช่วยให้เกิดการระบายอากาศโดยธรรมชาติตัวทำให้มีอุณหภูมิต่ำกว่า

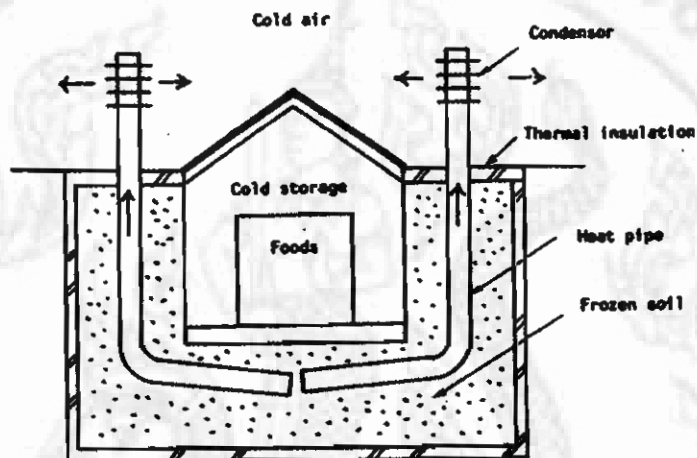
ณัฐรุณิ ดุษฎี และคณะ (2547) ได้ทำการศึกษาสมรรถนะของห้องความร้อนแบบเทอร์โมไฟฟอนในการควบคุมระดับของอุณหภูมิของถ้วยเหลืองในถังเก็บธรรมชาติ โดยญี่ปุ่นรายงานถังเก็บเป็น แบบถังสี่เหลี่ยม 2 ชั้น ภายในบรรจุสารทำงานเม็ดอล จำนวน 23 ลิตร จากการทดสอบพบว่าค่า สัมประสิทธิ์การถ่ายเทคุณภาพห้องถ้วยเหลืองและสารทำงาน มีค่าประมาณ $5.2 \text{ W/m}^2\text{-K}$ และ ห้องความร้อนสามารถควบคุมอุณหภูมิของถ้วยเหลืองได้ใกล้เคียงกับอุณหภูมิต่ำสุดของอากาศ แวดล้อม โดยมีอุณหภูมิแตกต่างระหว่างชั้น $1 - 2^\circ\text{C}$

Kiatsiniroat, et al (1998) ได้ศึกษาการใช้ประโยชน์จากความร้อนที่สะสมในดินสำหรับทำ น้ำอุ่นโดยใช้ห้องความร้อน โดยใช้น้ำเป็นตัวระบายความร้อนที่คอนเดนเซอร์ของเทอร์โมไฟฟอน จากการวิจัย พบว่า สามารถเพิ่มอุณหภูมน้ำได้สูงกว่าอากาศแวดล้อมถึง 9°C ในฤดูหนาว

Fukada, et al. (1993) ประยุกต์ใช้เทอร์โมไฟฟอนในการดึงความร้อนจากดินเพื่อทำห้องเย็นสำหรับเก็บรักษาผักสด โดยการทำงานนั้นจะใช้เทอร์โนไฟฟอนดึงความร้อนจากดินในช่วงฤดูหนาว ซึ่งอากาศแวดล้อมอุณหภูมิต่ำกว่าดินมากทำให้ดินโดยรอบห้องเย็นแข็งตัว และจะคายความเย็นให้ห้องเย็นในช่วงฤดูร้อน จากการวิจัย พบว่า สามารถทำให้ห้องเย็นคงอุณหภูมิในฤดูร้อนอยู่ในช่วง $3-4^\circ\text{C}$ ซึ่งหลักการทำงานของระบบแสดงในญี่ปุ่น 1.9

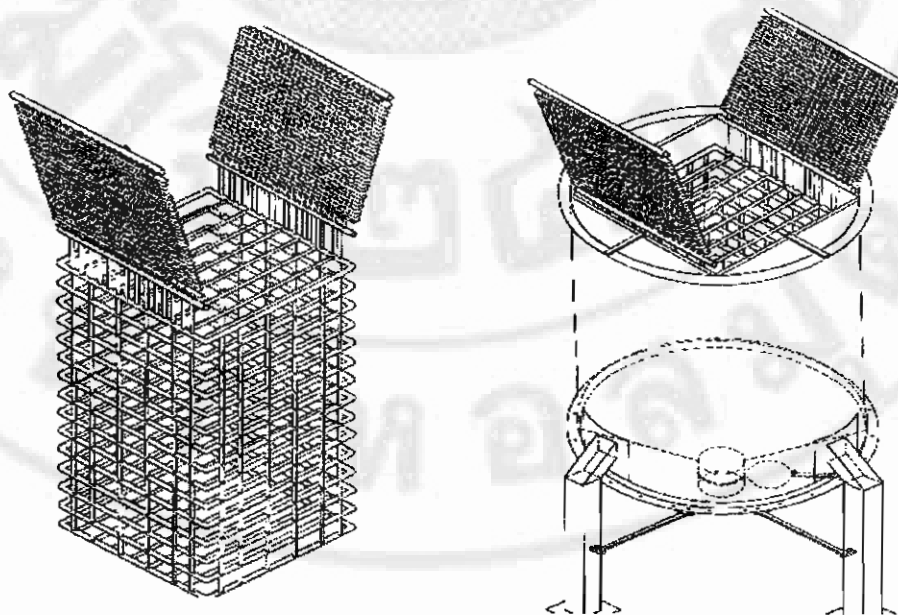
Dussaddee (2002) ศึกษาการดึงความร้อนสะสมเนื่องจากการหายใจของรากเปลือกโดยใช้ ระบบห้องความร้อน ตั้งแสดงในญี่ปุ่นที่ 1.10 โดยทดสอบที่มหาวิทยาลัยแม่โจ้ จังหวัดเชียงใหม่ จาก การศึกษาพบว่าระบบสามารถดึงความร้อนจากรากเปลือกในไซโลได้เป็นอย่างดี ที่รากเปลือก

ระดับความชื้น 26.9% wb ซึ่งเป็นข้าวเปลือกที่เก็บเกี่ยวใหม่เพื่อชะลอการหืนแห้งในฤดูกาลร้อน เกี่ยว ซึ่งเครื่องอบข้าวมีไม่เพียงพอ จากการวิจัย พบว่า ท่อความร้อนสามารถลดอุณหภูมิ ข้าวเปลือกความชื้น 1 ตันได้ถึงเกือบ 30°C กล่าวคือ ระบบที่ไม่ติดตั้งท่อความร้อนข้าวเปลือกนี้ อุณหภูมิสูงถึง 65°C เมื่อติดตั้งท่อความร้อนเข้ากับไฮโลข้าวเปลือกสามารถควบคุมอุณหภูมิ ข้าวเปลือกอยู่ที่ระดับเพียง $37\text{-}38^{\circ}\text{C}$



รูปที่ 1.11 การดึงความร้อนจากดินโดยใช้ท่อความร้อนสำหรับทำห้องเย็น
เก็บผลผลิตทางการเกษตร

ที่มา: Fukada et al. (1993)



รูปที่ 1.12 การดึงความร้อนสะสมในข้าวเปลือกโดยใช้ท่อความร้อน
ที่มา : Dussadee (2002)

จากการศึกษาถึงงานวิจัยที่ผ่านมา พบว่า ในการควบคุมอุณหภูมิของอากาศในโรงเรือน นั้นปัจจัยสำคัญประการหนึ่งคือ อุณหภูมิของน้ำที่จะป้อนเข้าสู่สตูเปียก และพบว่า ท่อความร้อนแบบเทอร์โมไฟฟ่อนสามารถถึงความร้อนที่สะสมในระบบอุกจาระระบบได้โดยไม่ต้องป้อน พลังงานจากภายนอก จึงมีความเป็นไปได้สูงที่จะใช้ท่อความร้อนแบบเทอร์โมไฟฟ่อนในการลด อุณหภูมน้ำก่อนป้อนเข้าสู่สตูเปียกของระบบทำความเย็นแบบ Evaporative cooling สำหรับ โรงเรือนที่ได้ได้ทั้งการปูกราก และการเลี้ยงสัตว์

ดังนั้นในงานวิจัยนี้จะทำการศึกษาการเพิ่มประสิทธิภาพและประหยัดพลังงานในการทำ ความเย็นของระบบ Evaporative Cooling ของโรงเรือน Greenhouse โดยการผลิตน้ำเย็นในเวลา กลางคืนโดยใช้ท่อความร้อน ซึ่งสามารถผลิตน้ำเย็นได้โดยไม่จำเป็นต้องอาศัยพลังงานภายนอก ช่วย และน้ำเย็นป้อนผ่าน Wetted Media ของระบบ Evaporative Cooling ในเวลากลางวัน ซึ่งจะ ทำให้สามารถลดอุณหภูมิภายในโรงเรือน Greenhouse ลงได้อีก

บทที่ 2

หลักการและทฤษฎี

2.1 โรงเรือน (Greenhouse)

การปลูกพืชในโรงเรือนให้บังคับให้ต้นไม้โตเร็ว ในอดีตโรงเรือนมักจะเป็นโรงเรือนกระจาก แต่ในปัจจุบันได้มีการสร้างโรงเรือนพลาสติกรึ่นมาเพื่อใช้แทนโรงเรือนกระจากและเป็นที่นิยมกันมาก เนื่องจากพลาสติกมีคุณสมบัติใกล้เคียงกับกระจาก ในปัจจุบันโรงเรือนที่เหมาะสมกับการใช้งาน พอกสมควร มี 2 แบบ คือ โรงเรือนไม้ซึ่งโครงสร้างจะเป็นไม้ คุณตัวยพลาสติกทึ้งอาคาร สามารถสร้างได้ง่ายและมีต้นทุนต่ำ แต่มีข้อเสียคืออายุการใช้งานสั้น อีกแบบ คือ โรงเรือนโครงเหล็ก โครงสร้างจะเป็นเหล็กทึ้งหมด คุณตัวยพลาสติกและมีการระบายน้ำอากาศบนหลังคา ข้อดีคือ มีความแข็งแรง สามารถทนแรงลมได้ดี และมีข้อเสีย คือ ราคารองวัสดุที่ใช้ค่อนข้างแพง โรงเรือนจะต้องสามารถป้องกันพืชจากอุณหภูมิที่สูงเกินไป ฝน ลูกเห็บ และแมลงได้ โดยสามารถเพิ่มหรือลดอุณหภูมิ ลดหรือเพิ่มแสง เพิ่มอัตราการหมุนเวียนของลม ควบคุมความชื้นสัมพัทธ์ ปริมาณคาร์บอนไดออกไซด์ ตลอดจนการจัดการน้ำและปุ๋ยอย่างมีประสิทธิภาพ

2.1.1 ประเภทของโรงเรือน

สำหรับโครงสร้างของโรงเรือนที่ใช้กันอยู่ทั่วไปมีหลายแบบด้วยกัน แต่ละแบบนิยมใช้ตามวัตถุประสงค์ของผู้ใช้ได้แก่

2.1.1.1 Detached Houses

เป็นโรงเรือนที่สร้างขึ้นมาหลังเดียว อุปกรณ์ต่างๆที่นำมาใช้ในโรงเรือนสามารถติดตั้งได้ภายในโรงเรือน ตลอดจนการจัดการระบบต่าง ๆ ในโรงเรือนแบ่งเป็น

➤ Even Span เป็นโรงเรือนที่นิยมสร้างกันโดย ทั่วๆ ไปเนื่องจากโครงสร้างได้ง่าย มีลักษณะหลังคาเป็นสามเหลี่ยมน้ำหน้าจั่ว นิยมสร้างเป็นโรงเรือนขนาดใหญ่ โรงเรือนเดียวหรือสร้างติดกันหลายโรงเรือน สามารถติดตั้งอุปกรณ์เสริมสำหรับใช้ในโรงเรือน เช่น ระบบทำความเย็น, ระบบทำความร้อน และระบบระบายน้ำอากาศ โรงเรือนแบบนี้จะประหยัดพลังงานเนื่องจากสามารถจัดการพลังงานได้อย่างเป็นระบบภายในโรงเรือนเดียว โรงเรือนแบบนี้เหมาะสมกับการเพิ่มความพยายามนานวันให้กับพืช เช่น เบญจมาศและพืชวันยาวอื่นๆ

➤ Uneven Span ลักษณะของหลังคาเป็นสามเหลี่ยมหน้าจั่วแต่จะมีหลังคาน้ำหนึ่งยาวกว่าอีกด้านหนึ่ง สร้างให้หลังคาทางทิศใต้ยาวกว่า นิยมสร้างกันในประเทศที่มีความเชื้อของแสงแดดไม่มากหรือสร้างในภูมิประเทศที่ต้องอยู่บนเนินเขา การวางตำแหน่งของโรงเรือนจะหันด้านที่มีหลังคายาวไปทางทิศใต้เพื่อรับแสงอาทิตย์อย่างเต็มที่

➤ Quonset เป็นโรงเรือนที่มีหลังคาโค้งหรือครึ่งวงกลม โครงสร้างของโรงเรือนอาจเป็นแบบมีเสาหรือไม่มีเสา ก็ได้ ปัจจุบันนิยมสร้างโรงเรือนนี้กันมากเนื่องจากสร้างง่ายมีโครงสร้างไม่รับชื่อนั้น สามารถทนแรงลมสูงๆ และสามารถระบายอากาศออกจากโรงเรือนได้ดี คลุมด้วย sheet film plastic หรือ fiberglass (GRP)

➤ Gothic Arch ลักษณะโครงหลังคาเป็นศิลปะโบราณของเยอรมันที่เรียกว่า "Gothic Arch" มีลักษณะคล้ายหลังคาโค้ง แต่ส่วนยอดของหลังคาก็จะเป็นปลายแหลม การก่อสร้างค่อนข้างจะยุ่งยากโดยเฉพาะส่วนของหลังคารึมนิยมสร้างจากไม้ ทำให้ไม่สามารถเปิดช่องระบายอากาศทางหลังคาได้ การระบายอากาศทำโดยติดตั้งพัดลมระบายอากาศโรงเรือนประเภทนี้มีความสามารถจึงทำให้นิยมใช้ปููกดอกไม้มากกว่าพาร์โนนิก่อน

➤ Dome ลักษณะหลังคาเป็นครึ่งวงกลม การก่อสร้างทำได้ยากและมีราคาคืนทุนในการก่อสร้างสูง นิยมใช้ปููกดอกไม้เข็นเดียวกับโรงเรือนแบบ Gothic Arch

2.1.1.2 Connected Houses

จากโรงเรือนแบบ Detached houses ถ้าสร้างติดๆ กันหลายโรงเรือนและไม่มีผนังกันระหว่างห้องสองแบบ มักนิยมเรียกว่า connected greenhouse สำหรับการปลูกพืชแบบอุตสาหกรรม แปลงเป็น

➤ Multi chamber Houses ลักษณะของโรงเรือนเป็นการประยุกต์จากโรงเรือนแบบ Quonset หรือ Even Span โดยสร้างหลาຍโรงเรือนติดกันและความสูงของโรงเรือนจะกำหนดโดยความสูงของพืชที่ปลูก ตั้งนั้นจึงมีความสูงของโรงเรือนไม่แน่นอน ตัวอย่างการสร้างโรงเรือนได้แก่ โรงเรือนแบบ Dutch-Venlo type ในประเทศไทย เช่น ประเทศไทยเนเธอร์แลนด์ นิยมใช้ปููกมะเขือเทศ

➤ Saran-covered Houses เป็นโรงเรือนที่ใช้ตาข่ายพลาสติกสำหรับรองแสงอาทิตย์ที่เรียกว่า Saran ทำจากสิ่งทอโพลิไพริลีน (Polypropylene fabric) มีน้ำหนักเบา สามารถใช้ลวดเหล็กในภายใต้ตราช้ากับเส้า นิยมใช้ในโรงเรือนที่ปููกไม้ดอกที่ไม่ต้องการแสงอาทิตย์มาก หรือใช้ในกรณีที่ต้องการลดความเรื้อรังของแสงที่สูงเกินความต้องการของพืช สามารถป้องกันแมลงงานชนิด และลดแรงปะทะของฝนได้

➤ Lath Houses โรงไม้ระแนงใช้ในการพรางแสงไม้ให้พืชได้รับความเข้มแสงมากเกินไป และลดอุณหภูมิให้ต่ำลง ทำให้พืชต้องการน้ำน้อยลง ใช้กันมากในการปลูกพืชไม้ดอก หรือโรงเรือนเพาะชำพืช ขยายพันธุ์พืช โครงสร้างของโรงเรือนทำจากไม้ระแนงโดยตีด้านบนและด้านข้างของโรงเรือน ปริมาณแสงอาทิตย์ที่ส่องผ่านเข้าสู่โรงเรือนถูกกำหนดโดยความต้องไม้ระแนงประมาณ 1/2-1/3 เท่า

2.1.2 ชนิดพลาสติกที่ใช้ทำโรงเรือน

โรงเรือนที่มีโครงสร้างน้ำหนักเบาคุณด้วยพลาสติกเป็นที่นิยมใช้กันตั้งแต่ระดับบ้านเรือนไปจนถึงกิจการการค้าขนาดใหญ่ โดยในโลกมีพื้นที่การใช้โรงเรือนพลาสติกเป็น 3 เท่าของการใช้โรงเรือนกระจาด พลาสติกที่นิยมใช้กันในปัจจุบันมีหลายชนิด ได้แก่

➤ พอลิเอทธิลีน (Poly ethylene, PE) พอลิเอทธิลีนที่ใช้ทำพลาสติก มีทั้งชนิดที่มีความหนาแน่นต่ำ (LDPE) และความหนาแน่นสูง (HDPE) สามารถดึงงอได้ง่ายโดยไม่ต้องผสานสารไมเลกูลเล็กที่เป็นพลาสติกเรอร์ แต่ต้องเติมสารที่ป้องกันการเกิดออกซิเดชัน และช่วยให้เสถียรต่อแสง จึกขาดยาก มีลักษณะผิวคล้ายผึ้ง ไม่เกะติดน้ำ ยึดหยุ่นได้ดีเมื่ออยู่ในอุณหภูมิต่ำ ก้าชออกซิเจนและก้าชคาร์บอนไดออกไซด์สามารถแพร่กระจายผ่านพลาสติกชนิดนี้ได้ โดยที่ก้าชคาร์บอนไดออกไซด์สามารถผ่านได้ดีเป็น 3 เท่าของก้าชออกซิเจน มีอัตราการแพร์ต่ำกว่าและในขณะเดียวกันก็ลดการผ่านออกซิเจน PE มีอายุการใช้งานสั้นประมาณ 14-30 เดือน โดยมักจึกขาดและเสียหายในฤดูร้อน

➤ พอลิเอทธิลีนไวนิลอะไครเลต (Ethylene-vinyl acetate copolymers, EVA) เป็นพลาสติกที่เกิดจากส่วนผสมระหว่าง ethylene และ vinyl acetate มีความเหนียวและความใส่ย้อมให้รังสีผ่านน้อยกว่า PE แต่การกระเจาของแสงมากกว่า เก็บกักรังสีอินฟราเรดได้ดีพอๆ กับพอลิไวนิลคลอไรด์ มีความทนทานต่อ แสงอัลตราไวโอเล็ตได้ดีกว่า PVC และ PE ไม่เปราะเมี้ยที่อุณหภูมิต่ำถึง -40°C ประเทศไทยมีอุณหภูมิอากาศหนาวจัดจึงนิยมใช้ EVA มาก แต่ขอเสียคือเห็นจะหนาและหนักอ่อนได้ เมื่อมีแรงดึงและมีไฟฟ้า สกิดสูงจะทำให้ผุนแกะง่าย อีกทั้งมีราคาแพง

➤ พอลิไวนิลคลอไรด์ (polyvinyl chloride, PVC) พอลิไวนิลคลอไรด์ชนิดอ่อน นิยมใช้รองจากพลาสติกพอลิเอทธิลีน โดยปกติแล้วพอลิเมอร์ชนิดนี้จะแข็งจึงต้องมีการผสานพลาสติกไชเรอร์เพื่อให้สามารถดึงงอได้ แต่สารพลาสติกไชเรอร์สามารถระเหยได้เมื่ออุณหภูมิสูง การถูกเผาไหม้สามารถทำให้พอลิไวนิลคลอไรด์แข็งกระด้างมากขึ้นเรื่อยๆ และทำให้มีสีคล้ำมัว จึงต้องผสาน

สารป้องกันแสงอัลตราไวโอลีต PVC สามารถลดการส่งผ่านรังสีคลื่นสั้นเข้าภายในโรงเรือนโดยการดูดกลืนความร้อน ทำให้อุณหภูมิของผิวพลาสติกมีค่าสูงกว่าอุณหภูมิที่ผิวพลาสติก PE ประมาณ 30°F

➤ พอลิไวนิลฟลูออไรด์(Polyvinyl fluoride, PVF หรือ Tedlar) ผิวของ PVF มีลักษณะคล้ายกับผิวกระเจรจาย้อมให้แสงผ่านได้ดี สามารถใช้ในช่วงอุณหภูมิ 0-180°C อายุการใช้งานนาน 8-10 ปี และมีราคาแพงเป็นรอง PE แต่เนื่องจากมีความทนทานเจิงมีราคาต้นทุนต่อปีต่ำกว่า

➤ Rigid Sheet Plastic นอกจากพลาสติกอ่อนที่นิยมใช้คุณโรงเรือน ยังมีแผ่นพลาสติกแข็งที่นิยมใช้คุณโรงเรือน เช่น Glass Fiber-reinforced Polyester หรือที่เรียกว่าแผ่น fiberglass (FRP) ทำเป็นแผ่นเรียบหรือเป็นร่อง มีน้ำหนักเบา, clear PVC และ Polymethyl Methacrylate (acrylic) พลาสติกเหล่านี้สามารถใช้ในความยาวคลื่นแสง 450-750 นาโนเมตร สามารถรับแรงกระแทกได้แต่เบระ, ไม่เปลี่ยนเป็นสีเหลืองเมื่อใช้ไปนานๆ และทนต่อสภาพแวดล้อมได้ดี นอกจากราคาที่นิยมวัสดุที่เรียกว่า Polycarbonate ที่มีลักษณะคล้าย Acrylic ในแผ่นของ กการเก็บความร้อนและยอมให้แสงผ่านทันแรงอดได้ดีกว่ากระจาก 200 เท่า และมีน้ำหนักเพียง 1/6 เท่าของกระจาก

2.2 ปัจจัยที่มีผลต่อการเพิ่มประสิทธิภาพในโรงเรือน

2.2.1 อุณหภูมิ(Temperature)

อุณหภูมิเป็นปัจจัยที่สำคัญและมีอิทธิพลต่อการเจริญเติบโตของพืช สิ่งมีชีวิตทุกชนิดในโลกประnobนขึ้นด้วยอุณหภูมิ อัตราการเคลื่อนไหวของอะตอมเรื่องอยู่กับอุณหภูมิ นอกจากราช อุณหภูมิจะมีอิทธิพลต่อชีวบวนการทางพืชิคส์และทางเคมีในพืช ซึ่งชีวบวนการทั้งสองจะควบคุมปฏิกิริยาทางชีวภาพในพืช อุณหภูมิสำหรับการเจริญเติบโตของพืชแบ่งออกได้ดังนี้คือ

- อุณหภูมิต่ำสุด (Minimum temperature) ถ้าหากอุณหภูมิต่ำกว่าจุดนี้ พืชจะไม่สามารถเจริญเติบโตได้ ถึงแม้จะมีแสงและความชื้นอย่างเพียงพอ
- อุณหภูมิที่เหมาะสม (Optimum temperature) อุณหภูมิที่พืชสามารถเจริญเติบโตอย่างรวดเร็ว
- อุณหภูมิสูงสุด (Maximum temperature) ถ้าหากอุณหภูมิสูงกว่าจุดนี้ พืชจะไม่สามารถเจริญเติบโตต่อไปได้ ถึงแม้จะมีแสงและความชื้นอย่างเพียงพอ

2.2.2 แสงและการเจริญของพืช (Light)

แสงมีอิทธิพลทั้งทางตรงและทางอ้อมต่อพืช เนื่องจากแสงเป็นแหล่งพลังงานในการสังเคราะห์คาร์บอน dioxide ให้เป็นอาหารเบื้องต้น ตลอดจนขบวนการต่างๆ ของพืช ในกรณีที่ไม่มีแสง พืชจะใช้อาหารสำรองในตันตนกระทั้งหมดไป ต่อจากนั้นพืชจะตาย พืชที่เจริญในที่มีดีจะมีอาการผิดปกติ ใบสีขาว ลำต้นขนาดเล็ก ยึดตัว บิดงอ ใบไม่เปิดเต็มที่ หากไม่สมบูรณ์ เนื้อยื่นออกน้ำ ซึ่งอาจเรียกอาการนี้ว่า Ethiolation

2.2.3 ความเข้มของแสง (Light intensity)

ความต้องการความเข้มของแสงในพืชแต่ละชนิดจะต่างกัน ปกติในสภาพความเข้มของแสงต่ำ จะทำให้เซลล์พืชขยายตัวได้มากและรวดเร็ว มีการแบ่งตัวมาก แต่เซลล์มีการเปลี่ยนแปลงน้อย มีการแก่ตัวช้า โดยเฉพาะอย่างยิ่งการปลูกพืชในสภาพที่มีความเข้มของแสงต่ำๆ ลำต้นจะยาว ในขาวีด ไม่มีเม็ดสีเรียวนหรือคลอรอฟิลล์ ความเข้มของแสงต่ำกว่า 0.4 แรงเทียน จะจำกัดการสังเคราะห์แสง อัตราการสังเคราะห์แสงจะขึ้นอยู่กับความเข้มของแสง โดยอัตราการสังเคราะห์จะสูงขึ้นตามความเข้มของแสง จนกระทั่งระดับสูงสุดที่เรียกว่า Light saturated

2.2.4 คุณภาพของแสง (Light quality)

คุณภาพของแสงจะขึ้นอยู่กับความยาวของคลื่นแสง โดยแสงใน Spectrum มีจีดีสี แสดงเป็นคลื่นแสงที่ยาวที่สุด สีม่วงลึกลับที่สุด แสงที่มีความยาวคลื่นมากจะมีผลต่อการยึดตัวของลำต้นน้อย ส่วนแสงที่มีคลื่นสั้นจะมีอิทธิพลต่อการยึดตัวของลำต้นมาก แสงที่มีประกายจะต่อการขยายตัวของใบจะให้ผลตรงข้ามกับการยึดตัวของลำต้น การปลูกพืชในที่ๆ มีแสงอัลตราราดิโอเลต (สีม่วง) มากพืชจะตายและถ้าหากได้รับแสงอินฟราเรด (สีแดง) ที่มีความเข้มสูงพืชจะเป็นอันตรายได้ อัตราการเจริญของพืชภายใต้แสงสีเรียวก็จะต่ำกว่าการปลูกพืชภายใต้แสงสีน้ำเงิน-ม่วง หรือส้ม-แดง

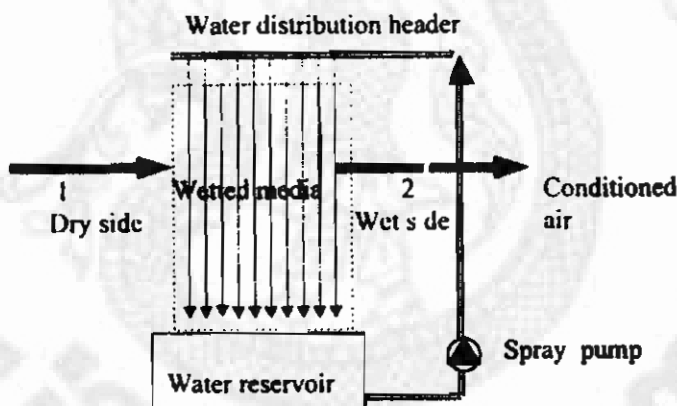
2.2.5 ความชื้นสัมพัทธ์ (Relative humidity)

ในกรณีที่ความชื้นสัมพัทธ์สูงหรือต่ำเกินไป โภคจะเร้าทำลายได้ง่าย ตั้งนั้นในกรณีที่มีความชื้นสัมพัทธ์ต่ำควรให้น้ำ ระยะที่พืชเจริญเติบโตและระยะติดตามผล จะต้องการความชื้น

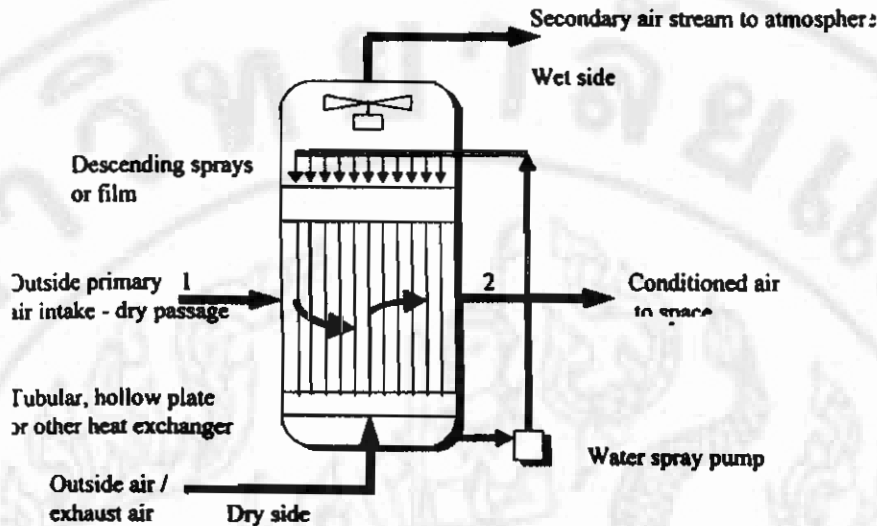
สมพาร์ทช่องกลางวันสูง ความชื้นสมพาร์ทที่เหมาะสมสำหรับการเจริญเติบโตของพืชผักอยู่ระหว่าง 60-70 %RH

2.3 การทำความเย็นโดยอาศัยหลักการระเหยของน้ำ(Evaporative Cooling)

การทำความเย็นของ Evaporative cooling อาศัยหลักการดึงความร้อนจากอากาศไป ระเหยน้ำทำให้อากาศเย็นลง โดยปกติแล้วจะใช้วัสดุผิวน้ำ (Wetted media) ช่วยในการเพิ่ม พื้นที่สัมผัสน้ำของน้ำกับอากาศ ทำให้การระเหยของน้ำเร็วขึ้น โดยทั่วไประบบ Evaporative cooling จะแบ่งเป็น 2 ชนิด คือ direct evaporative cooling และ Indirect evaporative cooling ดังแสดง ในรูปที่ 2.1 และรูปที่ 2.2



รูปที่ 2.1 ระบบทำความเย็นแบบ direct evaporative cooling

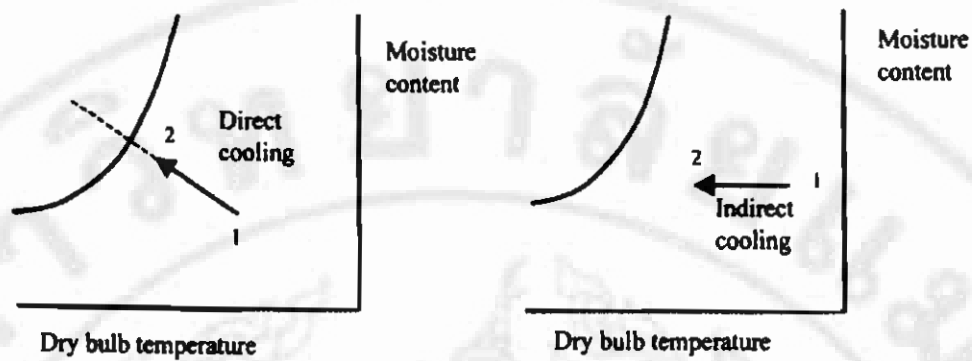


รูปที่ 2.2 ระบบทำความเย็นแบบ indirect evaporative cooling

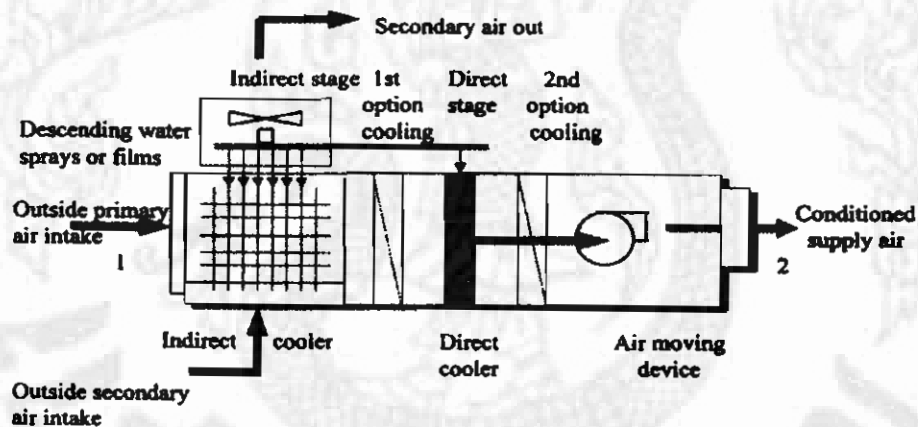
การทำงานของระบบ Direct evaporating เมื่ออากาศเคลื่อนที่ผ่าน Wetted media จากด้านที่ 1 (Dry side) ไปด้านที่ 2 (Wetted side) ทำให้น้ำที่ผ่าน Wettet media ระเหยกลายเป็นไอ โดยการดึงความร้อนจากอากาศ (Latent heat) ซึ่งมีอุณหภูมิที่สูงกว่า ดังนั้นจึงทำให้อากาศมีอุณหภูมิต่ำลง แต่ในขณะเดียวกันอากาศก็จะมีความชื้นสูงขึ้น

การทำงานของระบบ Indirect evaporating เมื่อ Primary air เคลื่อนที่ผ่านเครื่องแลกเปลี่ยนความร้อนซึ่งภายในมีระบบพ่นฝอยน้ำและ Secondary air ไหลผ่าน น้ำภายในห้องเครื่องแลกเปลี่ยนความร้อนจะระเหยและ Secondary air จะเย็นลงแล้วจะไปแลกเปลี่ยนความร้อนกับ Primary air (Sensible heat) ซึ่งมีอุณหภูมิสูงกว่า ทำให้ Primary air เย็นลง ซึ่งข้อดีของระบบ indirect evaporative cooling ก็คือสามารถลดอุณหภูมิอากาศโดยที่ไม่เป็นการเพิ่มความชื้น

เมื่อเปรียบเทียบประสิทธิภาพของระบบทำความเย็นทั้งสองระบบแล้ว ระบบ Direct evaporative cooling จะมีประสิทธิภาพสูงกว่าระบบ Indirect evaporative cooling แต่จะได้อากาศที่มีความชื้นสัมพัทธ์ต่ำกว่าแบบ direct evaporative cooling ดังนั้นจึงมีการนำเข้าอัตราของทั้งสองระบบมารวมกันได้เป็นระบบการทำความเย็นแบบผสม Indirect/direct evaporative cooling ดังแสดงในรูปที่ 2.4 โดยการใช้ indirect evaporative cooling มา Pre-cool อากาศก่อนป้อนเข้าสู่ระบบ direct evaporative cooling



รูปที่ 2.3 การทำความเย็นแบบ Direct / indirect Evaporative cooling บนแผนภูมิอากาศชื้น



รูปที่ 2.4 ระบบทำความเย็นแบบ Indirect/direct evaporative cooling

ระบบทำความเย็นแบบ Direct evaporative cooling สมรรถนะหรือประสิทธิภาพของระบบสามารถดึงแผนภูมิอากาศชื้น โดยลากเส้นในแผนภูมิอากาศชื้นจากจุดอากาศเข้า (อากาศภายนอก) ลากไปตามเส้นเอ็นทอลบีคท์ (Adiabatic) หรือความเส้นอุณหภูมิกระเพาะเปียก คงที่ไปจนถึงจุดความชื้นสัมพัทธ์ 100 % จะหาประสิทธิภาพได้ 100 % แต่ในการใช้งานจริง อากาศที่ผ่าน Wetted media ความชื้นสัมพัทธ์ไม่ใช่ 100 % ดังนั้นประสิทธิภาพของระบบ direct evaporative cooling คำนวณได้จาก

$$Eff = \left[\frac{T_{db1} - T_{db2}}{T_{db1} - T_{wb1}} \right] \times 100 \quad (2.1)$$

เมื่อ T_{db1} และ T_{db2} คืออุณหภูมิกระเพาแห้งของอากาศก่อนและหลังผ่าน

Wetted media ($^{\circ}\text{C}$)

T_{wb1} คืออุณหภูมิกระเพาเปียกของอากาศ ($^{\circ}\text{C}$)

ตารางที่ 2.1 แสดงสมรรถนะของการทำความเย็นแบบ Evaporative cooling ที่ประเทศต่างๆ โดยคิดที่ประสิทธิภาพ (Effectiveness) 65% และ 85% สำหรับระบบ indirect Evaporative cooling และ Direct Evaporative cooling ตามลำดับ (Foster, 1996) จากตารางพบว่า ประสิทธิภาพของระบบการทำความเย็นแบบนี้จะขึ้นอยู่กับความแตกต่างของอุณหภูมิกระเพาแห้งและกระเพาเปียก ที่ความแตกต่างของอุณหภูมิกระเพาเปียกและกระเพาแห้งของอากาศที่ป้อนมีค่าต่ำ จะให้ประสิทธิภาพที่สูงกว่าที่มีค่าผลิต่างสูง และที่อุณหภูมิกระเพาเปียกต่ำกว่าให้ค่าประสิทธิภาพที่สูงขึ้นกัน

ตารางที่ 2.1 สมรรถนะของการทำความเย็นแบบ Evaporative cooling ตามสถานที่ต่างๆ ในโลก

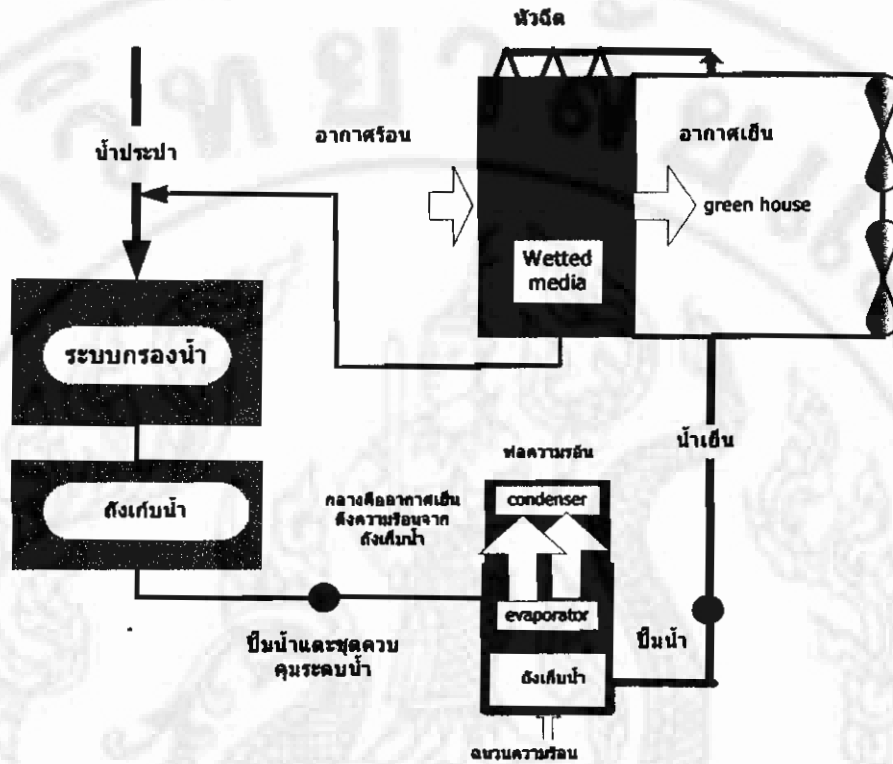
| Locations | 1 % Design DB/WB Temperature ($^{\circ}\text{C}$) | Direct Supply Air DB Temperature ($^{\circ}\text{C}$) | Indirect/Direct Supply Air DB Temperature ($^{\circ}\text{C}$) |
|---------------------------|---|---|--|
| Asia/Pacific | | | |
| Alice Springs, Australia | 39.4 / 20.0 | 22.9 | 17.6 |
| Christchurch, New Zealand | 27.8 / 17.8 | 19.3 | 16.4 |
| Middle East | | | |
| Riyadh, Saudi Arabia | 43.9 / 20.0 | 23.6 | 17.1 |
| Jerusalem, Israel | 33.3 / 17.2 | 19.6 | 15.0 |
| Africa | | | |
| Cario, Egypt | 38.9 / 23.3 | 25.6 | 22.1 |
| Casablanca, Morocco | 34.4 / 21.1 | 23.1 | 19.0 |
| Europe | | | |
| Madrid, Spain | 35.6 / 20.0 | 22.3 | 18.2 |

| South/Central America | | | |
|------------------------|-------------|------|------|
| Santiago, Chile | 32.3 / 19.4 | 21.4 | 17.9 |
| Caracas, Venezuela | 28.9 / 20.6 | 21.8 | 19.7 |
| North America | | | |
| Las Vegas, Nevada, USA | 42.2 / 18.9 | 22.4 | 16.1 |
| Mexico City, Mexico | 28.9 / 15.6 | 17.6 | 13.9 |

ที่มา: Foster (1996)

2.4 กรอบแนวความคิดของพัฒนาระบบโรงเรือน Greenhouse แบบประยุกต์พัฒนา

รูปที่ 2.5 แสดงให้เห็นการการทำงานของระบบโรงเพาะเลี้ยงและโรงเรือน Greenhouse แบบประยุกต์ทิวภาพสูง การทำงานสามารถอธิบายได้ดังนี้ เมื่อติดตั้งท่อความร้อนกับถังเก็บน้ำ ใน เวลากลางคืนที่อากาศมีอุณหภูมิต่ำกว่าอุณหภูมิภายในถังเก็บท่อความร้อนจะทำงานโดยอัตโนมัติ โดย การดึงความร้อนไปประนายน้ำที่ condenser ทำให้น้ำเย็นในถังเย็นลง โดยถังน้ำจำเป็นต้องหุ้ม ชั้วนกันความร้อนอย่างดี ในเวลากลางวันเมื่ออากาศแวดล้อมอุณหภูมิสูงกว่าอุณหภูมิภายในถัง เก็บ ระบบท่อความร้อนจะไม่ทำงาน หลังจากนั้นปั๊มน้ำเย็นไปจ่ายให้กับ Wetted media ของ ระบบ Evaporative cooling ซึ่งติดตั้งภายในโรงเรือน Greenhouse แทนระบบเดิมที่มี้อนน้ำปกติ ซึ่งจะทำให้โรงเรือน Greenhouse อุณหภูมิต่ำลง ซึ่งเป็นที่ต้องการของการปลูกพืชในโรงเรือนของ เกษตรกร และยังทำให้ลดอัตราการไอลออกัสผ่าน Wetted media ทำให้การใช้กำลังของพัดลม ลดลงหรือจำนวนพัดลมลดลงนั่นเอง



รูปที่ 2.5 การทำงานของโรงเรือน Greenhouse แบบปะหันพัดลม
โดยใช้ระบบ Chilled Water Night cooling

2.5 การระบายอากาศ [ventilation]

การระบายอากาศนั้นนอกจากระบบระบายความร้อนออกไปจากโรงเรือนแล้ว ยังเป็นการแลกเปลี่ยนอากาศใหม่เพื่อรับรู้กระบวนการสังเคราะห์แสง นอกจากนั้นยังช่วยลดปริมาณความชื้นสัมพัทธ์ ซึ่งจะเป็นการช่วยควบคุมโรคระบาดที่อาจเกิดขึ้นจากการความชื้นที่สูงโดยการระบายอากาศแบ่งออกเป็น

2.5.1 การเคลื่อนที่ของอากาศตามธรรมชาติ [natural air movement]

โดยอาศัยหลักการเคลื่อนที่ของลมประจำถิ่นในลักษณะของหลังคาเรือนทำให้เกิดอุณหภูมิอากาศทำให้อากาศร้อนที่อยู่ด้านบนของหลังคาเรือนทำให้เกิดอุณหภูมิอากาศทำให้อากาศร้อนที่อยู่ด้านบนของหลังคาเรือนโดยเกิดจากปัจจัยดังนี้

➤ การระบายอากาศแบบธรรมชาติที่เกิดจากแรงลม (Wind Force)

การเคลื่อนที่ของลมจากธรรมชาติที่พัดผ่านอาคารสามารถช่วยลดอุณหภูมิในอาคารได้ เมื่อมีความเร็วลมค่านึงพัดเข้าสู่อาคาร ก็จะสามารถพาความร้อนที่สะสมอยู่ในอาคารออกสู่ บรรยากาศภายนอกได้ เมื่อลมมีความเร็วมากเท่าไหร่ก็จะสามารถลดอุณหภูมิอากาศในบริเวณ นั้นได้เช่นการระบายอากาศแบบธรรมชาติที่เกิดจากแรงลอยตัวของอากาศ (Buoyancy Force)

การสะสูดความร้อนเนื่องจากอิทธิพลของรังสีอาทิตย์ภายในอาคารส่งผลให้อากาศภายใน มีอุณหภูมิสูงขึ้น ความร้อนที่ได้รับจะทำให้อากาศขยายตัวบางลงและลอยตัวสูงขึ้นอยู่เหนือ อากาศที่มีความแน่นหนามากกว่า สุดท้ายอากาศก็จะลอยออกตัวอาคารโดยถูกดูดเข้า เนื่องจากแรงลอยตัว

2.5.2 การเปิดปิดช่องงานพันธนาณย์อากาศ [ventilating sash operation]

โดยอาศัยหลักการออกแบบโรงเรือนให้มีการเปิดปิดช่องงานพันธนาณย์อากาศเพื่อให้ ลมภายนอกไหลผ่านโรงเรือนระบายอากาศร้อนจากภายในออกไป

2.5.3 พัดลมระนาบอากาศ [fan ventilation]

การติดตั้งพัดลมดูดอากาศตามผนังหรือหลังคาของสิ่งก่อสร้างและทำซ่องระบาย อากาศให้ด้านตรงข้าม อาคารจะไหลเข้าแล้วพัดลมจะดูดออก ทำให้เกิดการไหลเวียนของอากาศ เพื่อให้เกิดการถ่ายเทอากาศได้ต้องออกแบบให้เกิดบริเวณความกดอากาศสูงและความกด อากาศต่ำต้องเนื่องกันไป สำหรับซ่องระนาบอากาศในโรงเรือนควรจะมีช่องคิดเป็นเนื้อที่ 1/6 ของ พื้นที่ของโรงเรือน

การระบายอากาศร้อนออกโดยใช้พัดลมไฟฟ้าหากมีการใช้พัดลมเพียงอย่างเดียว มักจะมีการครุ่นพลาสติกทั้งโรงเรือนเพื่อให้แนวใจได้ว่าอากาศได้ไหลเข้าไปแทนที่อากาศร้อนที่ ระบบออกมานาแต่ด้านหากเป็นโรงเรือนแบบระบบเปิดมักจะติดตั้งพัดลมไว้ภายในหรือบริเวณ ด้านร้างโดยรอบของโรงเรือนเพื่อพัดอากาศร้อนจากภายในออกสู่ภายนอกซึ่งในการทดลองนี้ ได้เลือกใช้วิธีระบายอากาศโดยใช้พัดลม

พัดลมมีหน้าที่หลักในการระบายอากาศและดูดความร้อนในโรงเรือน ซึ่งแบ่งออกเป็น 2 ชนิดใหญ่ๆ คือพัดลมแบบในลักษณะแนวแกน [Axial Flow Fan] พัดลมแบบแรงเหวี่ยงหนีศูนย์ [Centrifugal Flow Fan]

สำนักหอสมุด มหาวิทยาลัยแม่โจ้

- 27 -

โดยแบบแรกมีลักษณะการไหลของอากาศที่ขานานกับแกนของใบพัดและตั้งฉากกับระบบการหมุนของใบพัด ใบพัดแบบนี้มีความถูกและไม่มีโอกาสที่พัดลมจะทำงานเกินกำลัง แต่เสียงจะดังมากกว่าแบบแรงเหวี่ยงหนึ่นศูนย์รวมถึงมีช่วงการทำงานที่ไม่แน่นอนส่วนพัดลมแบบแรงเหวี่ยงหนึ่นศูนย์จะใช้ได้ดีที่สุดที่มีความต้านทานลมสูง ลักษณะการไหลของลมจะเป็นการไหลเข้าขานานกับใบพัดและออกในแนวตั้งจากซึ่งแบ่งการสร้างเป็น 3 แบบ ดังนี้

➤ แบบใบพัดรัศมีตรง [straight blade,radial fans] มีเพลาที่มีขนาดใหญ่ จำนวนใบพัดมีประมาณ 5-12 ชิ้น ลักษณะการสร้างเป็นแบบใบล้อหมุนด้วยความเร็วต่ำ ปกติใช้เป็นพัดลมระบายอากาศเสียออกไปสู่ภายนอก เหมาะกับงานขันถ่ายวัสดุด้วยลมหรืองานสกปรก

➤ แบบใบพัดโค้งไปข้างหน้า [forward curved blade fans] การทำงานของพัดลมแบบนี้จะมีเสียงเบาเมื่อเทียบกับพัดลมแบบอื่นๆ แต่ก็มีร้อเสียคือ มอเตอร์มีโอกาสทำงานเกินกำลังได้และมีช่วงการทำงานที่ไม่แน่นอน ในพัดจะละเมียดมากมีจำนวน 20-64 ชิ้น เพลาใบพัดมีขนาดเล็ก หมุนด้วยความเร็วรอบที่ที่สูงกว่าพัดลมแบบรัศมีตรง ความเร็วลมเคลื่อนที่เร็วกว่าพัดลมแบบใบพัดโค้งไปข้างหลัง เมื่อร้อยละของปริมาณที่เพิ่มขึ้น พบว่า ค่ากำลังงานที่ให้กับแกนพัดลมจะเพิ่มขึ้นด้วย ซึ่งเป็นสาเหตุที่มอเตอร์อาจทำงานเกินกำลังได้ การใช้พัดลมชนิดนี้จึงไม่เหมาะสมต่อระบบที่มีการเปลี่ยนแปลงการไหลอยู่ตลอดเวลา

➤ แบบใบพัดโค้งไปข้างหลัง [backward curved blade fans] พัดลมแบบนี้จะมีความถูกและได้เทียบกับพัดลมประเภทอื่น เช่น การทำงานไม่เกิดเสียงดัง มอเตอร์ไม่ทำงานเกินกำลัง มีช่วงการทำงานที่แน่นอน ส่วนใบพัดไม่ได้ละเมียดเท่ากับแบบใบโค้งไปข้างหน้า โดยจะมีจำนวนใบพัด 10-50 ชิ้น หมุนที่โค้งไปด้านหลังมีประโยชน์ในการเปลี่ยนพลังงานคลื่นให้เป็นความตันโดยตรงให้ได้มากที่สุด เหมาะกับระบบระบายอากาศเพรำสามารถควบคุมความตันและปริมาณลมได้ง่าย

2.6 การควบคุมการเคลื่อนที่ของอากาศหรือความเร็วลมภายในโรงเรือน

2.6.1 ความเร็วลมหน้าผ่านระหว่างน้ำ

ความเร็วลมหน้าผ่านระหว่างน้ำ จะมีส่วนสัมพันธ์กับการอั่มตัวในการดูดซับน้ำได้ของผ่านระหว่างน้ำ ยิ่งความเร็วลมมีมาก การอั่มตัวในการดูดซับน้ำได้ยิ่งน้อยลง ดังนั้น การเลือกชนิดของผ่านระหว่างน้ำ เราต้องพิจารณาถึงข้อความเร็วลมที่ต้องการ การอั่มตัวในการดูดซับน้ำได้ และความหนาของผ่านระหว่างน้ำ ซึ่งทั้งหมดที่กล่าวมานี้เนื่องจากมีของกระดาษที่ทำมุนต่างกัน

$$V_{evap} = \frac{\dot{m}_{out}}{A_p} \quad (2.2)$$

โดย V_{evap} = ความเร็วลมแผ่นระเหยน้ำ (m/s)

\dot{m}_{out} = ปริมาตรอากาศที่ดูดออกจากโรงเรือน (m^3/s)

A_p = พื้นที่หน้าต่างของโรงเรือน (m^2)

2.6.2 วิธีการวัดความชื้น

ในการวัดความชื้นในอากาศที่นิยมใช้กันมาก ได้แก่ เทอร์โมมิเตอร์ชนิดบรรุข่องเหลว ในหลอดแก้วจำนวนสองอันกระป๋าของเทอร์โมมิเตอร์อันหนึ่งหุ้มไว้ด้วยผ้าสำลีซุมน้ำ กระป๋าของเทอร์โมมิเตอร์อีกอันหนึ่งเปลือย ในการวัดความชื้นต้องใช้เทอร์โมมิเตอร์ทั้ง 2 อัน 协同 ไปใน จุดที่มีอากาศถ่ายเทนำอุณหภูมิทั้งสองเป็นมาตรฐานของอากาศให้จากໄโคร์มติคาร์ท

2.6.3 อุณหภูมิกระป๋าแห้งและกระป๋าเปียก(Dry and bulb temperature, DB and WB)

อุณหภูมิกระป๋าแห้ง (Dry bulb temperature, DB) หมายถึง อุณหภูมิที่อ่านจาก เทอร์โมมิเตอร์กระป๋าแห้งในการวัดจะต้องใช้กระป๋าอยู่ในที่อากาศถ่ายเทได้สะดวก เพื่อให้ ค่าที่อ่านได้ถูกต้องและบังเกิดค่าที่ผิดพลาดจากการผิดรั้งสี

อุณหภูมิกระป๋าเปียก(Wet bulb temperature, WB) หมายถึง อุณหภูมิที่อ่านจาก เทอร์โมมิเตอร์ที่กระป๋าแห้งหุ้มด้วยผ้าที่ชื้น โดยมีกระแสน้ำที่มีความเร็วระหว่าง 5 และ 10 เมตรต่อ วินาที พัดผ่านกระป๋า

2.6.4 อัตราการไหลของอากาศ

อุปกรณ์วัดความเร็วลม (Anemometer) ชนิดใบหมุนและชนิดใบเบนเนมาส์สำหรับใช้วัด อัตราการไหลของอากาศที่ไหลผ่านหัวจ่ายลมเพดานหรือตะแกรงจ่ายลม ประกอบด้วยใบพัดหนึ่ง ใบ เมื่ออากาศไหลผ่านใบพัดจะมีแรงต้านที่หัวปัดจะซึบผลกระทบที่อากาศไหลในหน่วยพุต ดังนั้นจึงจำเป็นต้องใช้อุปกรณ์วัดความเร็วลม (Anemometer) ร่วมกับนาฬิกาจับเวลา เพื่อวัดเวลา และคำนวณความเร็วอากาศในหน่วย fpm.

$$Q = A_k V_k \quad (2.3)$$

โดย Q = อัตราไนล์โดยปริมาตร, cfm
 A_k = พื้นที่ประสิทธิผลของช่องทางในครองอากาศ, ft
 V_k = ความเร็วเฉลี่ยของอากาศที่ไหลผ่านช่องทางในล, fpm

2.7 เอนthalpy ของอากาศ (Enthalpy of air)

อากาศมีความร้อนสัมผัส(Sensible heat) และความร้อนแฝง (Latent heat) ความร้อนทั้งหมดของอากาศที่สภาวะได้เป็นผลรวมของความร้อนสัมผัสและความร้อนแฝงจากที่ได้กล่าวมานี้จะแสดงในหัวข้อต่อไปนี้

2.7.1 ความร้อนแฝงของอากาศ (Latent heat of air, H_L)

ความร้อนแฝงของอากาศคือ ความร้อนแฝงของไอน้ำในอากาศ เพราะว่าจำนวนความร้อนแฝงที่กำหนดปริมาณของอากาศจะขึ้นอยู่กับมวลของไอน้ำในอากาศ และความร้อนแฝงของอากาศถูกน้ำจะคงที่ต่อไปนี้

อุณหภูมิอิ่มตัวของไอน้ำ คือ อุณหภูมิจุดน้ำ汽แห้งของอากาศ (DP) อุณหภูมิ DP ไม่ได้คำนวณจากมวลของไอน้ำในอากาศ แต่คิดจากความร้อนแฝงของอากาศถูกน้ำจะคงที่ต่อไปนี้ ความร้อนแฝงอากาศเป็นพึ่งพาขึ้นของอุณหภูมิ DP ของอากาศที่คงที่ความร้อนแฝงของอากาศคงที่ด้วย เพราะว่าเมื่อสูงมากในกรอบอากาศค่าต่าง ๆ เหล่านี้ ดังนั้นเพื่อความสะดวกจึงสมมุติว่า ความร้อนสัมผาของอากาศ คือ เอนthalpy ของอากาศแห้ง ความร้อนแฝงของอากาศคือ เอนthalpy ของไอน้ำ ผลรวมของความร้อนสัมผัสและความร้อนแฝงของอากาศคือ จำนวนความร้อนทั้งหมดหรือ เอนthalpy ของอากาศ

ความร้อนแฝงของอากาศที่กำหนดให้สามารถคำนวณได้จากสมการต่อไปนี้

$$H_L = (m)(w \cdot h_w) \quad (2.4)$$

เมื่อ H_L = ความร้อนแฝงของอากาศ (kJ) ที่มีอัตราส่วนความชื้น w
 m = มวลของอากาศ (kg)
 w = อัตราส่วนความชื้น (kg/kg ของอากาศแห้ง)
 h_w = เอนthalpy จำเพาะของไอน้ำในอากาศโดยปกติใช้ค่า h
 ของไอน้ำ (kJ/kg)

สำหรับอากาศ 1 kg สมการจะเป็น

$$H_L = (w)(h_w)$$

h_w = เอนthalpie จำเพาะของไอน้ำในอากาศโดยปกติใช้ค่า h_w
ของไอน้ำ

H_L = ความร้อนแห้งของอากาศ (KJ/kg)

2.7.2 ความร้อนของอากาศ (Total heat of air, h_t)

ความร้อน (เอนthalpie) ของอากาศ คือ ผลรวมของความร้อนสัมผัสรองอากาศ (เอนthalpie ของอากาศแห้ง) และความร้อนแห้งของอากาศ (เอนthalpie ของไอน้ำ) ดังนั้นสำหรับอากาศ 1 kg

$$h_t = h_s + h_L \quad (2.5)$$

เมื่อ h_t = เอนthalpie ของอากาศ (ทั้งหมด) (KJ/kg)

h_L = เอนthalpie ของไอน้ำ (KJ/kg)

h_s = เอนthalpie จำเพาะของอากาศแห้ง (KJ/kg)

สำหรับอากาศ m / kg

$$H_t = (m)(h_t)$$

h_t = เอนthalpie ของอากาศจำนวน m/kg

การถ่ายเทความร้อนทั้งหมด (Q_t) ที่อากาศได้รับหรือขายออก เมื่ออากาศได้รับความร้อนหรือความเย็นตามลำดับ จะจะคำนวณจากสมการดังนี้

$$Q_t = m(h_{t2} - h_{t1}) \quad (2.6)$$

หมายเลขอ 1 และ 2 ที่ห้องอยู่แสดงถึงสภาพแวดล้อม และสภาพสุดท้ายตามลำดับ เมื่อเอนthalpie ที่สภาพ 1 มากกว่าสภาพ 2 ผลลัพธ์ที่ได้จะมีค่าเป็นลบแสดงว่า ความร้อนถ่ายเทจากอากาศมากกว่า ในทางปฏิบัติโดยปกติจะไม่นำมาคิด

2.7.3 ประสิทธิผลการลดอุณหภูมิของน้ำเย็น (Reduced Temperature Ratio)

อุณหภูมิแวดล้อมบริเวณรอบถังเก็บน้ำจะส่งผลต่อประสิทธิภาพการลดความเย็นของเทอร์โมไชฟอน ซึ่งตัวชี้วัดที่ใช้แสดงศักยภาพของการลดอุณหภูมิของน้ำในเทอร์โมไชฟอน ซึ่งพัฒนาโดย ณัฐรุณิ (2544) ตามสมการที่ 2.7

$$\varepsilon = \frac{T_{b2} - T_{b1}}{T_{b2} - T_a} \quad (2.7)$$

| | | |
|--------|----------|---|
| โดยที่ | T_{b2} | คือ อุณหภูมน้ำที่ไม่ใช้เทอร์โมไชฟอน, °C |
| | T_{b1} | คือ อุณหภูมน้ำที่ใช้เทอร์โมไชฟอน, °C |
| | T_a | คือ อุณหภูมิอากาศแวดล้อม, °C |

2.8 สมดุลความร้อนในโรงเรือน(Energy Balance)

ความร้อนที่หมุนเวียนในโรงเรือนจะประกอบไปด้วย ความร้อนแห้ง และความร้อนสัมผัส ความร้อนแห้งจะอยู่ในรูปของไอน้ำ โดยจะไม่ทำให้อุณหภูมิภายในโรงเรือนสูงขึ้น แต่จะทำให้ความร้อนสัมผัสสูงขึ้น ความร้อนสัมผัสได้รับอิทธิพลจากความร้อนที่เกิดจากภายในและภายนอก โรงเรือน เป็นสาเหตุให้อุณหภูมิภายในโรงเรือนสูงขึ้น

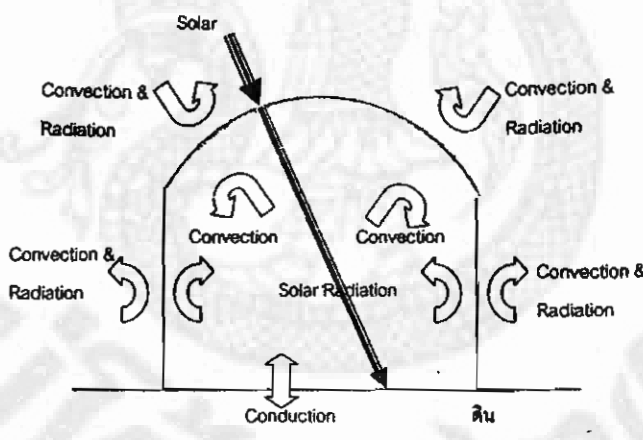
ความร้อนสัมผัสที่โรงเรือนได้รับ แบ่งออกเป็น

- ความร้อนผ่านส่วนต่างๆของโรงเรือน ได้แก่ ผนัง และหลังคา
- ความร้อนจากภายนอกที่เข้าสู่ภายในโรงเรือน
- ความร้อนที่ถ่ายจากพื้นดิน
- ความร้อนจากต้นไม้ในโรงเรือน
- ความร้อนจากการรังสีแสงอาทิตย์
- ความร้อนแห้งที่เกิดขึ้นในโรงเรือน แบ่งออกเป็น
 - ความร้อนแห้งของไอน้ำจากอากาศภายนอกเข้าสู่โรงเรือน
 - ความร้อนแห้งจากการหายใจของต้นไม้ภายในโรงเรือน
 - ความร้อนแห้งจากการระเหยของน้ำที่ผิวน้ำ

ในการนี้ที่โรงเรือนมีวัสดุปิดคลุมเป็นพิล์มพลาสติกใส ความร้อนส่วนใหญ่ที่โรงเรือนได้รับจะเกิดจากการรังสีอาทิตย์ที่ส่องผ่านและถูกดูดกลืนไว้โดยพื้นโรงเรือน ส่วนความร้อนที่เหลือจะถูกดูดกลืนไว้โดยวัสดุซึ่งเป็นส่วนประกอบของโรงเรือน

สมมติฐานในการศึกษาอุณหภูมิและความชื้นภายในโรงเรือน

- คุณสมบัติทางความร้อนของวัสดุมีการเปลี่ยนแปลงน้อยมาก
- คุณสมบัติทางความร้อนของอากาศ ซึ่งอยู่กับอุณหภูมิ
- ไม่มีผู้และคนมาสกปรกบนผนัง และหลังคา
- อุณหภูมิภายในโรงเรือนสม่ำเสมอเท่ากันทุกจุด
- อุณหภูมิผนังด้านนอก และด้านในมีค่าเท่ากัน
- ผนังมีความบางมากไม่มีการนำความร้อนในผนัง
- อุณหภูมิที่ในโรงเรือนเท่ากับอุณหภูมิภายในโรงเรือน
- ไม่มีการแผ่รังสีความร้อนระหว่าง ผนัง หลังคา และพื้นดิน ภายในโรงเรือน
- การรั่วของอากาศเข้าโรงเรือนน้อยมากเมื่อเทียบกับการระบายอากาศ



รูปที่ 2.6 สมดุลพลางานความร้อนในโรงเรือน

สามารถเขียนเป็นสมดุลพลังงานได้ดังสมการที่ 2.8

$$Q_{room} = \rho_a V_a C_{pa} \frac{dT_a}{dt} = \Sigma Q_{wall} + \Sigma Q_{roof} - Q_{ventilation} - Q_{ground} + Q_{solar} + Q_{rg} \quad (2.8)$$

| | | |
|-------|--------------|---|
| เมื่อ | Q_{room} | = อัตราความร้อนทั้งหมดที่เกิดขึ้นในโรงเรือน (kW) |
| | ρ_a | = ความหนาแน่นของอากาศ (kg/m^3) |
| | C_{pa} | = ความจุความร้อนของอากาศภายในโรงเรือน ($\text{kJ}/\text{kg.K}$) |
| | V_a | = ปริมาตรภายในโรงเรือน (m^3) |
| | T_a | = อุณหภูมิของอากาศภายในโรงเรือน (K) |
| | t | = เวลา (วินาที) |
| | Q_{wall} | = อัตราความร้อนที่ถ่ายเทผ่านผนังเข้าสู่โรงเรือน (kW) |
| | Q_{roof} | = อัตราความร้อนที่ส่องผ่านหลังคาพลาสติก (kW) |
| | Q_{ground} | = อัตราความร้อนสูญเสียสู่ดิน (kW) |
| | Q_{solar} | = อัตราความร้อนที่เกิดจากรังสีดวงอาทิตย์ (kW) |
| | Q_{rg} | = การแผ่รังสี |

บทที่ 3

ขั้นตอนและวิธีการดำเนินงานวิจัย

3.1 อุปกรณ์ เครื่องมือวัดที่ใช้ในการทดลอง

3.1.1 โรงเรือน (Green house)

โรงเรือนที่ใช้ในการทดสอบและเก็บข้อมูล ประกอบไปด้วย 2 โรงเรือน ได้แก่ โรงเรือนสำนักวิจัยและส่งเสริมวิชาการเกษตร โรงเรือนก่อสร้างไม้ดอกและไม้ปะดับ สำหรับโรงเรือนของศูนย์วิจัยพลังงาน มหาวิทยาลัยแม่โจันทางคณะผู้วิจัยได้สร้างขึ้นและได้เพิ่มระบบที่มีการหมุนเวียนอากาศในคลังกลับมาใช้ได้หลังคาโรงเรือน



โรงเรือนสำนักวิจัยและส่งเสริมวิชาการเกษตร



โรงเรือนศูนย์ก่อสร้างไม้ดอกและไม้ปะดับ



โรงเรือนศูนย์วิจัยพลังงาน มหาวิทยาลัยแม่โจ้

รูปที่ 3.1 โรงเรือนที่ใช้เก็บข้อมูลประเมินสมรรถนะ

ตารางที่ 3.1 คุณลักษณะโรงเรือนเพาะปลูกพืชที่ทดสอบ

| โรงเรือน | สำนักวิจัยฯ | ศูนย์กล่าว吟ไม้มฯ | ศูนย์วิจัยพลังงาน |
|------------------|--|---|---|
| ขนาด | 19 x 35 m | 6 x 21 m | 4 x 12 m |
| พัดลม | 6 ตัว, ไฟฟ้า 1.1 kW/ตัว ϕ 48 นิ้ว | 1 ตัว ไฟฟ้า 1.1 kW/ตัว ϕ 48 นิ้ว | 1 ตัว ไฟฟ้า 1.1 kW/ตัว ϕ 50 นิ้ว |
| ปั๊มน้ำ | 1 ตัว, 1.1 kW | 1 ตัว, 1.1 kW | 1 ตัว, 0.746 kW |
| พื้นที่ม่านเปียก | 1.9x19 m ² | 4.5 x 1.8 m ² | 1.8 x 3.7 m ² |
| ชนิดม่านเปียก | เยื่อเซลลูโลส | ตาข่ายไนล่อน | เยื่อเซลลูโลส |

3.1.2 คุณลักษณะของโรงเรือนศูนย์วิจัยพลังงาน มหาวิทยาลัยแม่โจ้

เนื่องจากโรงเรียนของศูนย์วิจัยพลังงาน มหาวิทยาลัยแม่โจ้ ได้สร้างขึ้นมาเพื่อทดสอบ โดยได้เพิ่มระบบการหมุนเวียนอากาศในวนกลับมาผ่านได้หลังคา ซึ่งรายละเอียดของโรงเรือนมีดังต่อไปนี้

➤ คุณสมบัติของพลาสติกที่ใช้คลุมโรงเรือน

- ค่าการแผ่รังสี 0.9
- สมประสิทธิ์การสะท้อนของรังสีดวงอาทิตย์ 0.1

| | |
|--|---------------------|
| - สัมประสิทธิ์การส่องผ่าน | 0.75 |
| - ค่าความถูกความร้อนจำเพาะ | 2.1 $J/kg^{\circ}K$ |
| - ค่าความหนาแน่น | 1179 kg/m^3 |
| - ค่าสัมประสิทธิ์การดูดกลืนรังสีดูดอาทิตย์ | 0.9 |
| - ความหนาของพลาสติก | 0.15 mm |

➤ คุณสมบัติของโรงเรือน

| | |
|--------------------------------------|-------------|
| - มุมเอียงหลังคา | 38 องศา |
| - ปริมาตรภายในโรงเรือน | 105.6 m^3 |
| - พื้นที่ผนังของโรงเรือนด้านหน้า-ได้ | 26.4 m^2 |

➤ คุณสมบัติของพื้นโรงเรือน

| | |
|--------------------------|--------------------|
| - ค่าการนำความร้อนของดิน | 1.4 $W/m^{\circ}K$ |
| - พื้นที่ผิว | 48 m^2 |
| - ความลึกของดิน | 0.5 m |
| - อุณหภูมิเฉลี่ย | 24 $^{\circ}C$ |



พัดลมในโรงเรือนขนาด 50 นิ้ว



ชุดเทอร์โมไฟฟอน

รูปที่ 3.2 พัดลมและชุดเทอร์โมไฟฟอนในโรงเรือนศูนย์วิจัยพัฒนา

3.1.3.1.1 เทอร์โมคัปเปิล ชนิด K ความละเอียด $0.1^{\circ}C$ ใช้วัดอุณหภูมิภายในโรงเรือนและอุณหภูมิอากาศแวดล้อม ดังรูปที่ 3.3

3.1.4 เครื่องบันทึกอุณหภูมิอย่างต่อเนื่อง(Data logger) ยี่ห้อ Memmert รุ่น DO 6057 ความละเอียด $\pm 1^{\circ}\text{C}$ ใช้วัดอุณหภูมน้ำในบ่อที่ใช้ชุดเทอร์โมไชฟ่อนและบ่อที่ไม่ใช้ชุดเทอร์โมไชฟ่อนดัง รูปที่ 3.3



รูปที่ 3.3 เครื่องบันทึกอุณหภูมิ Memmert รุ่น DO 6057 และเทอร์โมคัปเปลี่ยน ชนิด K

3.1.5 เครื่องวัดการใช้กระแสไฟฟ้า (DIGITAL AC CLAMP METER) ใช้วัดปริมาณกระแสไฟฟ้าของปั๊มน้ำและพัดลมดูดอากาศ ดังรูป 3.4

3.1.6 เครื่องวัดความเร็วลมยี่ห้อ Testo รุ่น 425 ความละเอียด 0.1m/s ใช้สำหรับวัดความเร็วลมบริเวณหน้าม่านเปียกและพัดลมดูดอากาศ ดังรูป 3.4



รูปที่ 3.4 เครื่องวัดกระแสไฟฟ้าและเครื่องวัดความเร็วลม

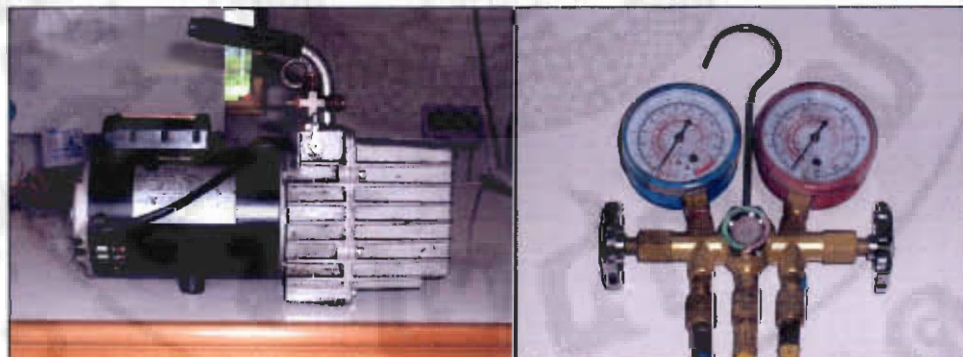
3.1.7 เครื่องอัดอากาศ เช้าไปภายในชุดเทอร์โมไชฟ่อนเพื่อใช้สำหรับตรวจสอบการรั่วบริเวณรอยเชื่อมและข้อต่อ ดังแสดงในรูป 3.5



รูปที่ 3.5 เครื่องอัดอากาศที่ใช้ในการทดสอบการรั่ว

3.1.8 บีบสุญญากาศ ใช้สำหรับดูดอากาศภายในชุดเทอร์มิไชฟอนเพื่อให้ภายในเป็นสุญญากาศเพื่อเตรียมสำหรับเติมสารทำงาน ดังแสดงในรูป 3.6

3.1.9 หัวเกจ ใช้สำหรับเติมสารทำงานและเข้าอ่านแรงดันภายในถังของสารทำงาน (R22) ดังแสดงในรูป 3.6



รูปที่ 3.6 บีบสุญญากาศ และเกจวัดความดัน

| | | |
|---------------------|------------------|-------|
| ขนาด | 0.465x0.465x0.75 | m |
| พื้นที่รวม | 1.95 | m^2 |
| ปริมาตร | 0.03 | m^3 |
| ความกว้าง | 0.75 | m |
| <u>คุณลักษณะ</u> | | |
| ขนาดผังด้านนอก | 0.5x0.5x0.25 | m |
| ขนาดผังด้านใน | 0.465x0.465x0.25 | m |
| พื้นที่รวม | 1.00 | m^2 |
| <u>สภาพการทำงาน</u> | | |
| ชนิดสารทำงาน | เมทานอล | liter |
| ปริมาตรสาร | 23 | % |
| <u>ทำงาน</u> | | |
| สัดส่วนการเติม | 82 | Evap. |

รูปที่ 3.7 ชุดเทอร์โนaireapon

3.2 ขั้นตอนและวิธีการดำเนินการวิจัย

3.2.1 การศึกษาและวิเคราะห์เบื้องต้น เกี่ยวกับการใช้พลังงาน (Energy Auditing) ของระบบทำความเย็นแบบ Evaporative cooling โรงเรือน Greenhouse

ทำการวิเคราะห์ประสิทธิภาพของระบบ Evaporative cooling โดยทำการเก็บข้อมูลเพื่อใช้ในการวิเคราะห์ ประกอบด้วย

- อัตราการไอน้ำของน้ำ และอากาศ
- ชุนภูมิของน้ำก่อนและหลังผ่าน Wetted media
- ชุนภูมิอากาศก่อนและหลังผ่าน Wetted media
- ความชื้นสัมพัทธ์อากาศก่อนและหลังผ่าน wetted media
- การกระจายของชุนภูมิภายในโรงเรือน Greenhouse
- การกระจายความชื้นสัมพัทธ์อากาศภายในโรงเรือน Greenhouse
- การวิเคราะห์สมดุลพลังงานของโรงเรือน Greenhouse
- การวิเคราะห์สมดุลมวลของโรงเรือน Greenhouse
- การตรวจดูอัตราการสิ้นเปลืองพลังงานไฟฟ้าของโรงเรือน Greenhouse ที่ระบบปั๊มน้ำและพัดลมถ่ายเทอากาศ

- การวิเคราะห์สมดุลพัล้งงานของโรงเรือน Greenhouse
- การวิเคราะห์สมดุลมวลของโรงเรือน Greenhouse
- การตรวจวัดอัตราการสิ้นเปลืองพลังงานไฟฟ้าของโรงเรือน Greenhouse ที่ระบบปั๊มน้ำและพัดลมถ่ายเทอากาศ

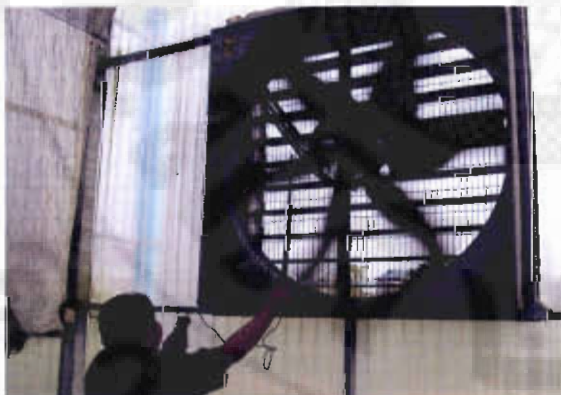


(หน้าวัสดุเปียก แผง Cooling pad)



(ภายในโรงเรือน)

รูปที่ 3.8 แผง Cooling pad ภายในโรงเรือน



การวัดความเร็วลมที่พัดลมดูดอากาศ



การวัดระดับน้ำของบ่อน้ำสำหรับโรงเรือน

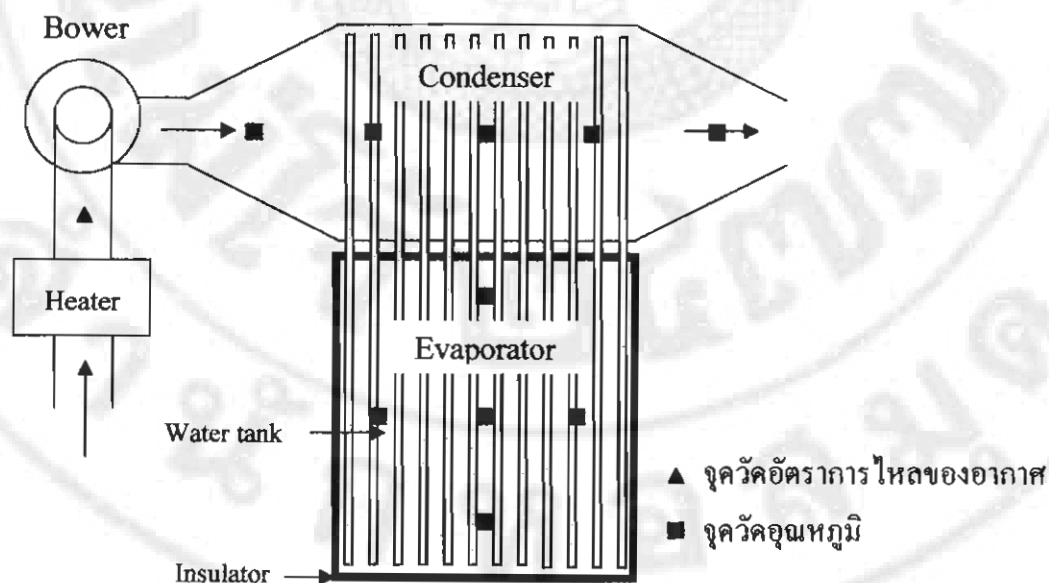
รูปที่ 3.9 การวัดความเร็วลมและระดับน้ำ

3.2.2 การออกแบบและสร้างอุปกรณ์ประยุคพัฒนาสำหรับโรงเรือน

➤ การทดสอบสมรรถนะของระบบท่อความร้อน

เนื่องจากในงานวิจัยนี้จะทำการเพิ่มประสิทธิภาพของโรงเรือนโดยใช้ท่อความร้อนแบบเทอร์โมไทร์ฟอนในการลดอุณหภูมิของน้ำที่จะนำมาใช้ที่วัดดูเบิกของโรงเรือน ในเวลากลางคืน ดังนั้นจึงทำการทดสอบสมรรถนะของระบบท่อความร้อนดังแสดงระบบในรูป 3.10 และตัวอย่างที่จะทำการศึกษาประกอบด้วย

- ชนิดของสารทำงานที่เหมาะสม
- ลักษณะของคอนเดนเซอร์
- ลักษณะของอีว่าปอร์เรเตอร์
- ขั้ตราชการในลักษณะที่สามารถร้อนด้านคอนเดนเซอร์
- อุณหภูมิอากาศที่สามารถร้อนด้านคอนเดนเซอร์
- สัดส่วนของปริมาตรถังต่อพื้นที่ระบบความร้อนด้านอีว่าปอร์เรเตอร์
- พัฒนาแบบจำลองทางคณิตศาสตร์ที่เหมาะสมสมสำหรับการถ่ายเทความร้อนของส่วน อีว่าปอร์เรเตอร์



รูปที่ 3.10 ระบบการทดสอบสมรรถนะของเทอร์โมไทร์ฟอน
สำหรับดึงความร้อนจากน้ำสู่อากาศ

จากข้อมูลที่ตรวจวัด คำนวณหาสัมประสิทธิ์การถ่ายเทความร้อนระหว่างน้ำและสารทำงานภายใต้เงื่อนไขพอนจากสมการ 3.1 คือ

$$\dot{Q}_{cond} = (\dot{m}C_p)(T_o - T_i) \quad (3.1)$$

$$U = \frac{\dot{Q}_{cond}}{A_e(T_{w,avg} - T_{v,avg})} \quad (3.2)$$

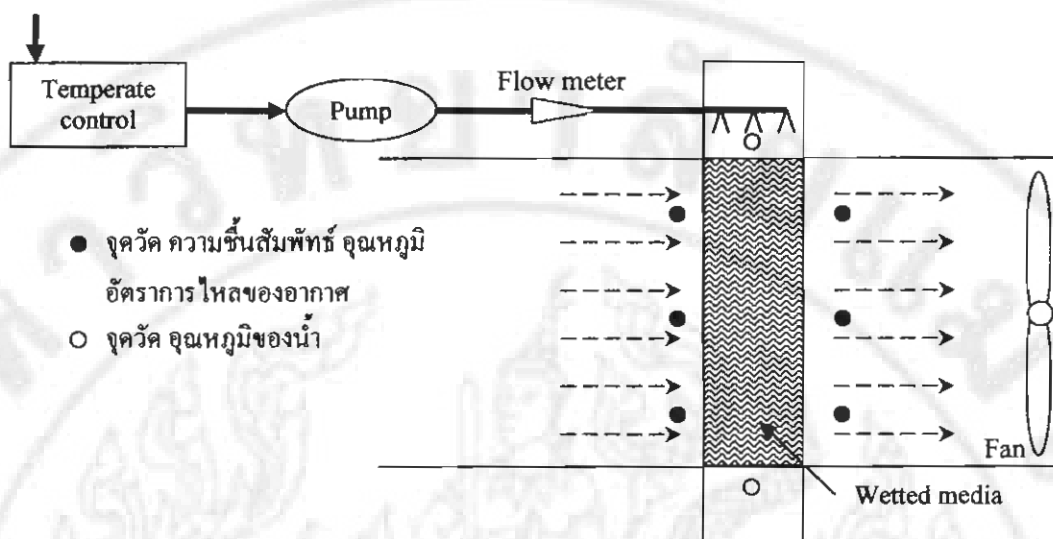
และนำค่า U ที่ได้ไปพัฒนาแบบจำลองทางคณิตศาสตร์เพื่อทำนายอุณหภูมน้ำเย็นภายในถังจากสมการที่ 3.3 คือ

$$T_w^{t+\Delta t} = T_w^t + \frac{\Delta t}{mc_{pw}} (-UA_e(T_w - T_v))^t \quad (3.3)$$

➤ การทดสอบสมรรถนะ Wetted media ของ Evaporative cooling เมื่อใช้ระบบน้ำเย็น

ทำการทดสอบสมรรถนะของวัสดุเปียก (Wetted media) ชนิดต่างๆ เพื่อพิจารณาเปรียบเทียบ โดยระบบการทดสอบสมรรถนะวัสดุเปียก (Wetted media) ดังแสดงในรูป 3.11 และตัวอย่างที่ศึกษาประกอบด้วย

1. อัตราการไอลช่องน้ำเย็น
2. อัตราการไอลช่องอากาศ
3. อุณหภูมน้ำเข้าและออกวัสดุเปียก (Wetted media)
4. อุณหภูมิอากาศเข้าและออกวัสดุเปียก (Wetted media)
5. ความรืนสัมพัทธ์อากาศก่อนและหลังผ่านวัสดุเปียก (Wetted media)
6. ชนิดของวัสดุเปียก (Wetted media) ที่ใช้งาน



รูป 3.11 ระบบการทดสอบหาสมรรถนะของทดสอบ Wetted media เมื่อป้อนน้ำเย็น

จากข้อมูลที่ตรวจวัด คำนวณประสิทธิภาพของการระเหยน้ำจากสมการ 3.4 ที่เงื่อนไขและชนิดของวัสดุเปียก (Wetted media) ต่างๆ กัน

$$Eff = \left[\frac{T_{db1} - T_{db2}}{T_{db1} - T_{wb1}} \right] \times 100 \quad (3.4)$$

| | | |
|-------|----------|-------------------------------------|
| เมื่อ | T_{db} | คืออุณหภูมิgrade เป้าหมายอากาศ, °C |
| | T_{wb} | คืออุณหภูมิgrade เป้าเปียกอากาศ, °C |
| | 1 | คืออากาศแวดล้อม |
| | 2 | คืออากาศหลังผ่านม่านเปียก |

3.2.3 เลือกสภาวะการทำงานที่เหมาะสมของอิทธิพลของตัวแปรต่างๆ จากแบบจำลองทาง คณิตศาสตร์ที่พัฒนาขึ้นและผลจากการทดสอบที่การออกแบบระบบเพื่อการใช้งานจริง

3.2.4 ติดตั้งอุปกรณ์ระบบผลิตน้ำเย็นโดยใช้ท่อความร้อนแบบเทอร์โมไฮฟอนกับโรงเรือน Greenhouse

3.2.5 การทดสอบระบบประ helyดพลังงานทั้งระบบ ท่อความร้อนและระบบวัสดุ เปียก

โดยเปรียบเทียบอัตราการสิ้นเปลืองพลังงานไฟฟ้าก่อนและหลังติดตั้งระบบน้ำเย็นของโรงเรือน เปรียบเทียบอุณหภูมิ ความชื้นสัมพัทธ์ของอากาศก่อน-หลังผ่านวัสดุเปียก (Wetted Media) และวิเคราะห์สมดุลพลังงานของโรงเรือน Greenhouse หลังติดตั้งระบบน้ำเย็น

การทดสอบโรงเรือนและระบบ ทำการทดสอบในสภาวะต่างๆ กัน คือ

- การทดสอบ โดยไม่มีการนำอากาศปล่อยทิ้งกลับมาใช้ใหม่
- การทดสอบ โดยมีการนำอากาศปล่อยทิ้งกลับมาใช้ใหม่ทางด้านเพดานของโรงเรือน

บทที่ 4

ผลการทดลองและวิจารณ์

ในการศึกษางานวิจัยครั้งนี้จะแบ่งออกเป็น 2 ส่วน คือ

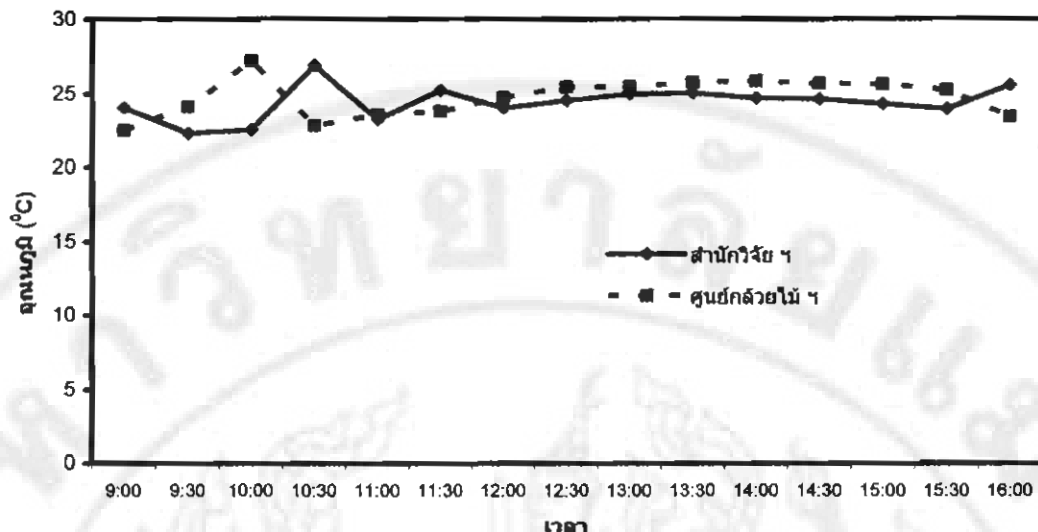
- การประเมินสมรรถนะของโรงเรือนสำนักวิจัยและส่งเสริมวิชาการการเกษตร และโรงเรือนศูนย์ก่อสร้างไม้ดอกและไม้ป่าระดับ
- การทดสอบสมรรถนะการทำความเย็นของโรงเรือนศูนย์วิจัยพัฒนา
 - กรณีที่ใช้ระบบน้ำเย็น (Cold Water System)
 - กรณีที่ใช้ระบบการหมุนเวียนอากาศ (Return Air System)
 - กรณีที่ใช้ระบบเทอร์โมไฟฟอนลดอุณหภูมิน้ำ

4.1 การประเมินสมรรถนะของโรงเรือนสำนักวิจัยและส่งเสริมวิชาการการเกษตร โรงเรือนศูนย์ก่อสร้างไม้ดอกและไม้ป่าระดับ

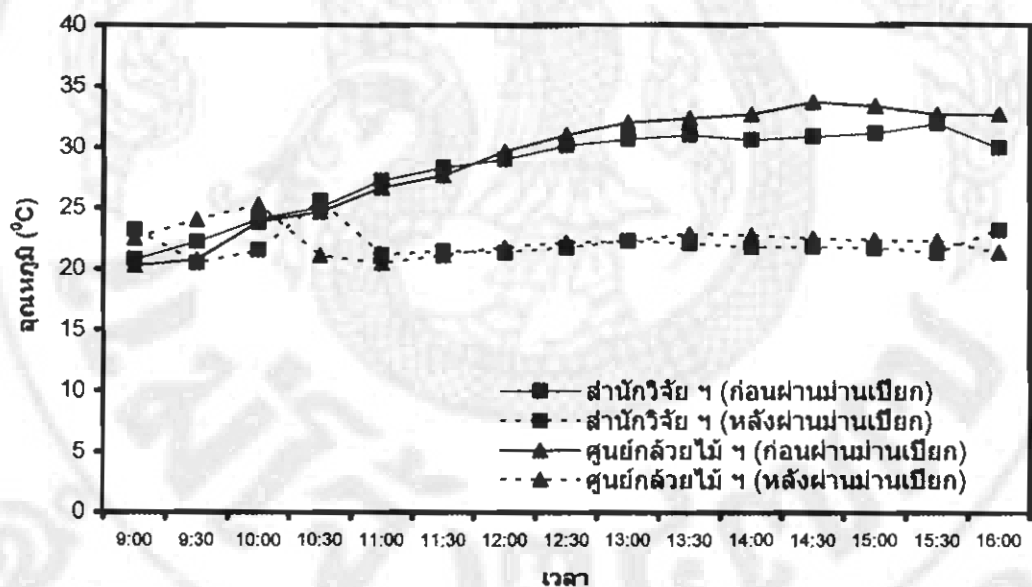
4.1.1 อุณหภูมิอากาศภายในโรงเรือน

จากการเก็บข้อมูลอุณหภูมิภายในโรงเรือนทั้ง 6 จุด พบร่วมกันเวลา 09.00-12.00 น. นั้น อุณหภูมิอากาศโดยเฉลี่ยจะไม่คงที่ แต่หลังจากเวลา 12.00-16.00 น. อุณหภูมิจะคงที่โดยเฉลี่ย ประมาณ 25°C จากการบันทึกข้อมูลทั้ง 3 วัน ค่าเฉลี่ยของอุณหภูมิแสดงได้ดังรูปที่ 4.1 – 4.2 เมื่อเปรียบเทียบอุณหภูมิภายในโรงเรือนทั้งสองแห่ง จะเห็นได้ว่าโรงเรือนของสำนักวิจัยและส่งเสริมวิชาการการเกษตรจะมีอุณหภูมิต่ำกว่าโรงเรือนศูนย์ก่อสร้างไม้ดอกและไม้ป่าระดับ เนื่องจากใช้ม่านเปียกเป็นเยื่อเซลลูโลส ซึ่งมีการระเหยของน้ำที่ต่ำกว่าโรงเรือนศูนย์ก่อสร้างไม้ฯ ที่มี ม่านเปียกเป็นตาข่ายในตอน

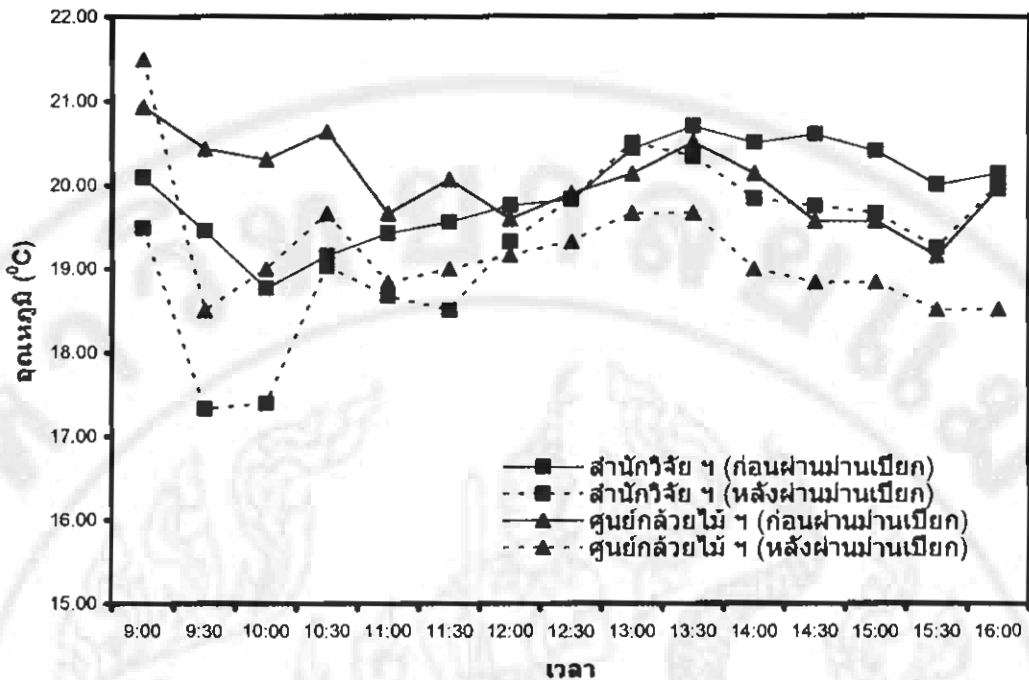
เมื่อพิจารณาอุณหภูมิอากาศก่อนและหลังผ่านม่านเปียก ตามรูปที่ 4.3 พบร่วมกัน เมื่ออากาศ เคลื่อนที่ผ่านม่านเปียกที่มีการซุมน้ำแล้ว อุณหภูมิจะมีค่าลดลงประมาณ $8-9^{\circ}\text{C}$ โดยที่โรงเรือน ของสำนักวิจัยและส่งเสริมวิชาการการเกษตร มีอุณหภูมิอากาศก่อนและหลังผ่านม่านเปียกเฉลี่ย เท่ากับ 28.2 และ 22.1°C ส่วนโรงเรือนของศูนย์ก่อสร้างไม้ดอกและไม้ป่าระดับจะมีอุณหภูมิก่อน และหลังผ่านม่านเปียกเฉลี่ยเท่ากับ 28.9 และ 22.3°C



รูปที่ 4.1 อุณหภูมิเฉลี่ยกระเพาะแห้งของอากาศภายในโรงเรือน



รูปที่ 4.2 อุณหภูมิเฉลี่ยกระเพาะแห้งของอากาศก่อนและหลังผ่าม่านเปียก

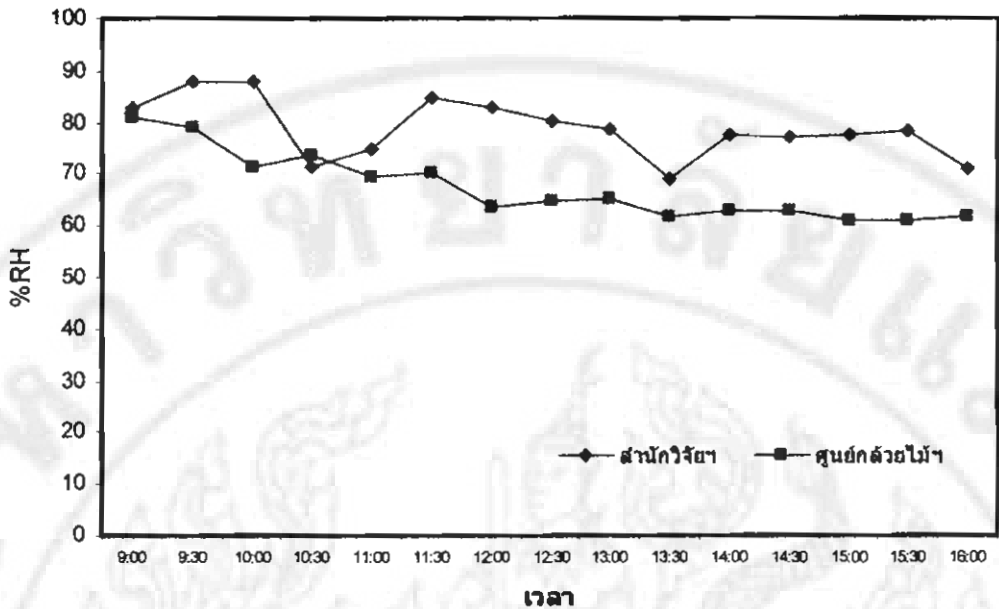


รูปที่ 4.3 อุณหภูมิของน้ำก่อนและหลังผ่านม่านเปียก

จากรูปที่ 4.3 แสดงอุณหภูมิของน้ำก่อนและหลังผ่านม่านเปียก ซึ่งเป็นพารามิเตอร์หนึ่งที่ใช้ในการพิจารณาประสิทธิภาพของม่านเปียก จากการศึกษา พบว่า อุณหภูมิของน้ำเมื่อผ่านม่านเปียกต่ำกว่าก่อนผ่านม่านเปียกเฉลี่ย 0.75°C โดยของโรงเรือนสำนักวิจัยและส่งเสริมวิชาการ การเกษตร เฉลี่ยลดลง 0.66°C และโรงเรือนของศูนย์ก้าวไวย์ไม้ดอกและไม้ประดับ เฉลี่ยลดลง 0.84°C

4.1.2 ความชื้นสัมพัทธ์ของอากาศ

เมื่ออากาศแวดล้อมผ่านม่านเปียกแล้วอุณหภูมิอากาศจะลดลง ทำให้ค่าความชื้นสัมพัทธ้มีค่าสูงขึ้น เนื่องมาจากการแลกเปลี่ยนความร้อนระหว่างอากาศกับน้ำ และการระเหย กล้ายเป็นไอน้ำในอากาศโดยจะเคลื่อนที่ออกจากวัสดุเปียก จากการศึกษา พบว่า ความชื้นสัมพัทธ์ของอากาศหลังผ่านม่านเปียกจะมีค่าสูงขึ้นประมาณ $34 - 37\% \text{ RH}$ ส่วนความชื้นสัมพัทธ์ของอากาศภายในโรงเรือนเฉลี่ยเท่ากับ 78.8 และ $67.2 \% \text{ RH}$ สำหรับโรงเรือนสำนักวิจัยและส่งเสริมวิชาการการเกษตร และ โรงเรือนศูนย์ก้าวไวย์ไม้ดอกและไม้ประดับ ตามลำดับ โดยมีค่าน้อยกว่าความชื้นสัมพัทธ์ของอากาศหลังผ่านม่านเปียกประมาณ $7.0 - 9.0 \% \text{ RH}$ แสดงได้ดังรูปที่ 4.4



รูปที่ 4.4 ความชื้นสัมพัทธ์ภายในโรงเรือน

4.1.3 อัตราการไหลดของอากาศภายในโรงเรือน

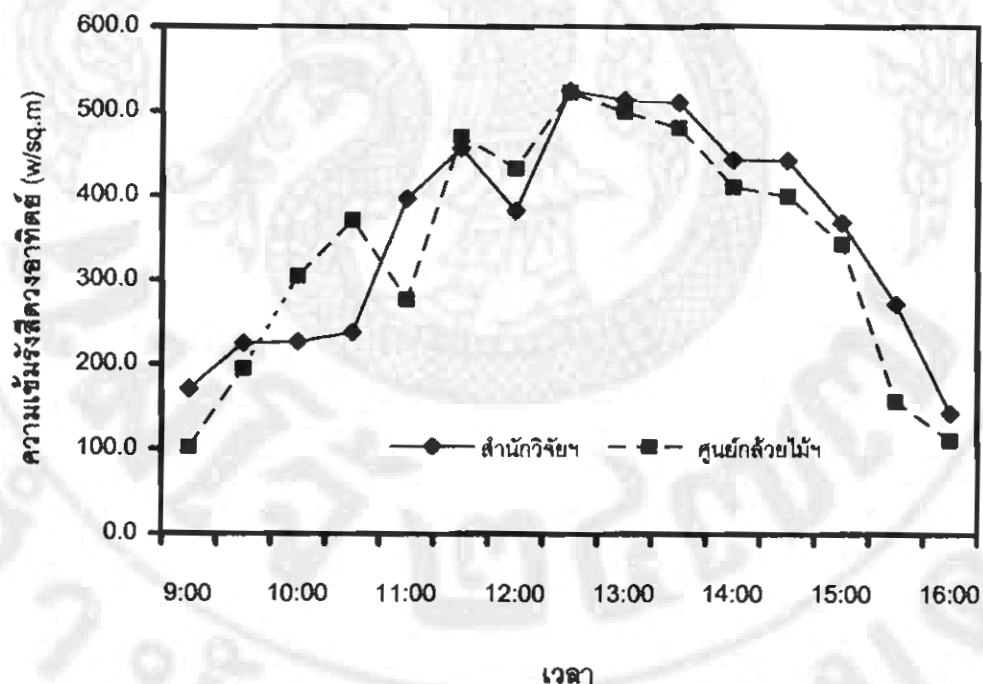
ความเร็วลมที่ผ่านพัดลมดูดอากาศออกจากโรงเรือนสำนักวิจัยและส่งเสริมวิชาการ การเกษตร และศูนย์ก่อสร้างไม้ตอกและไม้ปะตับ พบว่า มีความเร็วลมเฉลี่ย 7.56, 7.05 เมตรต่อ วินาที และค่าความเร็วลมผ่านม่านเปียก จะมีค่าเท่ากับ 1.25, 1.38 เมตรต่อวินาที ตามลำดับ ทั้งนี้เนื่องมาจากความเร็วลมที่ผ่านม่านเปียกแบบเยื่อเซลลูโลสจะมีค่าต่ำกว่าแบบตาข่ายในลอน ประมาณ 10% ซึ่งถ้าพิจารณาทางด้านประสิทธิภาพในการแลกเปลี่ยนความร้อนระหว่างน้ำกับอากาศแล้วม่านเปียกแบบเยื่อเซลลูโลสจะให้ประสิทธิภาพในการแลกเปลี่ยนความร้อนที่ดีกว่า แบบตาข่ายในลอน เมื่ออัตราการไหลดของน้ำเท่ากัน แสดงได้ดังตารางที่ 4.1 สำหรับอัตราการไหลด ของอากาศในโรงเรือนพิจารณาที่พัดลมทำงาน 1 ตัว สำหรับม่านเปียกแบบเยื่อเซลลูโลสเท่ากับ 27,291.60 ลูกบาศก์เมตร/ชั่วโมง และสำหรับตาข่ายในลอนเท่ากับ 40,240.80 ลูกบาศก์เมตร/ ชั่วโมง

ตารางที่ 4.1 อัตราการไนโตรของอากาศภายนอกในโรงเรือน

| โรงเรือน | ความเร็วลม (เมตร/วินาที) | | อัตราการไนโตรอากาศ | |
|----------------|-----------------------------|---------------|--------------------|---------------|
| | ผ่านพัดลม | ผ่านม่านเปียก | ผ่านพัดลม | ผ่านม่านเปียก |
| สำนักวิจัยฯ | 7.56 | 1.25 | 30,754.08 | 27,291.60 |
| ศูนย์กล้วยไม้ฯ | 7.05 | 1.38 | 28,679.40 | 40,240.80 |

4.1.4 ความเข้มรังสีดวงอาทิตย์

ค่าความเข้มของรังสีดวงอาทิตย์ภายนอกในโรงเรือนสำนักวิจัยและส่งเสริมวิชาการ การเกษตร และโรงเรือนศูนย์กล้วยไม้ดูกแลและไม้ปรงดัน พบร้า มีค่าเฉลี่ย 354 และ 338 W/m² ตามลำดับ แสดงได้ดังรูปที่ 4.5



รูปที่ 4.5 ความเข้มรังสีดวงอาทิตย์ภายนอกในโรงเรือน

4.1.5 อัตราการระเหยน้ำ

4.1.5 อัตราการระเหยน้ำ

อัตราการระเหยน้ำพิจารณาจากการวัดปริมาณน้ำก่อนและหลังการทำงานของระบบม่านเปียก และคำนวณปริมาณน้ำที่หายไปจากระบบซึ่งหมายถึง ปริมาณน้ำทั้งหมดที่เข้าสู่โรงเรือนจากการศึกษา พบว่า โรงเรือนของสำนักวิจัยฯ ที่มีม่านเปียกแบบเยื่อเซลลูโลส มีอัตราการระเหยของน้ำเฉลี่ยเท่ากับ 0.01340 ลูกบาศก์เมตร/ชั่วโมง/พื้นที่ม่านเปียก หรือเท่ากับ 13.40 ลิตร/ชั่วโมง/พื้นที่ม่านเปียก และ 0.00939 ลูกบาศก์เมตร/ชั่วโมง/พื้นที่ม่านเปียก หรือเท่ากับ 9.39 ลิตร/ชั่วโมง/พื้นที่ม่านเปียก เมื่อพัดลมทำงาน 3 และ 6 ตัว ตามลำดับ

ส่วนการระเหยน้ำของโรงเรือนศูนย์กลัวยไม่มีที่มีม่านเปียกแบบตาข่ายในลอน อัตราการระเหยของน้ำเฉลี่ยเท่ากับ 0.02013 ลูกบาศก์เมตร/ชั่วโมง/พื้นที่ม่านเปียก หรือเท่ากับ 20.13 ลิตร/ชั่วโมง/พื้นที่ม่านเปียก เมื่อพัดลมทำงาน 1 ตัว ทั้งนี้ที่ม่านเปียกแบบตาข่ายในลอนมีอัตราการระเหยของน้ำเฉลี่ยที่สูงเนื่องมาจากการปล่อยน้ำเข้าสู่ม่านเปียก ทำให้การปล่อยทิ้งดิ่งทำให้ความเร็วของน้ำที่ผ่านม่านเปียกมีความเร็วสูงเกิดการกระเด็นออกจากม่านเปียกสู่พื้นโรงเรือน

4.1.6 ประสิทธิภาพของม่านเปียก

ประสิทธิภาพของม่านเปียกแบบเยื่อเซลลูโลส ของโรงเรือนสำนักวิจัยและส่งเสริมวิชาการการเกษตร มีค่าเฉลี่ยเท่ากับ 85.89 % สูงกว่าโรงเรือนศูนย์กลัวยไม้ดอกและไม้ประดับ ที่ใช้ม่านเปียกแบบในลอน ประสิทธิภาพเฉลี่ยทั้งวันเท่ากับ 76.13% โดยพิจารณาเมื่อม่านเปียกสูมด้วยน้ำอย่างสมบูรณ์

4.1.7 อัตราการสึ้นเปลืองพลังงาน

การใช้พลังงานของโรงเรือนที่ประกอบด้วย การใช้พลังงานจากการใช้น้ำ พัดลม เป็นน้ำ ระบบควบคุมระดับความเข้มแสงอาทิตย์ โรงเรือนของสำนักวิจัยจะมีระบบควบคุมที่ทันสมัยมีทั้งระบบควบคุมการเปิด ปิดพัดลมที่สัมพันธ์กับระบบการจ่ายน้ำสู่ม่านเปียก และระบบควบคุมความเข้มของแสง ที่จะทำการเปิด -ปิดม่านบังแสง โดยระบบจะถูกตั้งให้ทำงานโดยการวัดอุณหภูมิและความชื้นจากเครื่องวัดที่ติดตั้งไว้ในโรงเรือน เมื่ออากาศอุณหภูมิสูงกว่า 25 °C หรือความชื้นต่ำกว่า 60 %RH ระบบจะเริ่มทำงาน โดยพัดลมจะทำงาน 3 ตัว และถ้าอุณหภูมิในโรงเรือนสูงกว่า 28 °C พัดลมจะทำงาน 6 ตัว โดยก่อนพัดลมจะทำงาน ปั๊มน้ำจะถูกตั้งให้ทำงานก่อนพัดลมทำงานประมาณ 5 นาที เพื่อปั๊มน้ำไปเลี้ยงม่านเปียกก่อน และม่าน (บังแสง) จะถูกเปิดเมื่อบริษัทความเข้มของแสงภายใต้ในโรงเรือนน้อยกว่า 200 W/m² การใช้พลังงานไฟฟ้าเฉลี่ยเท่ากับ 1.016 kW-h/วัน/พื้นที่ของโรงเรือน (ตารางเมตร) (พื้นที่โรงเรือนเท่ากับ 36.1 ตารางเมตร) ทั้งนี้เป็นค่าที่ได้จากการอ่านค่าจากมิเตอร์รวมของโรงเรือน โดยเมื่อพิจารณาเป็นแต่ละอุปกรณ์พบว่า พัดลม และปั๊มน้ำมีการใช้ไฟฟ้ารวมกันเท่ากับ 0.55 kW-h/วัน/พื้นที่ของโรงเรือน (ตาราง

เมตร) หรือคิดเป็น 54.13% ของปริมาณการใช้ไฟฟ้าทั้งหมดของโรงเรือน ซึ่งพลังงานไฟฟ้าอีก 45.87% ถูกใช้ในระบบควบคุมความชื้นและส่งภายในโรงเรือน และระบบควบคุมความชื้นของโรงเรือน

โรงเรือนศูนย์กลัวยไม้ฯ ระบบพัดลมและระบบน้ำถูกกำหนดให้เริ่มทำงานเมื่ออุณหภูมิของโรงเรือนสูงกว่า 20°C พบว่า มีการใช้ไฟฟ้าเฉพาะปั๊มน้ำ และพัดลมเท่านั้น โดยเฉลี่ยเท่ากับ 1.033 kW-h/วัน/ตารางเมตร (พื้นที่โรงเรือนเท่ากับ 8.1 ตารางเมตร) แสดงได้ตามตารางที่ 4.2

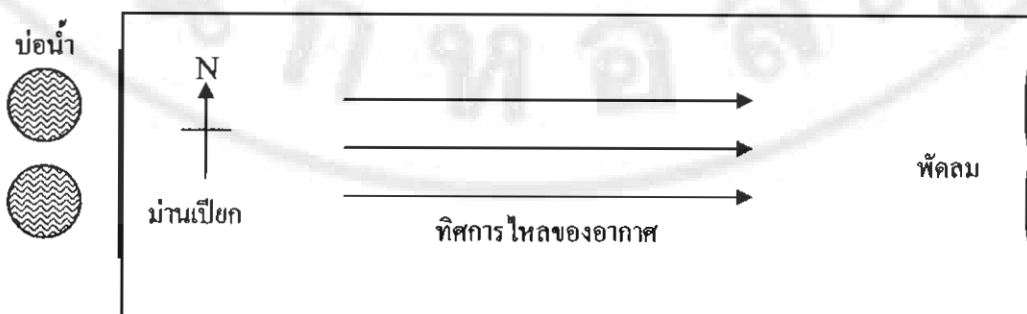
ตารางที่ 4.2 อัตราการใช้พลังงานไฟฟ้าของโรงเรือน

| โรงเรือน | ปริมาณการใช้ไฟฟ้า (kW-hr.) | | | ปริมาณการใช้ไฟฟ้า ทั้งหมดของโรงเรือน จากมิเตอร์ไฟฟ้าเฉลี่ย (kW-hr) | อัตราการใช้ พลังงานไฟฟ้า (kW- hr./d-m ²) |
|----------------|----------------------------|-----------|-------|---|--|
| | ปั๊มน้ำ | พัด ลม | รวม | | |
| สำนักวิจัยฯ | 2.40 | 17.62 | 20.02 | 36.67 | 1.016 |
| ศูนย์กลัวยไม้ฯ | 1.77 | 6.60 | 8.37 | - | 1.033 |

4.2 การประเมินสมรรถนะโรงเรือนศูนย์วิจัยพลังงาน มหาวิทยาลัยแม่โจ้

จากการศึกษาข้อมูลเบื้องต้นโรงเรือนสำนักวิจัยและส่งเสริมวิชาการการเกษตร และโรงเรือนศูนย์กลัวยไม้ดอกและไม้ปะดับ ของมหาวิทยาลัยแม่โจ้ พบว่า โรงเรือนที่ใช้ม่านเปียก ชนิดเยื่อเซลลูโลสมีประสิทธิภาพสูงกว่าแบบดราสายในตอน และในระบบโรงเรือนขนาดเล็กไม่จำเป็นต้องมีระบบควบคุมที่ทันสมัยมากนัก ประกอบกับบีบจัยอื่น

ดังนั้นทางคณะผู้วิจัยจึงได้สร้างโรงเรือนระบบ Evaporative cooling เพื่อทำการทดสอบ สมรรถนะของระบบประดับพัดลมในโรงเรือน ที่ศูนย์วิจัยพลังงาน มหาวิทยาลัยแม่โจ้ โดยได้พัฒนาระบบการใช้น้ำเย็น ระบบการหมุนเวียนอากาศกลับมาใช้ใหม่ และระบบการใช้เทอร์โมไฟฟอนมาช่วยในการลดอุณหภูมน้ำเย็น ลักษณะทั่วไปของโรงเรือนแสดงได้ดังรูปที่ 4.6



รูปที่ 4.6 ลักษณะทั่วไปของโรงเรือน

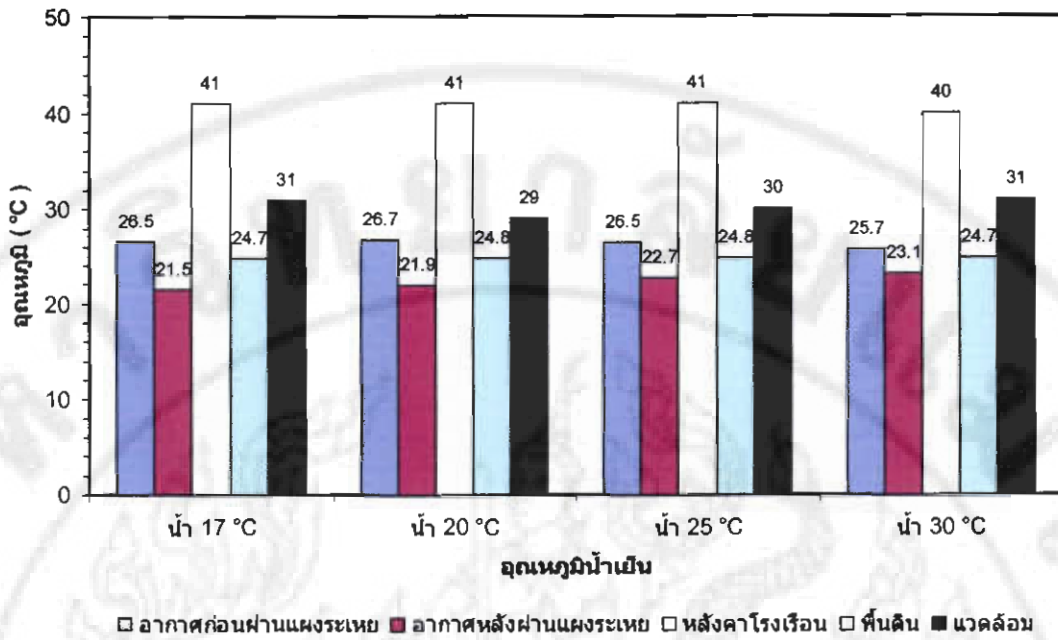
โรงเรือนศูนย์วิจัยพลังงานเป็นโรงเรือนขนาดกว้าง 4 m ยาว 12 m สูง 2.5 m หลังคาโถง 38° สูง 1.5 m ผนังและหลังคาคุณด้วยพลาสติกใส หนา 0.15 mm และมีการสร้างเพดานกันรั่วห่วงห้องที่เป็นสีเหลี่ยม ด้านข้างกับบริเวณใต้หลังคาโถง ม่านเปียกเป็นแบบเยื่อเซลลูโลส ขนาด $1.5 \times 3.7 \text{ m}^2$ พัดลมขนาด 1.0 hp. เส้นผ่าศูนย์กลาง 127 cm 1 ตัว ม่อน้ำขนาดความจุ 1,700 ลิตร 2 ป่า ที่นี่เป็นที่นิทางตัวในแนว ตะวันออก-ตะวันตก

4.2.1 การประเมินสมรรถนะโรงเรือนโดยใช้ระบบน้ำเย็น

การวิเคราะห์สมรรถนะของโรงเรือนแบบใช้ระบบน้ำเย็น ทำการทดสอบที่น้ำเย็น อุณหภูมิ 17, 20, 25 และ 30°C และควบคุมการทำงานของพัดลมและปั๊มน้ำให้เริ่มทำงานเมื่ออากาศภายในโรงเรือนสูงกว่า 28°C และติดระบบการทำงานเมื่ออุณหภูมิต่ำกว่า 26°C โดยทำการวิเคราะห์ที่นำไปสู่อิภาพการทำงานทำความเย็นของแผ่นระหว่างน้ำ การสื้นเปลืองพลังงาน และอัตราการระเหยน้ำของระบบ

ก.) อุณหภูมิอากาศภายในโรงเรือน

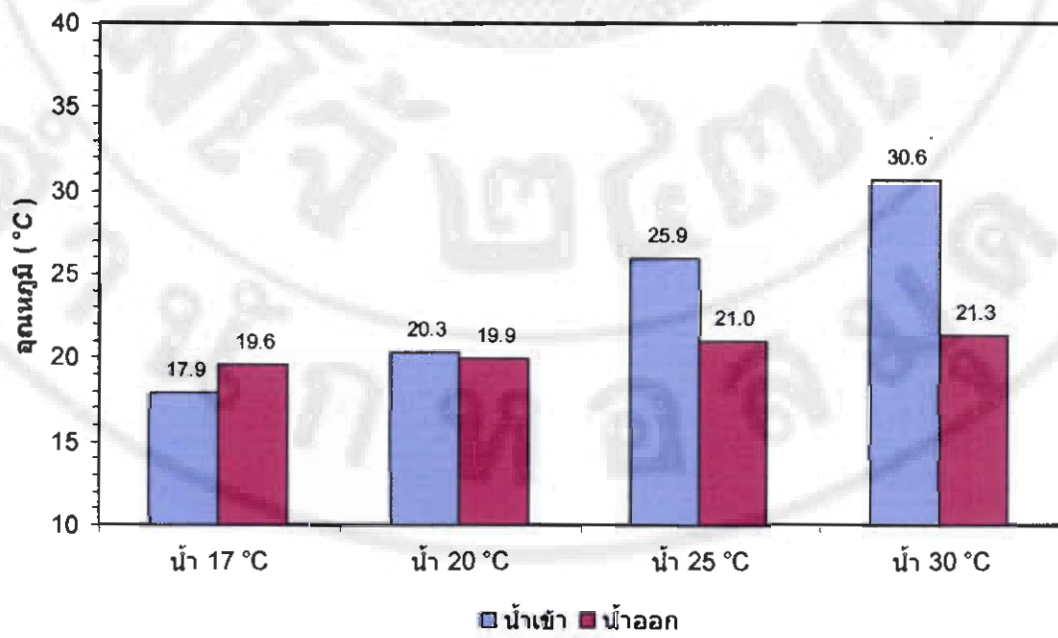
จากผลการทดสอบ อุณหภูมิอากาศก่อนผ่านแผงระเหย เมื่อเปลี่ยนอุณหภูมน้ำเย็น พบว่า มีค่าต่ำกว่าอุณหภูมิแวดล้อมเล็กน้อย แตกต่างกันประมาณ 5°C หลังจากผ่านแผงระเหยแล้ว อุณหภูมิจะมีค่าลดลง โดยอุณหภูมน้ำเย็น 17 และ 20°C จะมีอุณหภูมิต่ำสุดประมาณ 21.5°C เมื่อพิจารณาอุณหภูมิหลังคาโรงเรือนแล้ว พบว่า มีอุณหภูมิสูงประมาณ $40-41^{\circ}\text{C}$ เนื่องจากลักษณะของหลังคาโรงเรือนเป็นแบบสองชั้นและไม่มีการระบายอากาศทำให้เกิดการสะสมความร้อน ขณะเดียวกันเมื่อพิจารณาอุณหภูมิของดินแล้ว พบว่ามีการเปลี่ยนแปลงน้อยมาก อยู่ในช่วง $24.7-24.8^{\circ}\text{C}$ ตั้งแสดงในรูปที่ 4.7



รูปที่ 4.7 กราฟเปรียบเทียบอุณหภูมน้ำเย็นกับอุณหภูมิอากาศในโรงเรือน

ช.) อุณหภูมน้ำที่ไหลผ่านแมงระเหย

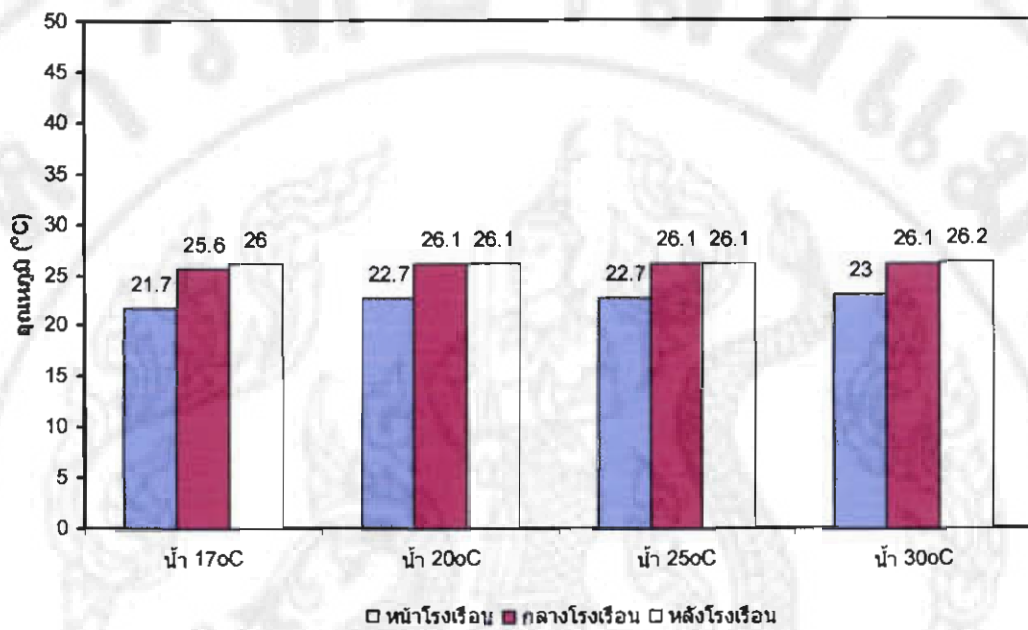
จากการทดสอบ พบว่า อุณหภูมน้ำเย็น 17°C เมื่อผ่านแมงระเหยแล้วอุณหภูมิจะเพิ่มขึ้นประมาณ 1.7°C และเมื่อเพิ่มอุณหภูมน้ำเย็นอุณหภูมน้ำออกจากแมงระเหยจะมีค่าลดลงเล็กน้อย ประมาณ 21°C แสดงได้ดังรูปที่ 4.8



รูปที่ 4.8 อุณหภูมน้ำที่ไหลผ่านแมงระเหย

ค.) การกระจายอุณหภูมิภายในโรงเรือน

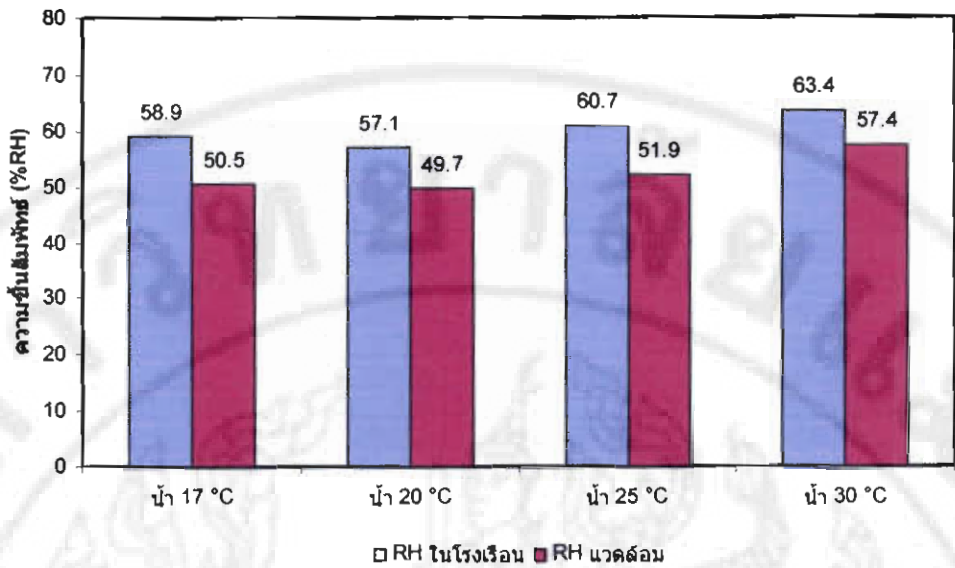
การกระจายอุณหภูมิภายในโรงเรือนที่ต่างกัน พบว่า อุณหภูมิด้านหน้าโรงเรือน จะมีค่าต่ำกว่าบริเวณตรงกลางและด้านหลังโรงเรือนประมาณ 3-4°C ดังแสดงในรูปที่ 4.9



รูปที่ 4.9 การกระจายอุณหภูมิภายในโรงเรือน

ก.) ความชื้นสัมพัทธ์ในโรงเรือน

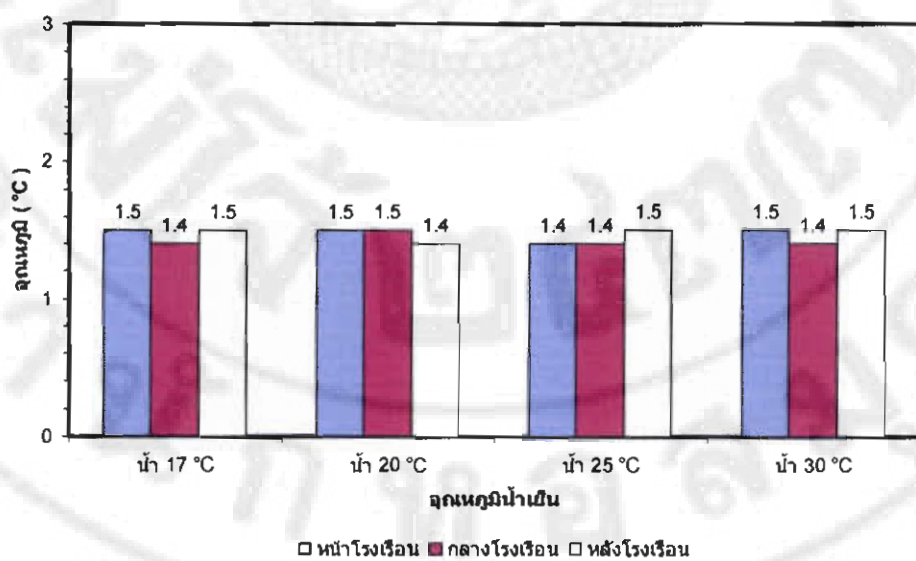
จากการทดสอบ พบว่า ความชื้นสัมพัทธ์ในโรงเรือนสูงกว่าความชื้นสัมพัทธ์สภาพแวดล้อมโดยรวมประมาณ 6-9 % พิจารณาที่น้ำอุณหภูมิ 25 °C พบว่า มีความชื้นสัมพัทธ์สูงสุดคือ 9 % และน้ำอุณหภูมิ 30 °C พบว่า มีความชื้นสัมพัทธ์ต่ำสุดคือ 6% ดังรูปที่ 4.10



รูปที่ 4.10 ความชื้นสัมพัทธ์ในโรงพยาบาลกับสภาพแวดล้อม

๔.) ความเร็วลมภายในโรงพยาบาล

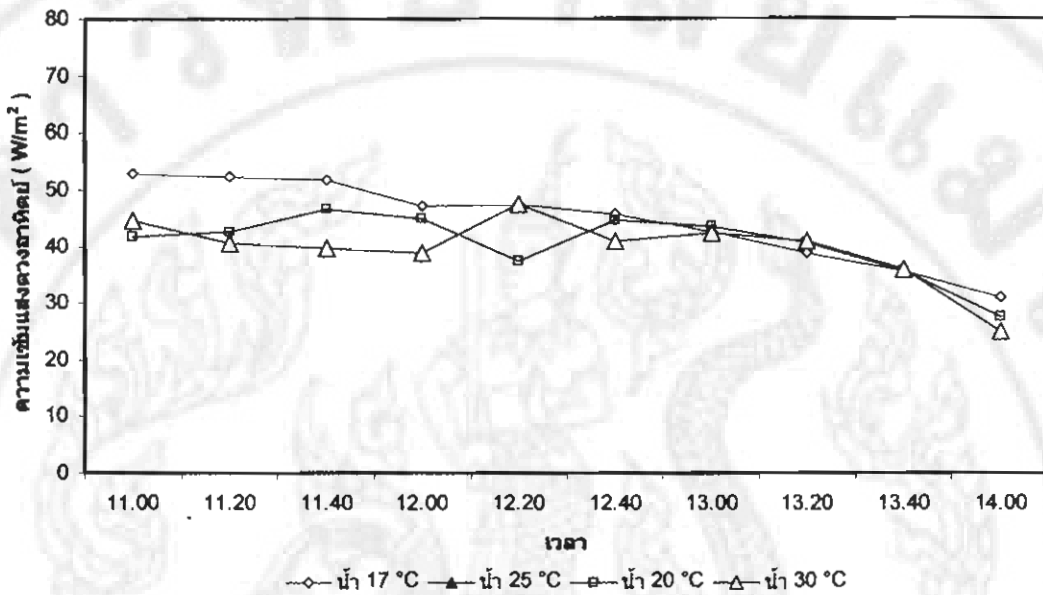
จากการทดสอบ พบว่า ความเร็วลมภายในโรงพยาบาลโดยเฉลี่ยมีความเร็วประมาณ 1.4 – 1.5 m/s พิจารณาจากที่ 4.11 พบว่า ความเร็วลมด้านหน้าโรงพยาบาล กลางโรงพยาบาล และหลังโรงพยาบาลมีความเร็วลมใกล้เคียงกันมากแสดงว่ามีการกระจายลมภายในโรงพยาบาลที่ดี



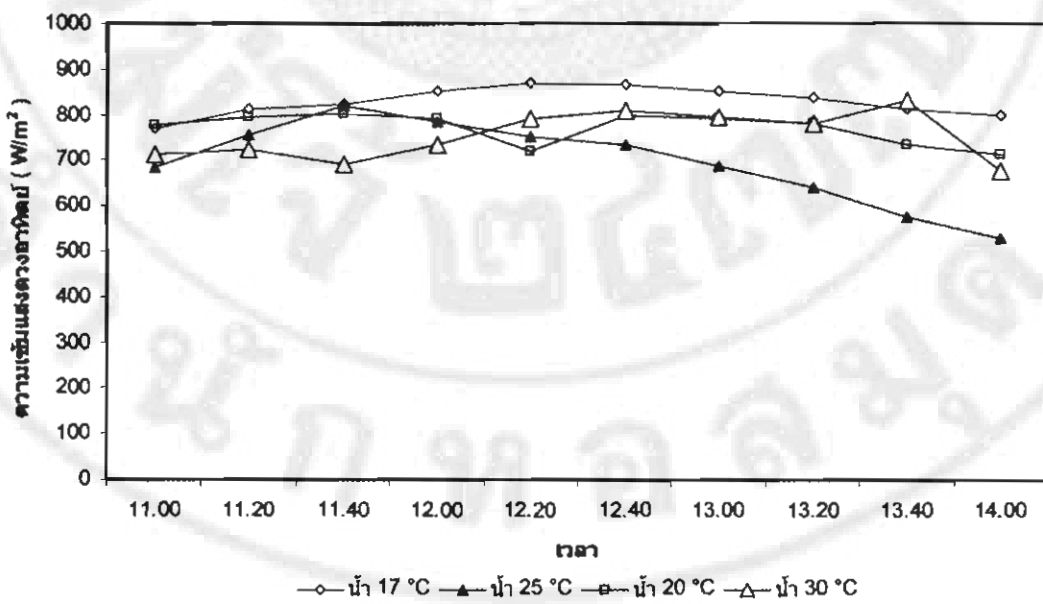
รูปที่ 4.11 ความเร็วลมภายในโรงพยาบาล

๔.) ความเข้มรังสีแสงอาทิตย์

จากการทดสอบ พบว่า ความเข้มรังสีดวงอาทิตย์ภายในโรงเรือนความเข้มแสงดวงอาทิตย์ภายในโรงเรือนมีค่าความเข้มรังสีดวงอาทิตย์โดยประมาณ $39-44 \text{ W/m}^2$ และค่าความเข้มแสงดวงอาทิตย์สภาพแวดล้อมโดยประมาณ $796-830 \text{ W/m}^2$ ดังแสดงในรูป 4.12 - 4.13



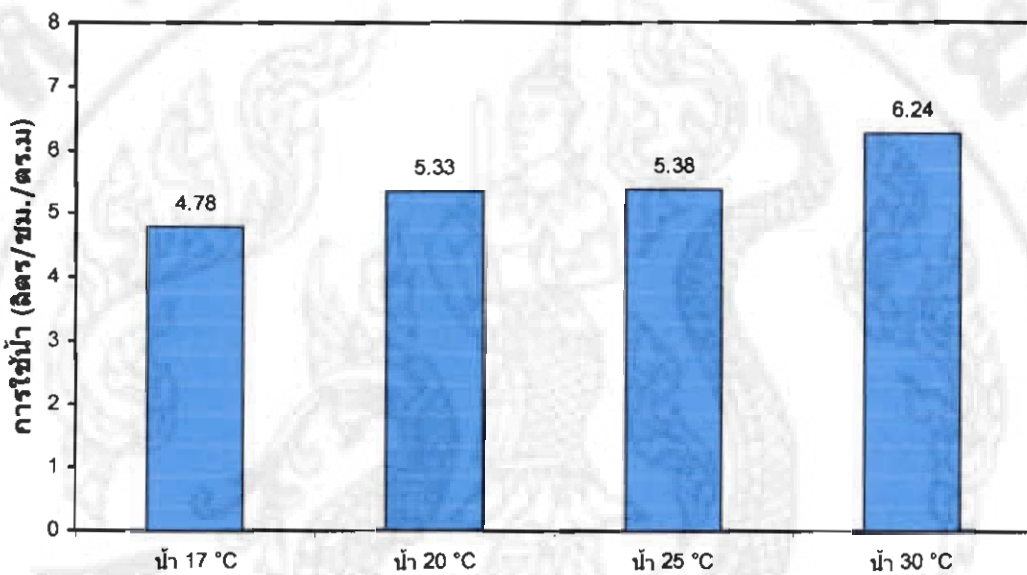
รูปที่ 4.12 ความเข้มรังสีแสงอาทิตย์ภายในโรงเรือน



รูปที่ 4.13 ความเข้มรังสีแสงอาทิตย์แวดล้อม

ช.) อัตราการระเหยน้ำ

การทดสอบวัดปริมาณการระเหยน้ำจะดำเนินการโดยการบันทึกความสูงของน้ำในถังก่อนและหลังการทดสอบแล้วนำมาคำนวณหาปริมาณน้ำที่ใช้ไป พบว่า อุณหภูมน้ำ 17°C การระเหยของน้ำมีค่าต่ำสุดคือ 24 ลิตร/ชั่วโมง และการทดลองน้ำที่อุณหภูมิ 30°C การระเหยของน้ำมีค่าสูงสุดคือ 31.3 ลิตร/ชั่วโมง ส่วนการทดลองน้ำที่อุณหภูมิ 20°C และการทดลองน้ำที่อุณหภูมิ 25°C มีการระเหยของน้ำมีค่าใกล้เคียงกัน แสดงในรูปที่ 4.14



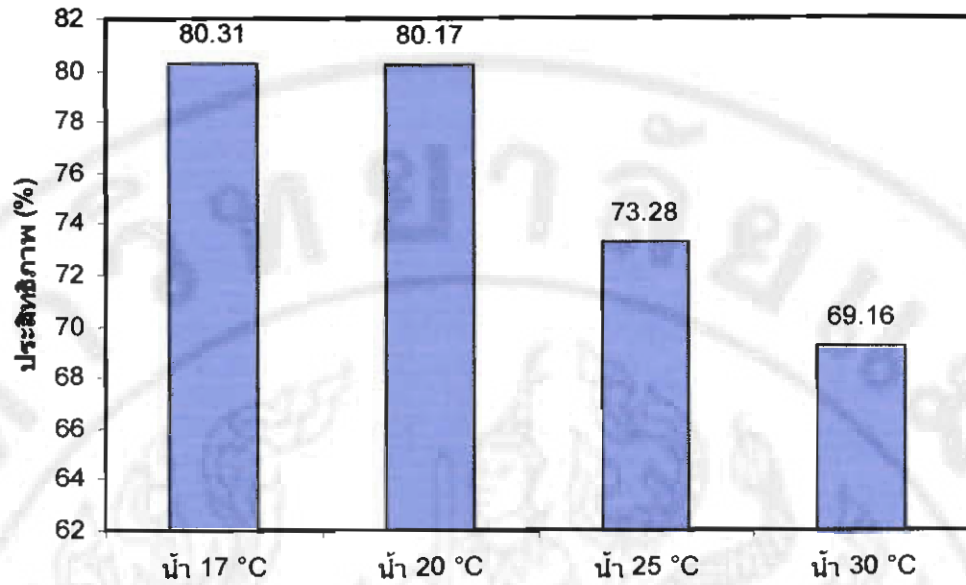
รูปที่ 4.14 อัตราการระเหยของน้ำ

ช.) ประสิทธิภาพการทำความเย็น

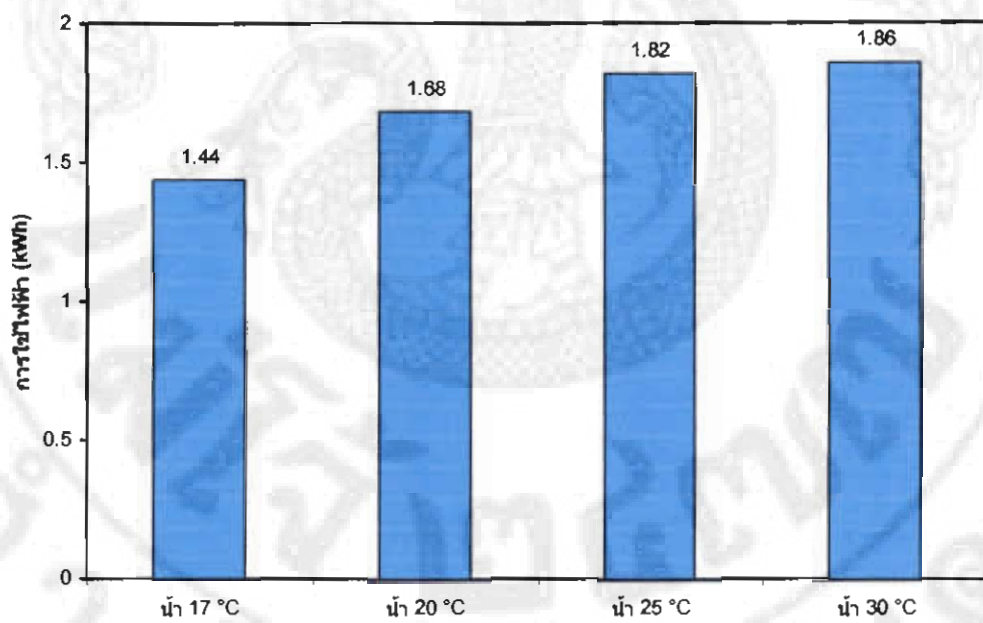
จากการทดสอบ พบว่า น้ำเย็นให้ประสิทธิภาพแผงระเหยน้ำมีประมาณ 80.24 % นำไปติด (25°C) ให้ประสิทธิภาพแผงระเหยน้ำประมาณ 73.8 % และน้ำมีอุณหภูมิเพิ่มขึ้น ประสิทธิภาพแผงระเหยน้ำต่ำสุดคือ 69.16 % ดังแสดงในรูป 4.15

ฉ.) อัตราการสื้นเปลืองพลังงาน

จากการทดสอบประสิทธิภาพโรงเรือน ในช่วงเวลา 11.00 น. - 16.00 น. โดยการทดลองทั้ง 4 การทดลอง พบว่า การทดลองที่ 4 น้ำอุณหภูมิ 30°C มีการใช้กระแสไฟฟ้าสูงสุดคือ 1.86 kw-h และ การทดลองที่ 1 น้ำอุณหภูมิ 17°C มีการใช้กระแสไฟฟ้าน้อยที่สุดคือ 1.44 kw-h ดังแสดงในรูปที่ 4.16



รูปที่ 4.15 ประสิทธิภาพการทำความเย็น



รูปที่ 4.16 อัตราการสิ้นเปลืองพลังงานไฟฟ้า

สรุปผลการทดสอบ เมื่อนำน้ำที่มีอุณหภูมิที่แตกต่างกัน 4 ค่า คือ 17, 20, 25 และ 30°C มาผ่านแผง Cooling Pad พบร้า น้ำเย็นที่อุณหภูมิ 17°C และ 30°C ให้ประสิทธิภาพการทำความเย็นสูงสุด 80% มีอัตราการสิ้นเปลืองไฟฟ้า 1.44 kW-h และ 1.68 kW-h และมีอัตราการระเหยน้ำ 4.78 และ 5.33 ลิตรต่อชั่วโมงต่อตารางเมตร ตามลำดับ

4.2.2 การประเมินสมรรถนะของโรงเรือนที่ใช้ระบบการหมุนเวียนอากาศ

การศึกษาวิเคราะห์สมรรถนะทางความเย็นของโรงเรือนแบบระเหยน้ำโดยใช้ระบบน้ำเย็น และติดตั้งชุดดึงอากาศเย็นกลับคืน เปรียบเทียบกับแบบเดิมที่ไม่ติดตั้งชุดดึงอากาศเย็นกลับคืน

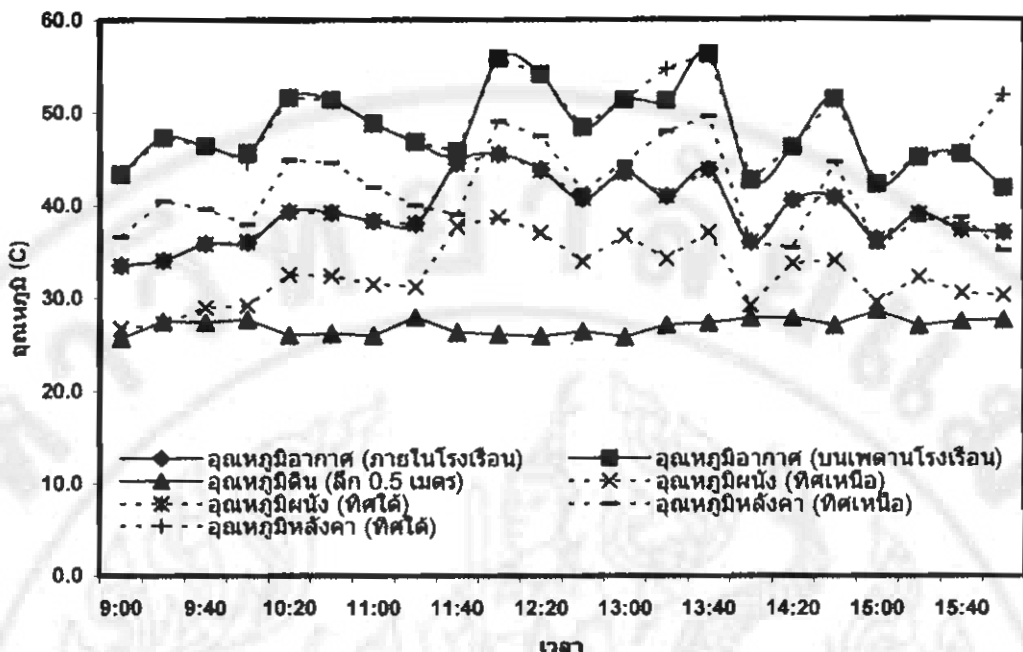
ก.) การประเมินสมรรถนะโรงเรือนขณะที่ไม่มีการทำางานของระบบ

ในเวลาที่ไม่มีการทำางานของระบบที่ประกอบด้วยระบบลม และระบบน้ำ ได้ทำการศึกษาการกระจายของอุณหภูมิภายในโรงเรือน และความสามารถในการส่องผ่านของรังสีอาทิตย์เข้าสู่โรงเรือน พบร่วมของการกระจายของอุณหภูมิของอากาศภายในโรงเรือนจะมีอุณหภูมิสูงบริเวณผนังทิศใต้ และจะมีอุณหภูมิต่ำลงเมื่อใกล้ผนังด้านทิศเหนือ ในกรณีของอุณหภูมิได้หลังคาก้มลักษณะเดียวกัน โดยอุณหภูมิเฉลี่ยภายในโรงเรือนสูงกว่าอุณหภูมิแวดล้อมเฉลี่ย 7.8°C และอุณหภูมิเฉลี่ยภายในให้หลังคาร่องเรือนสูงกว่าอุณหภูมิแวดล้อมเฉลี่ย 8.9°C ความเร็วเฉลี่ย 0.72 m/s ซึ่งเป็นการเคลื่อนที่แบบอิสระของอากาศ (Free convection) อุณหภูมิของพื้นทำการวัดที่ความลึก 50 cm มีค่าต่ำกว่าอุณหภูมิอากาศภายในโรงเรือน 12.4°C ความเข้มรังสีอาทิตย์ภายในโรงเรือนเฉลี่ยเท่ากับ 38.74 W/m^2 ในขณะที่ความความเข้มรังสีอาทิตย์กลางแจ้งเฉลี่ยเท่ากับ 737.86 W/m^2

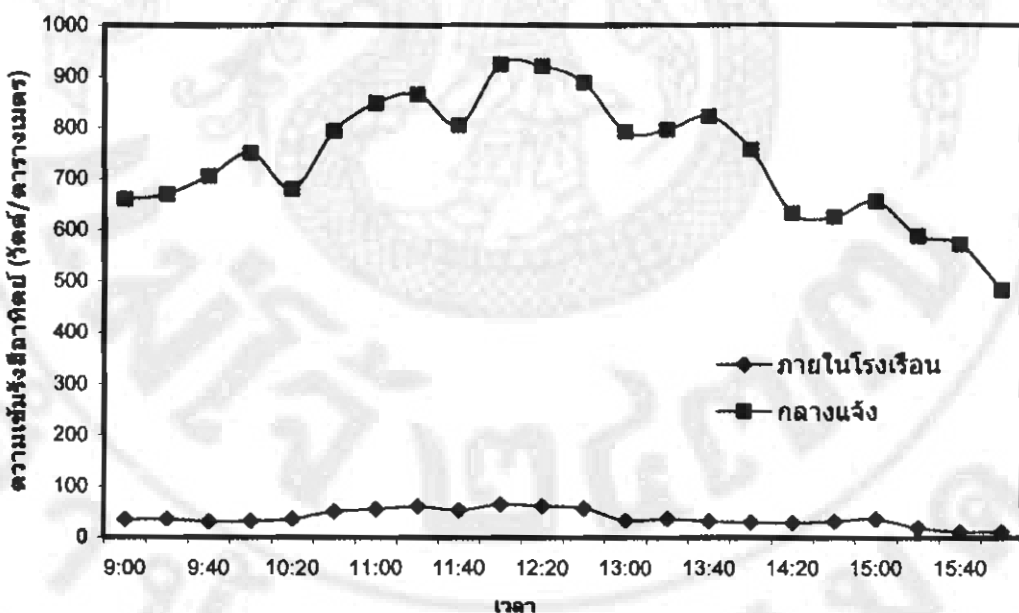
จากกฎที่ 4.17 พบร่วมในขณะที่ไม่มีการทำางานของระบบโรงเรือน อุณหภูมิของอากาศภายในโรงเรือน จะมีค่าใกล้เคียงกับอุณหภูมิของผนังโรงเรือนด้านที่รับรังสีแสงอาทิตย์

ตารางที่ 4.3 โรงเรือนขณะไม่มีการทำางานของระบบ

| คุณสมบัติ | ปริมาณ | |
|--|------------|--------|
| อุณหภูมิอากาศแวดล้อม ($^{\circ}\text{C}$) | 31.50 | |
| อุณหภูมิอากาศในโรงเรือน ($^{\circ}\text{C}$) | 39.30 | |
| อุณหภูมิอากาศบนเพดาน ($^{\circ}\text{C}$) | 48.20 | |
| อุณหภูมิดิน ($^{\circ}\text{C}$) | 26.90 | |
| อุณหภูมิผนัง ($^{\circ}\text{C}$) | ทิศเหนือ | 32.46 |
| | ทิศใต้ | 39.26 |
| อุณหภูมิหลังคา ($^{\circ}\text{C}$) | ทิศเหนือ | 41.29 |
| | ทิศใต้ | 48.72 |
| ความเข้มรังสีอาทิตย์ (W/m^2) | ในโรงเรือน | 38.74 |
| | ที่โล่ง | 737.86 |



รูปที่ 4.17 อุณหภูมิที่เวลาต่าง ๆ

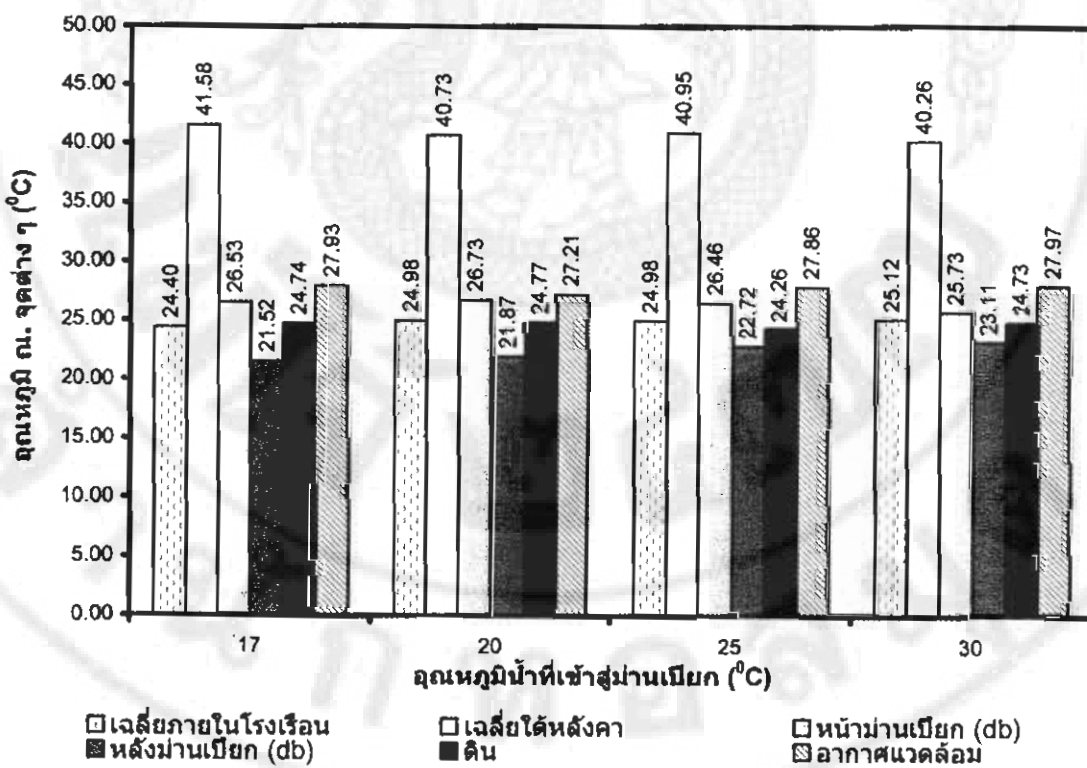


รูปที่ 4.18 ความชื้นร้อนสีอากาศที่ต่าง ๆ

ช.) การประเมินสมรรถนะโรงเรือนโดยไม่มีการวนกลับของอากาศทึ่งผ่านเพดาน

การทดสอบโรงเรือนได้ทำการเปิดระบบต่างๆ ให้ทำงานเป็นปกติคือ ระบบนำําและพัดลมจะทำงานเมื่ออุณหภูมิภายในโรงเรือนสูงกว่า 28°C และหยุดทำงานที่อุณหภูมิภายในโรงเรือนต่ำกว่า 26°C ทดสอบโดยเปลี่ยนอุณหภูมิของน้ำที่เข้าสู่วัสดุเปียก 4 ค่า คือ 17°C , 20°C , 25°C และ 30°C ตามลำดับ

จากการศึกษาพบว่า ที่อุณหภูมน้ำเข้าสู่วัสดุเปียกที่มีอุณหภูมิต่ำ จะทำให้อุณหภูมิที่ตัวแน่นต่างๆ ภายในโรงเรือนลดลง อุณหภูมิอากาศเฉลี่ยภายในโรงเรือนอยู่ในช่วง $24.4 - 25.21^{\circ}\text{C}$ ได้แก่ กัน 40.26-41.58 $^{\circ}\text{C}$ สูงกว่าอุณหภูมิอากาศแวดล้อม 13.14°C และอุณหภูมิในตันที่ความลึก 50 เซนติเมตร เฉลี่ยประมาณ $24.26-24.74^{\circ}\text{C}$ ดังแสดงในรูปที่ 4.19 เมื่ออุณหภูมิของน้ำที่เข้าสู่ม่านเปียกลดลง จะทำให้ผลต่างอุณหภูมิของอากาศก่อนเข้าและหลังออกจากม่านเปียกสูงขึ้น ซึ่งหมายถึงประสิทธิภาพของม่านเปียกจะสูงขึ้น โดยพบว่า อุณหภูมน้ำเข้าสู่ม่านเปียกเท่ากับ 17°C



รูปที่ 4.19 อุณหภูมิที่ตัวแน่นต่างๆ ของโรงเรือน

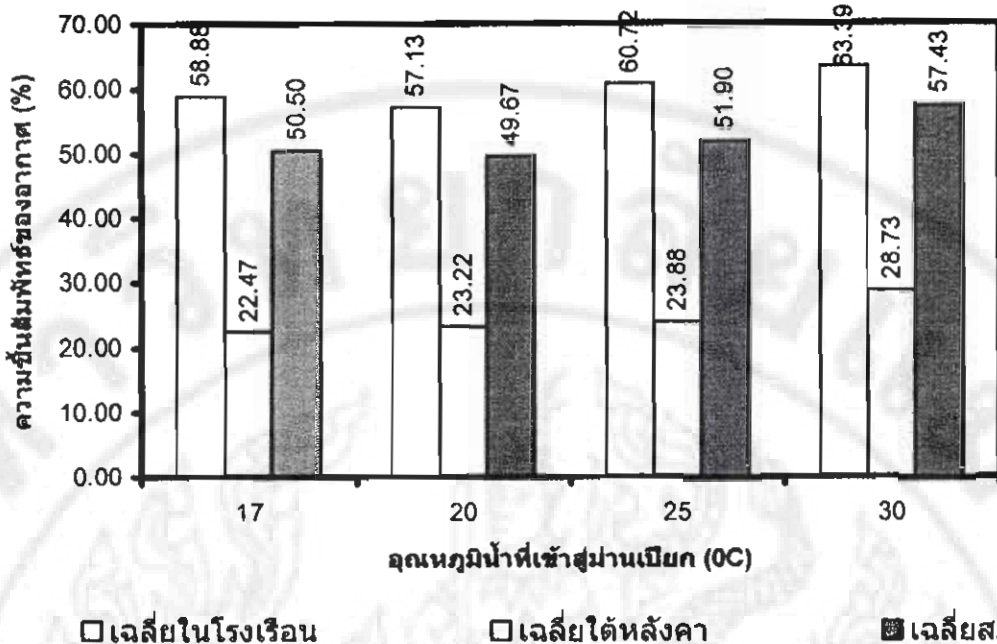
**ตารางที่ 4.4 ผลต่างระหว่างอุณหภูมิของอากาศก่อนเข้าและหลังออกจากม่านเปียก และ
ประสิทธิภาพของม่านเปียกที่อุณหภูมิของน้ำที่เข้าสู่ม่านเปียกค่าต่าง ๆ**

| อุณหภูมิของน้ำที่ เข้าสู่ม่านเปียก ($^{\circ}\text{C}$) | ผลต่างระหว่างอุณหภูมิของอากาศก่อนเข้า และหลังออกจากม่านเปียก ($^{\circ}\text{C}$) | ประสิทธิภาพของม่านเปียก (%) |
|--|--|--------------------------------|
| 17 | 5.01 | 80.31 |
| 20 | 4.86 | 80.20 |
| 25 | 3.74 | 73.28 |
| 30 | 2.62 | 69.16 |

ตารางที่ 4.5 ปริมาณการใช้พลังงานของโรงเรือน

| อุณหภูมิของน้ำ ที่เข้าสู่ม่านเปียก ($^{\circ}\text{C}$) | ความชื้น รังสีอาทิตย์ (W/m^2) | พลังงานของพัดลม และปั๊มน้ำ (kW-h) | | ปริมาณการใช้น้ำ (ลิตร/ชั่วโมง/ตาราง เมตร/m²/m่านเปียก) | พลังงานที่ใช้ ในการระบายน้ำ ($\times 10^{-3}$ kW) |
|---|--|--------------------------------------|--------------------|--|--|
| | | ที่ I = 41.41 | (W/m^2) | | |
| 17 | 44.48 | 1.62 | 1.50 | 4.78 | 3.24 |
| 20 | 40.38 | 1.55 | 1.59 | 5.33 | 3.61 |
| 25 | 41.31 | 1.78 | 1.79 | 5.38 | 3.64 |
| 30 | 39.46 | 1.86 | 1.95 | 6.24 | 4.23 |

จากตารางที่ 4.4 – 4.5 พบว่า เมื่ออุณหภูมิของน้ำที่เข้าม่านเปียกสูงขึ้นปริมาณการใช้น้ำ
ของระบบจะสูงขึ้น ส่วนความชื้นสัมพัทธ์ของอากาศที่เคลื่อนที่ผ่านม่านเปียก พบว่า อากาศ
ภายในโรงเรือนมีความชื้นสัมพัทธ์สูงกว่าอากาศภายนอกโรงเรือน 7.65 % และได้คลั่งความ
ความชื้นสัมพัทธ์ต่ำกว่าอากาศแวดล้อม 27.80 % ดังแสดงในรูปที่ 4.20

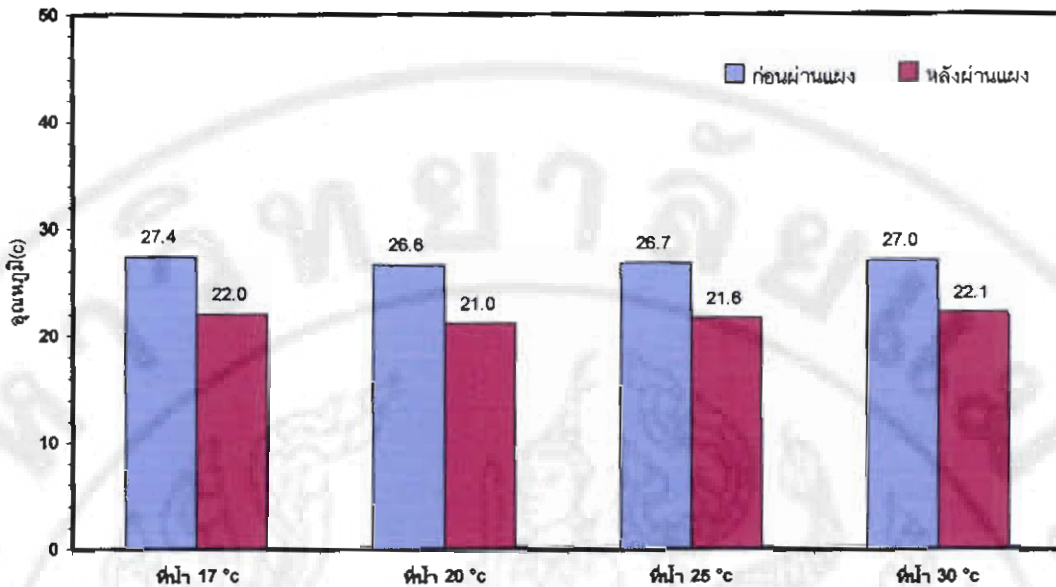


รูปที่ 4.20 ความชื้นสัมพัทธ์ของอากาศ ณ ตำแหน่งต่างๆ ของโรงเรือน

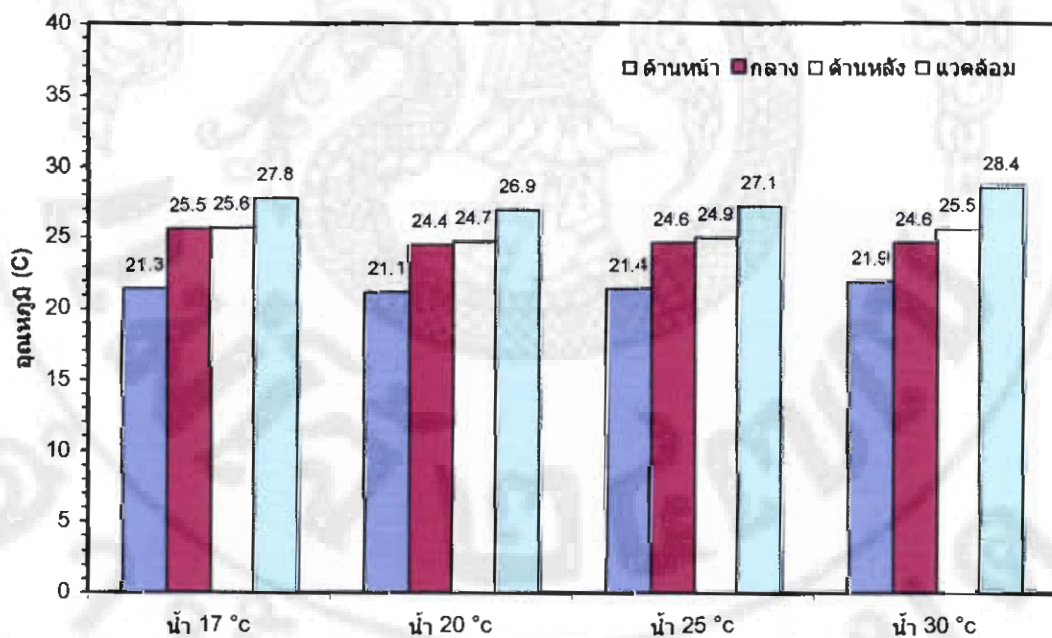
ค.) การประเมินสมรรถนะโรงเรือนที่มีการหมุนเวียนอากาศ

➤ อุณหภูมิภายในโรงเรือน

การทดสอบสมรรถนะการทำความเย็นของโรงเรือนที่มีการหมุนเวียนอากาศที่อุณหภูมน้ำเย็น 17 20 25 และ 30°C แสดงได้ดังรูปที่ 4.21 จะเห็นได้ว่าอุณหภูมิอากาศก่อนและหลังผ่านแผงระเหยน้ำที่อุณหภูมน้ำต่างๆ โดยอุณหภูมิอากาศก่อนผ่านแผงระเหยน้ำที่อุณหภูมน้ำ 17°C มีค่า 27.4°C และมีอุณหภูมิอากาศหลังผ่านแผงระเหยน้ำ 22°C อุณหภูมิอากาศก่อนผ่านแผงระเหยน้ำที่อุณหภูมน้ำ 20°C มีค่า 26.6°C และมีอุณหภูมิอากาศหลังผ่านแผงระเหยน้ำ 21°C อุณหภูมิอากาศก่อนผ่านแผงระเหยน้ำที่อุณหภูมน้ำ 25°C มีค่า 26.7°C และมีอุณหภูมิอากาศหลังผ่านแผงระเหยน้ำ 21.6°C อุณหภูมิอากาศก่อนผ่านแผงระเหยน้ำที่อุณหภูมน้ำ 30°C มีค่า 27°C และมีอุณหภูมิอากาศหลังผ่านแผงระเหยน้ำ 22.1°C



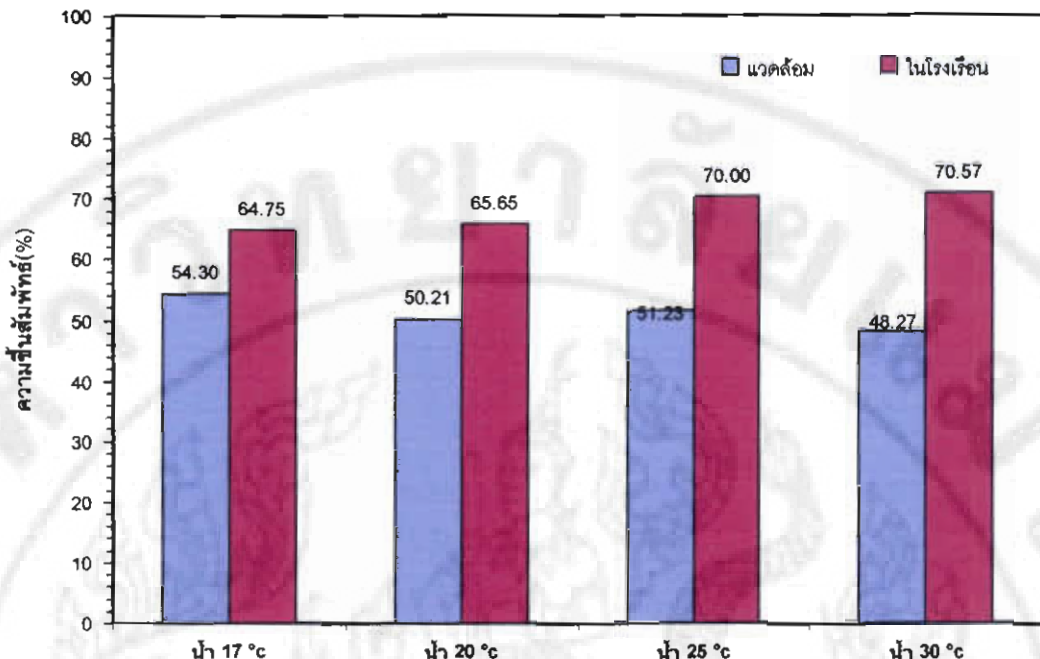
รูปที่ 4.21 อุณหภูมิอากาศก่อนและหลังผ่านแผงระเหย



รูปที่ 4.22 อุณหภูมิอากาศภายในโรงเรือน

➤ ความซึ้นสัมพัทธ์

จากการตรวจวัดอุณหภูมิกระเบ้าแห้งและกระเบ้าเปียกของอากาศแวดล้อม และอากาศในโรงเรือน แล้วนำมาวิเคราะห์หาค่าความซึ้นสัมพัทธ์ของอากาศแสดงได้ดังรูป 4.23



รูปที่ 4.3 อุณหภูมิของน้ำก่อนและหลังผ่านม่านเปียก

โดยที่น้ำที่อุณหภูมิ 17, 20, 25 และ 30°C ปริมาณความชื้นสัมพัทธ์อากาศแวดล้อม มีค่าเฉลี่ยอยู่ที่ 54.50.51 และ 41%RH ค่าความชื้นสัมพัทธ์เฉลี่ยภายในโรงเรือนเฉลี่ยอยู่ที่ 65.66 70 และ 71 % RH ตามลำดับ

➤ ความเข้มรังสีแสงอาทิตย์

ความรังสีดวงอาทิตย์ที่ตกกระทบโรงเรือนในช่วงเวลา 11.00 – 14.00 น. เป็นค่าที่แสดงถึงค่าพลังงานความร้อนที่ถูกถ่ายเทเข้าไปในโรงเรือนฯ ซึ่งในโรงเรือนจะมีการติดตั้งม่านพรางแสงเพื่อลดความร้อนดังกล่าว ค่าความเข้มรังสีดวงอาทิตย์ที่ตกกระทบหลังคาโรงเรือนในช่วงการทดลองทั้ง 4 การทดลองแสดงในตารางที่ 4.6 ซึ่งเป็นช่วงเวลาการทดลองมีค่าโดยประมาณ ประมาณ 765 – 806.2 W/m² และค่าความเข้มของรังสีดวงอาทิตย์ภายในโรงเรือนมีค่าโดยประมาณ 43.33 – 46.7 W/m²

➤ ปริมาณการระเหยน้ำ

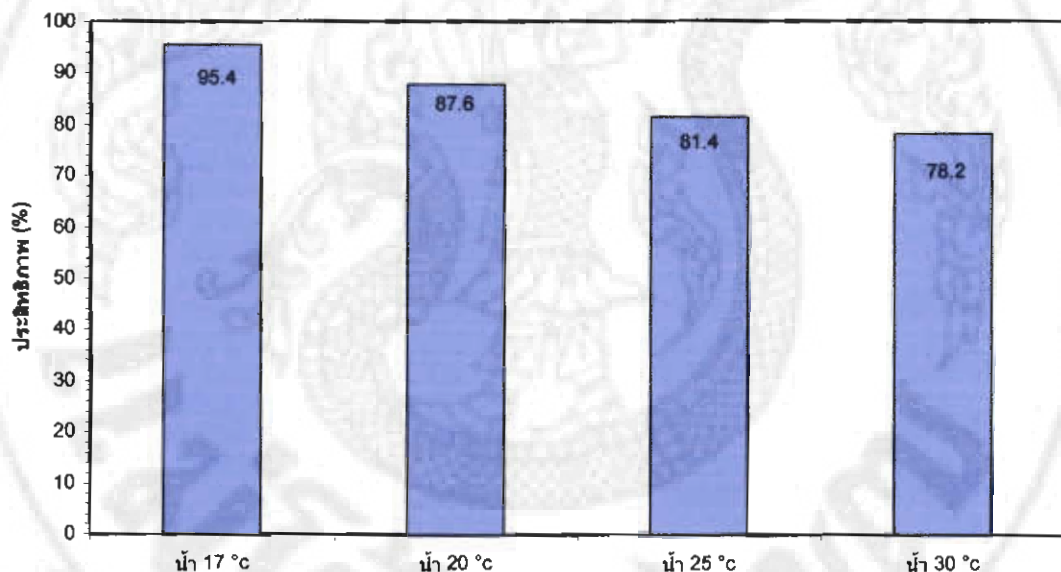
ปริมาณการระเหยน้ำ พบร่วมกับ เมื่ออุณหภูมน้ำเพิ่มขึ้น ทำให้มีอัตราการใช้น้ำมากขึ้น โดยที่อุณหภูมน้ำ 17, 20, 25 และ 30°C จะมีปริมาณการใช้น้ำ 4.03, 4.79, 5.84 และ 6.76 ลิตร ต่อชั่วโมงต่อตารางเมตร ตามลำดับ ซึ่งแสดงได้ดังตารางที่ 4.6

ตารางที่ 4.6 ตารางความเข้มรังสีดวงอาทิตย์

| อุณหภูมิน้ำ | 17°C | 20°C | 25°C | 30°C |
|---|-------|-------|--------|-------|
| ความเข้มของรังสีดวงอาทิตย์ (w/m^2) | 769.4 | 806.2 | 780.87 | 765.0 |
| ความเข้มของรังสีดวงอาทิตย์ในโรงเรือน (w/m^2) | 45.4 | 46.7 | 43.33 | 43.33 |
| ปริมาณน้ำระเหย (ลิตร/ชั่วโมง/ตารางเมตร) | 4.03 | 4.79 | 5.84 | 6.76 |
| ปริมาณการใช้ไฟฟ้า (kW-h) | 1.79 | 1.92 | 2.20 | 2.46 |

➤ ประสิทธิภาพแผงโซลาร์เซลล์

จากการทดสอบ พบว่า ประสิทธิภาพแผงโซลาร์เซลล์สูงสุดเท่ากับ 95.4 % ที่อุณหภูมิน้ำ 17°C เมื่ออุณหภูมิน้ำเพิ่มขึ้นจะทำให้ประสิทธิภาพแผงโซลาร์เซลล์ลดลง



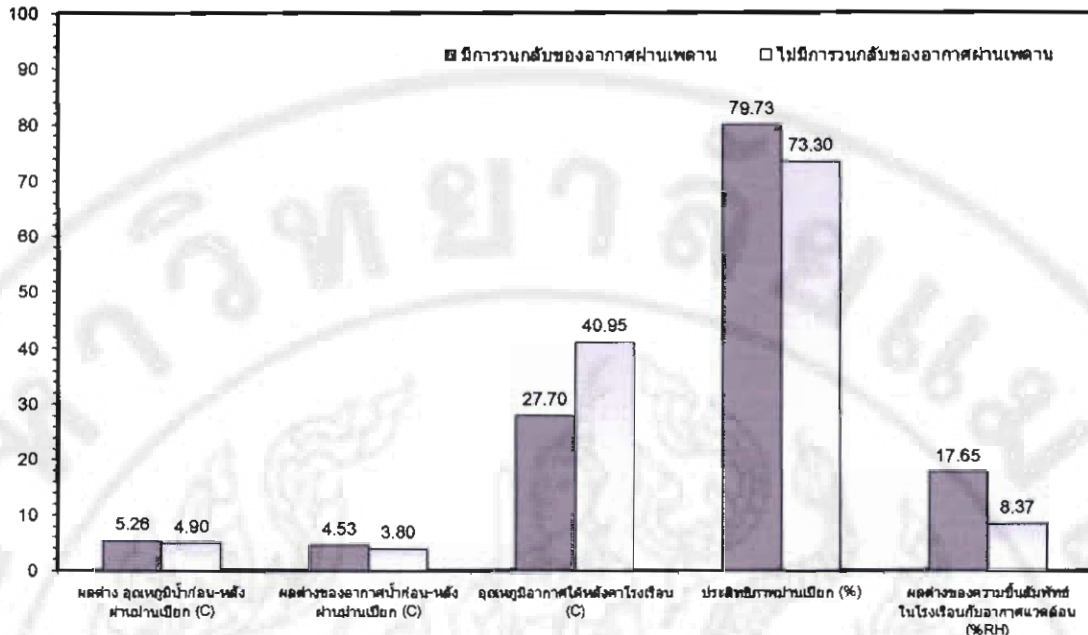
รูปที่ 4.24 ประสิทธิภาพแผงโซลาร์เซลล์

4.2.3 การเปรียบเทียบสมรรถนะของโรงเรือนกรณีที่มีการวนกลับและไม่วนกลับของอากาศทึ้งผ่านเพดาน

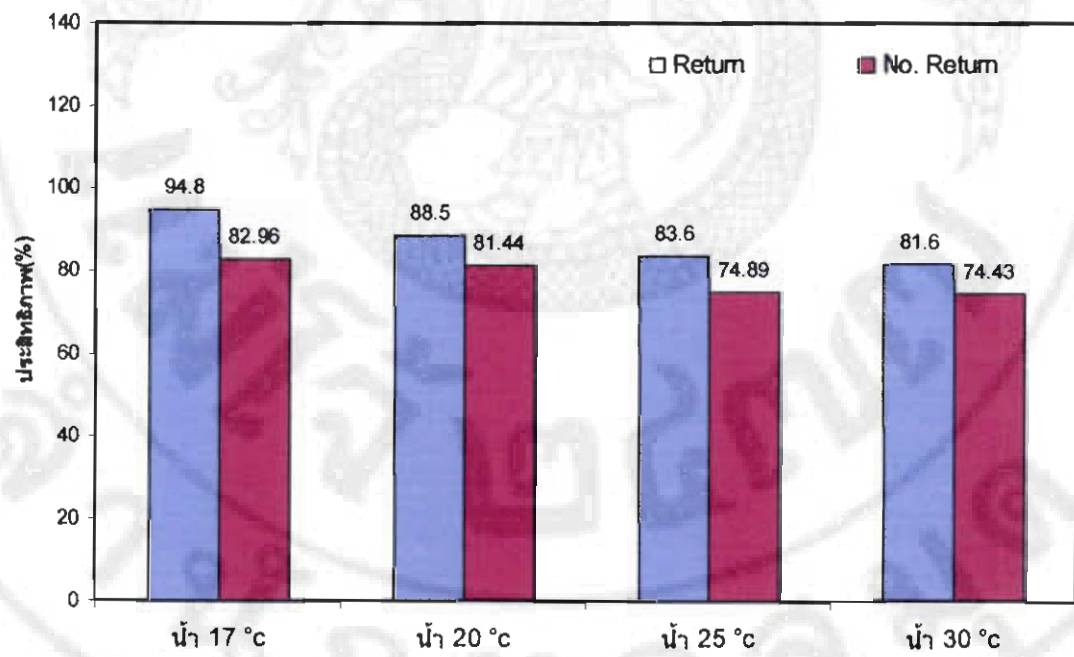
จากการทดสอบ เมื่อนำผลการทดสอบเปรียบเทียบระหว่างกรณีที่มีการวนกลับของอากาศทึ้งผ่านได้เพดานกับกรณีที่ไม่มีการวนกลับของอากาศ กรณีที่น้ำมีอุณหภูมิ 25°C เสื้อผ้าเปลี่ยนสามารถสรุปได้ดังตารางที่ 4.7 และรูปที่ 4.25

ตารางที่ 4.7 เปรียบเทียบคุณสมบัติของโรงเรือน ที่อุณหภูมิน้ำเข้าม่านเปียกปกติ (25°C)

| คุณสมบัติ | มีการวนกลับ ของอากาศ | ไม่มีการวนกลับ ของอากาศ |
|--|-------------------------|----------------------------|
| อุณหภูมิน้ำเข้า Cooling Pad ($^{\circ}\text{C}$) | 25.53 | 25.9 |
| อุณหภูมิน้ำออก Cooling Pad ($^{\circ}\text{C}$) | 20.27 | 21.0 |
| อุณหภูมิอากาศก่อนผ่าน Cooling Pad ($^{\circ}\text{C}$) | 25.87 | 26.5 |
| อุณหภูมิอากาศหลังผ่าน Cooling Pad ($^{\circ}\text{C}$) | 21.34 | 22.7 |
| อุณหภูมิอากาศแวดล้อม ($^{\circ}\text{C}$) | 27.0 | 27.9 |
| ประสิทธิภาพม่านเปียก (%) | 79.73 | 73.3 |
| อุณหภูมิอากาศในโรงเรือน ($^{\circ}\text{C}$) | หน้า | 21.43 |
| | กลาง | 24.63 |
| | หลัง | 24.87 |
| อุณหภูมิอากาศใต้หลังคาโรงเรือน ($^{\circ}\text{C}$) | | 27.7 |
| อุณหภูมิดิน ($^{\circ}\text{C}$) | | 24.1 |
| ความชื้นสัมพัทธ์ของอากาศ (%) | แวดล้อม ในโรงเรือน | 53.49 |
| | บน | 71.14 |
| | หลังคา | 63.88 |
| เวลาทำงานของพัดลม (นาที) | | 88.33 |
| ปริมาณการใช้น้ำ (ลิตร/ชม./ตารางเมตรม่านเปียก) | | 5.86 |
| ความเร็วลม (เมตร/วินาที) | | |
| หน้า | | 1.0 |
| กลาง | | 1.0 |
| หลัง | | 1.0 |
| | | 1.4 |
| | | 1.4 |
| | | 1.5 |

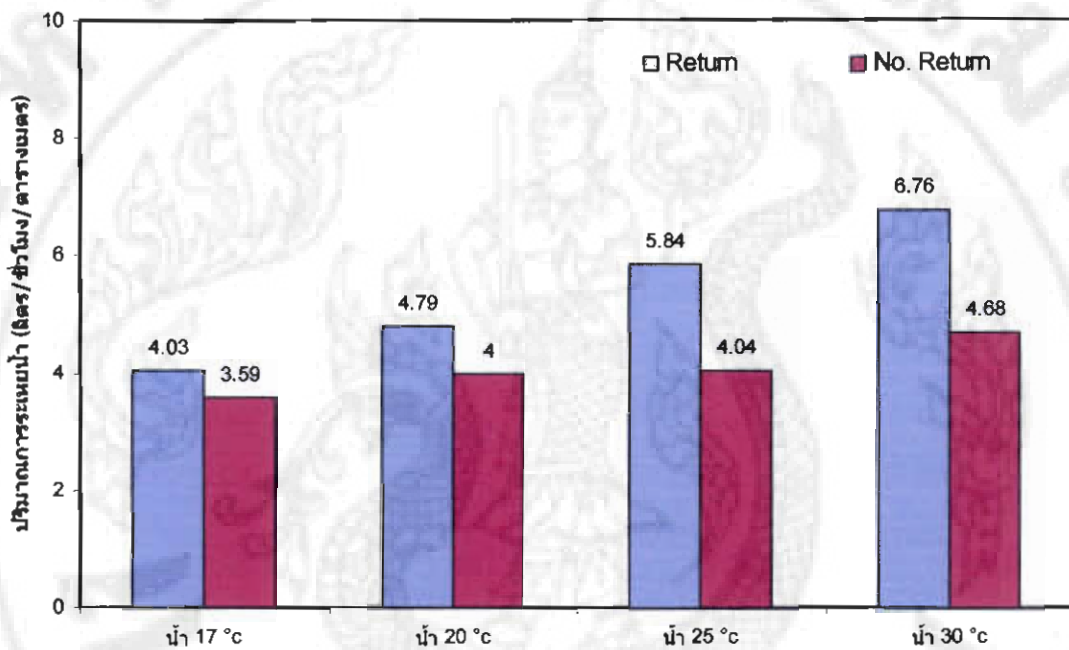


รูปที่ 4.25 คุณสมบัติของโรงเรือนที่แตกต่างกันระหว่างการวินกลับ
และไม่วินกลับของอากาศ



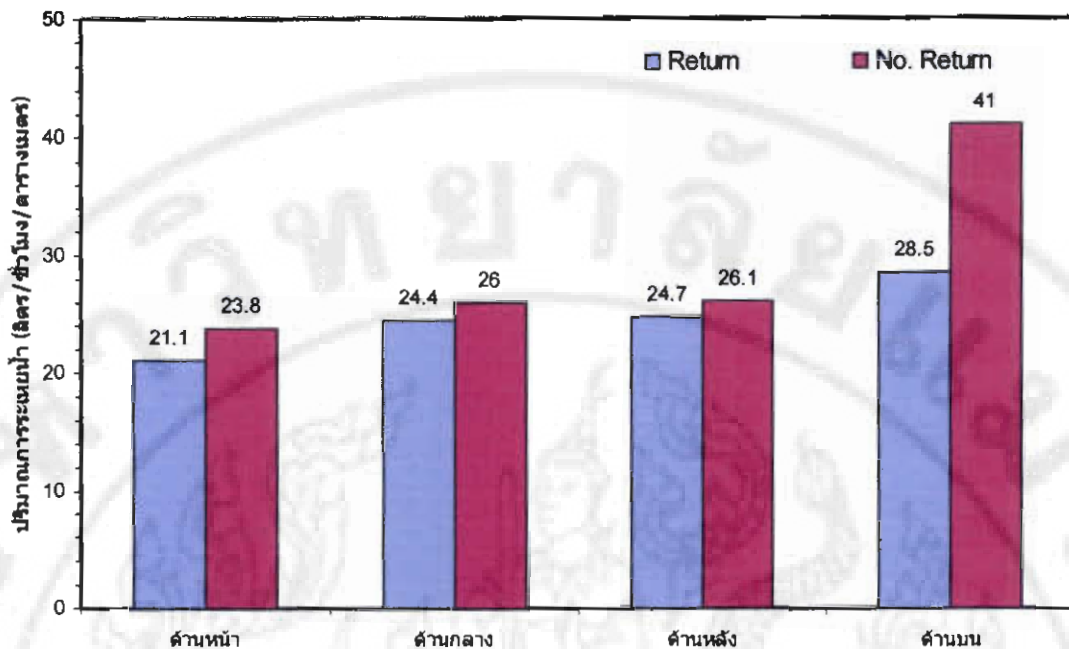
รูปที่ 4.26 ประสิทธิภาพของแผงระเหยกรณีที่ใช้ระบบหมุนเวียนกับ
ไม่หมุนเวียนของอากาศในโรงเรือน

จากรูปที่ 4.26 พบว่า ประสิทธิภาพของแผงโซลาร์เซลล์ พบว่า ที่ อุณหภูมน้ำ 17°C ให้ประสิทธิภาพแผงโซลาร์เซลล์ 94.8 % (ติดตั้งท่อน้ำอากาศ) , 82.96 % (ไม่ติดตั้งท่อน้ำอากาศ) ที่อุณหภูมน้ำ 20°C ให้ประสิทธิภาพแผงโซลาร์เซลล์ 88.5 % (ติดตั้งท่อน้ำอากาศ) , 81.44 % (ไม่ติดตั้งท่อน้ำอากาศ) ที่อุณหภูมน้ำ 25°C ให้ประสิทธิภาพแผงโซลาร์เซลล์ 83.6 % (ติดตั้งท่อน้ำอากาศ) , 74.89 % (ไม่ติดตั้งท่อน้ำอากาศ) ที่อุณหภูมน้ำ 30°C ให้ ประสิทธิภาพแผงโซลาร์เซลล์ 81.6 % (ติดตั้งท่อน้ำอากาศ) , 74.43 % (ไม่ติดตั้งท่อน้ำอากาศ)



รูปที่ 4.27 ปริมาณการระเหยของน้ำ

ปริมาณการระเหยของน้ำจากการทดลอง พบว่า โรงเรือนที่ติดตั้งท่อน้ำอากาศจะมี อัตราการระเหยของน้ำมากกว่าโรงเรือนที่ไม่ติดตั้งท่อน้ำอากาศ โดยมีค่าการระเหยของน้ำที่ใช้ เมื่อเทียบกับโรงเรือนที่ไม่ติดตั้งท่อน้ำอากาศ ที่น้ำอุณหภูมิ 17 °C มีอัตราการระเหยน้ำที่ 10.946% ที่น้ำอุณหภูมิ 20 °C มีอัตราการระเหยน้ำที่ 16.537% ที่น้ำอุณหภูมิ 25 °C มีอัตราการ ระเหยน้ำที่ 30.826% ที่น้ำอุณหภูมิ 30 °C มีอัตราการระเหยน้ำที่ 30.732% ดังรูปที่ 4.27



รูปที่ 4.28 อุณหภูมิของโรงเรือนในตำแหน่งต่างๆ

จากรูปที่ 4.28 แสดงกราฟเปรียบเทียบอุณหภูมิของโรงเรือนในตำแหน่งต่างๆ ที่น้ำปักดิ์ โดยโรงเรือนที่ติดตั้งท่อน้ำอากาศจะสามารถลดอุณหภูมิได้มากกว่าโรงเรือนที่ไม่ติดตั้งท่อน้ำอากาศโดยด้านหน้าโรงเรือนสามารถลดอุณหภูมิได้โดยเฉลี่ยที่ 2.7°C กลางโรงเรือนสามารถลดอุณหภูมิได้โดยเฉลี่ยที่ 1.6°C ด้านหลังโรงเรือน (หน้าพัดลม) สามารถลดอุณหภูมิได้โดยเฉลี่ยที่ 1.4°C ด้านบนโรงเรือนสามารถลดอุณหภูมิได้โดยเฉลี่ยที่ 12.5°C

สรุปผลการทดสอบ พบว่า เมื่อนำเข้าอากาศมาวนกลับใต้เพดานของโรงเรือนจะสามารถเพิ่มประสิทธิภาพของม่านเปียกได้ เมื่อจากมีการวนกลับของอากาศซึ่งและอุณหภูมิต่าออกจากรองเรือนทางฝั่งที่ตั้งม่านเปียก สงผลให้อากาศในบริเวณหน้าม่านเปียกก่อนเข้าโรงเรือนมีความชื้นสูงซึ่งและอุณหภูมิที่ต่ำลง อีกทั้งยังทำให้อากาศใต้หลังคาโรงเรือนมีอุณหภูมิต่ำลงสงผลให้อุณหภูมิของอากาศภายในโรงเรือนคงที่และสม่ำเสมอตลอดทั้งวัน แต่จะมีอัตราการใช้น้ำที่สูงขึ้น ทั้งนี้จะเป็นผลดีต่อการลดอุณหภูมิของอากาศที่เข้าในโรงเรือน เพราะในการระเหยน้ำเป็นการลดความร้อนออกจากอากาศที่เคลื่อนที่ผ่านน้ำนั้นเอง แต่มีข้อเสียคือ มีการใช้งานพัดลมที่สูงกว่ากรณีที่ไม่มีการวนกลับของอากาศประมาณ 23.26%

จากการทดลองจะเห็นได้ว่าเมื่ออุณหภูมิของน้ำที่เข้าม่านเปียกมีค่าลดลงจะทำให้ประสิทธิภาพของระบบระเหยน้ำสูงขึ้น ทำให้ประหยัดพลังงาน ดังนั้นในการที่จะลดอุณหภูมิของน้ำ จึงต้องให้ระบบที่ไม่มีการใช้พลังงานในการทำงาน จากการศึกษาเอกสารที่เกี่ยวข้อง พบว่า อุปกรณ์เทอร์โมไโซฟอน (Thermosyphon) เป็นอุปกรณ์ที่สามารถลดอุณหภูมิโดยไม่ต้องการ

ผลลัพธ์จากการวิเคราะห์ที่ได้จากการศึกษาความสามารถในการลดอุณหภูมิของน้ำในเวลา
กลางคืนที่อากาศมีอุณหภูมิต่ำ แล้วนำน้ำที่ได้น้ำมาใช้กับโรงเรือนในเวลากลางวัน

4.2.4 การศึกษาสมรรถนะการลดอุณหภูมน้ำของเทอร์โมไชฟอน

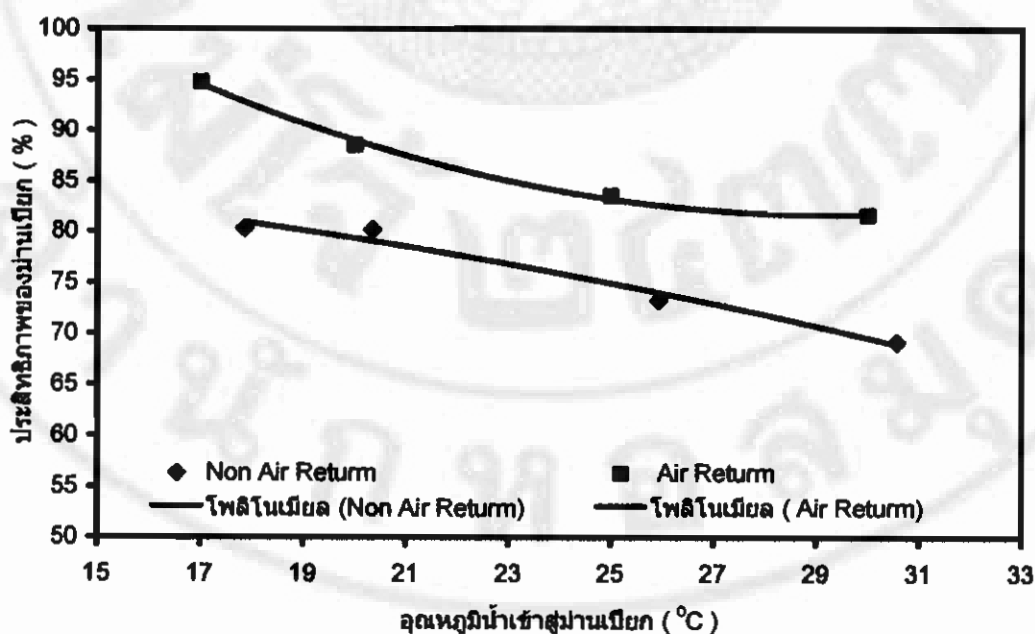
จากข้อมูลความสัมพันธ์ระหว่างอุณหภูมน้ำที่เข้าสู่ม่านเปียก กับประสิทธิภาพการ
ระเหยน้ำของม่านเปียก พบว่า มีความสัมพันธ์กันเชิงเส้น โดยมีค่าความน่าเชื่อถือ 97.48%
สำหรับกรณีที่ไม่มีการวนกลับของอากาศผ่านเพดานโรงเรือน และ 99.60% สำหรับกรณีที่มีการวน
กลับของอากาศผ่านเพดานโรงเรือน ซึ่งได้สมการที่ใช้ในการอธิบายประสิทธิภาพของม่านเปียก
เมื่อทราบค่าอุณหภูมน้ำของน้ำก่อนเข้าสู่ม่านเปียกดังสมการ และรูปที่ 4.29

$$Eff_{cooling pad} = -0.0196T_{wi}^2 + 0.0022T_{wi} + 87.145 \quad \text{ไม่นวนอากาศ}$$

$$Eff_{cooling pad} = 0.0865T_{wi}^2 - 5.05T_{wi} + 155.44 \quad \text{วนอากาศ}$$

โดยที่ EFF คือ ประสิทธิภาพการระเหยน้ำของม่านเปียก, %

T_{wi} คือ อุณหภูมน้ำของน้ำก่อนเข้าสู่ม่านเปียก, °C

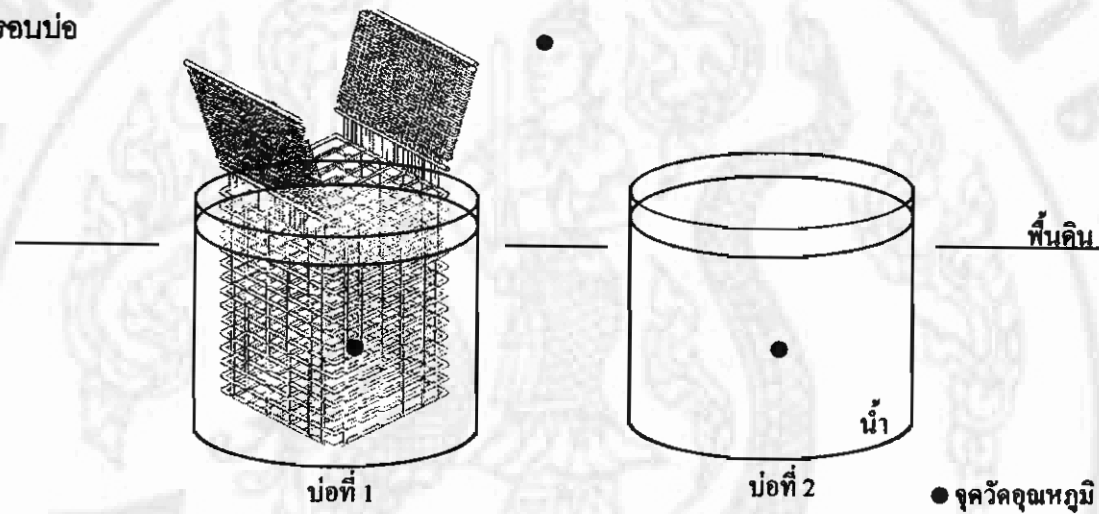


รูปที่ 4.29 ความสัมพันธ์ระหว่างอุณหภูมน้ำที่เข้าสู่ม่านเปียก

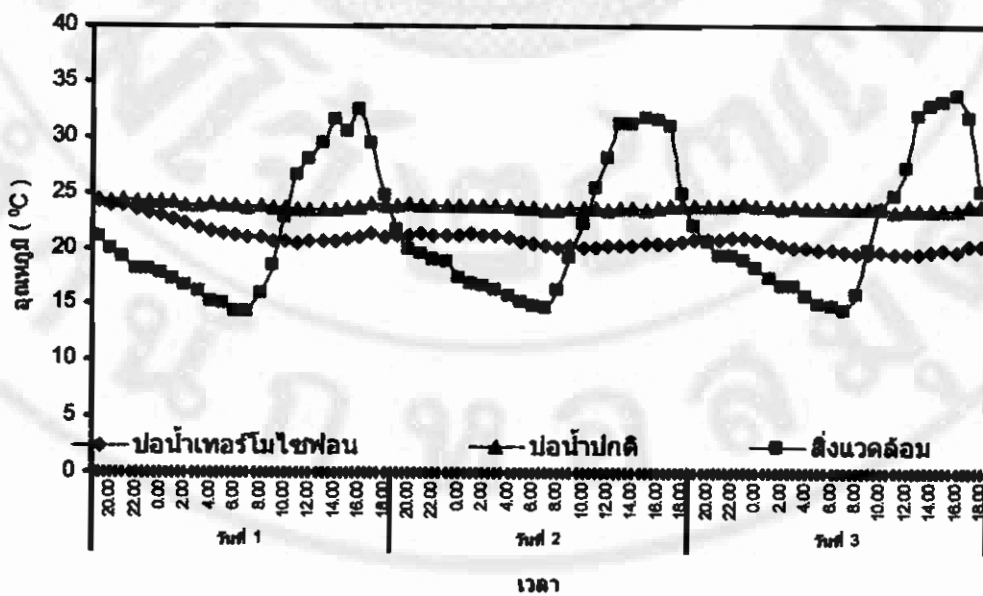
กับประสิทธิภาพการระเหยน้ำของม่านเปียก

คุณสมบัติเฉพาะของชุดเทอร์โมไชฟอนและการใช้งาน

ในเวลากลางคืนอากาศจะมีอุณหภูมิต่ำลง และถ้าต่ำกว่าอุณหภูมิของน้ำ ก็สามารถให้เทอร์โมไฟฟ่อนในการลดอุณหภูมิของน้ำให้มีอุณหภูมิเท่ากับอากาศแวดล้อม (สูงกว่าเล็กน้อย) โดยไม่ต้องป้อนพลังงานจากภายนอกเข้าสู่ระบบของเทอร์โมไฟฟ่อน ในการทดสอบความสามารถในการลดอุณหภูมิของน้ำของเทอร์โมไฟฟ่อน โดยทำการเปรียบเทียบอุณหภูมิของน้ำระหว่างบ่อที่ 1 ที่มีปริมาณน้ำเท่ากับ 2 บ่อที่อยู่ในบริเวณเดียวกัน และมีอุณหภูมิเริ่มต้นเท่ากัน บ่อที่ 1 มีการใช้เทอร์โมไฟฟ่อน และบ่อที่ 2 ไม่มีการใช้เทอร์โมไฟฟ่อน ทั้ง 2 บ่อทำการปิดปากบ่อด้วยวัสดุชนวนความร้อน ตั้งรูป 4.30 แล้วทำการวัดอุณหภูมิของน้ำทั้ง 2 บ่อ และอุณหภูมิของอากาศแวดล้อมรอบบ่อ



รูปที่ 4.30 ลักษณะการทดสอบการทำความเย็นของน้ำโดยใช้ชุดเทอร์โมไฟฟ่อน



รูปที่ 4.31 อุณหภูมิที่ชุดต่างๆ ในการทดสอบชุดเทอร์โมไฟฟ่อน

จากรูปที่ 4.31 ผลของการทดสอบความสามารถในการลดอุณหภูมิของน้ำจะเห็นว่าในเวลากลางคืนอุณหภูมิของอากาศจะต่ำกว่าอุณหภูมิอากาศในเวลากลางวันประมาณ 8.0°C ซึ่งจะเป็นผลต่อการลดอุณหภูมิของน้ำในบ่อน้ำโดยใช้ชุดเทอร์โมไฟฟอน

ในบ่อน้ำที่ไม่มีชุดเทอร์โมไฟฟอน พบว่าอุณหภูมิของน้ำจะคงที่โดยในเวลากลางวันและกลางคืนน้ำมีอุณหภูมิเฉลี่ยต่างกันเพียง 0.2°C จึงถือว่าอุณหภูมิของน้ำในบ่อไม่มีการเปลี่ยนแปลง

ส่วนบ่อน้ำที่มีชุดเทอร์โมไฟฟอน พบว่า อุณหภูมิของน้ำจะค่อยๆ ลดลงจากอุณหภูมิเริ่มต้น 24.4°C เหลือประมาณ 20°C ตั้งแต่เวลา 18.00 น. – 6.00 น จำนวน 12 ชั่วโมง หลังจากนั้นอุณหภูมิก็จะมีค่าคงที่ โดยผลต่างอุณหภูมิกลางวันและกลางคืน เฉลี่ยเท่ากับ 0.8°C

ตารางที่ 4.8 อุณหภูมิในการทดสอบชุดเทอร์โมไฟฟอน

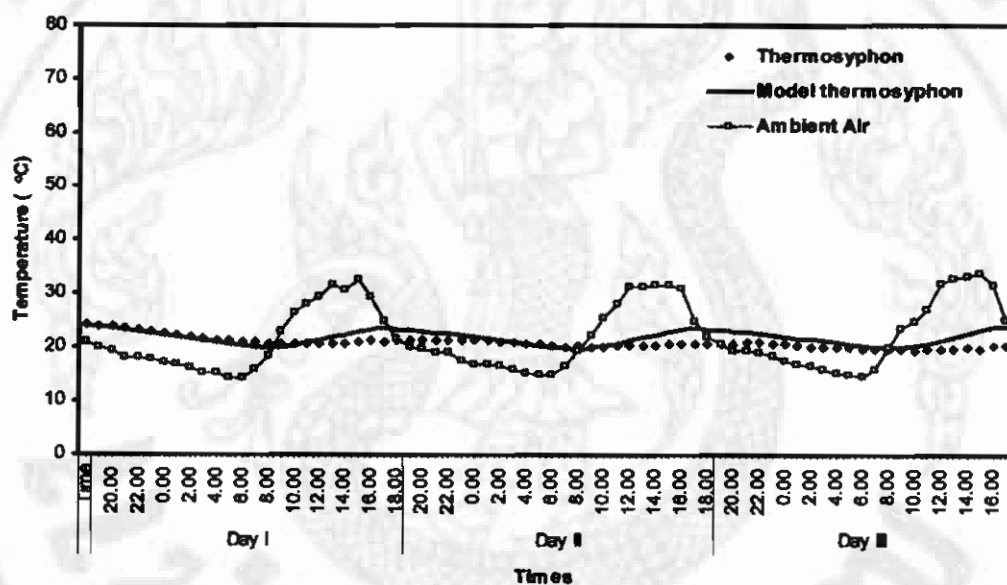
| วันที่ | ช่วง | อุณหภูมิ ($^{\circ}\text{C}$) | | |
|--|---------|---------------------------------|------------|-------------|
| | | บ่อน้ำเทอร์โมไฟฟอน | บ่อน้ำปกติ | สิ่งแวดล้อม |
| วันที่ 1 | กลางคืน | 22.7 | 24.1 | 17.4 |
| | กลางวัน | 20.8 | 23.7 | 25.3 |
| วันที่ 2 | กลางคืน | 21.1 | 23.8 | 17.7 |
| | กลางวัน | 20.3 | 23.6 | 25.6 |
| วันที่ 3 | กลางคืน | 20.5 | 23.8 | 17.9 |
| | กลางวัน | 19.8 | 23.6 | 26.2 |
| เฉลี่ย (เฉพาะวันที่ 2 และ วันที่ 3) | กลางคืน | 20.8 | 23.8 | 17.8 |
| | กลางวัน | 20.0 | 23.6 | 25.9 |

จากการทดสอบ พบว่า ประสิทธิภาพของม่านเปียก จะสูงขึ้น 6.43% เมื่อมีการนกตับของอากาศซึ่งผ่านเพดาน และจะสูงขึ้น 2.5 – 3.5% เมื่อมีการนำชุดเทอร์โมไฟฟอนมาใช้ในการลดอุณหภูมิของน้ำก่อนเข้าสู่ม่านเปียก ตั้งนั้น หากมีการนำระบบใหม่ คือ การนกตับของอากาศผ่านเพดาน และการใช้ชุดเทอร์โมไฟฟอนในการลดอุณหภูมิของน้ำควบคู่กัน จะสามารถเพิ่มประสิทธิภาพการระเหยน้ำของม่านเปียกได้สูงถึงประมาณ 10% จากโงนเรือนที่ไม่มีระบบเสริม

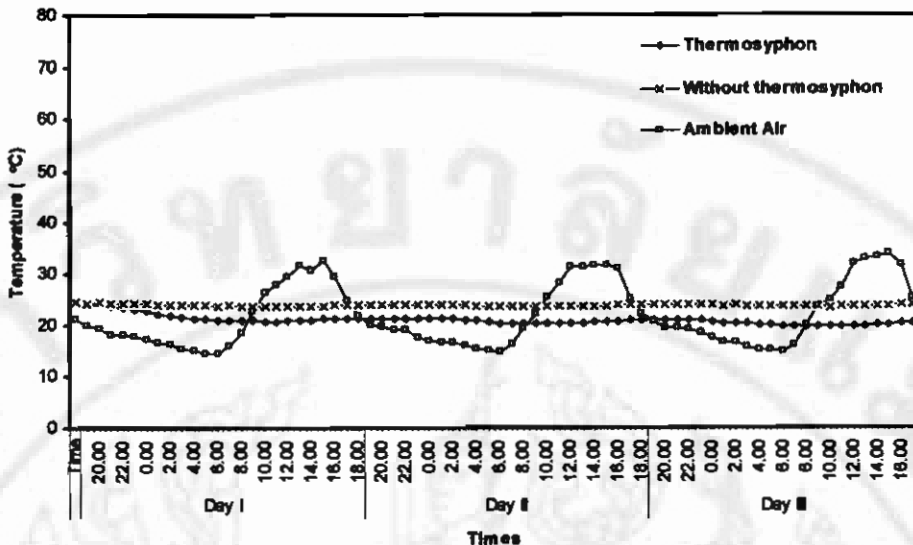
การทำนายอุณหภูมิน้ำเย็นภายในถังเก็บน้ำด้วยแบบจำลอง

จากแบบจำลองทางคณิตศาสตร์สำหรับทำนายอุณหภูมิน้ำเย็นภายในถังเก็บน้ำของระบบ การทำงานร่วมกันระหว่างท่อเทอร์โมไนฟ่อนกับถังเก็บน้ำ พบว่า อุณหภูมิที่ได้จากแบบจำลอง เคลี่ยเท่ากับ 21.80°C มีค่าแตกต่างจากผลการทดสอบ 1°C

โดยที่จากแบบจำลองทางคณิตศาสตร์ช่วงตอนกลางคืนอุณหภูมิที่ได้มีค่าใกล้เคียงกับผล การทดสอบ และเพิ่มขึ้นช่วงกลางวันเวลา 09.00 น.– 16.00 น. เมื่อจากได้รับผลกระทบจาก แสงอาทิตย์ทำให้เกิดการร่ายເຫວາມร้อนสูงเก็บน้ำ ซึ่งจากแบบจำลองที่ทำนายไม่ได้คิด ผลกระทบจากส่วนของความร้อนจากแสงอาทิตย์ทำให้อุณหภูมิที่ได้จะเพิ่มขึ้นในช่วงเวลากลางวัน



รูปที่ 4.32 อุณหภูมิน้ำเย็นในถังเก็บน้ำเทียบกับแบบจำลองทางคณิตศาสตร์ และอุณหภูมิแวดล้อม



รูปที่ 4.30 อุณหภูมิน้ำเย็นในถังเก็บน้ำแบบใช้เทอร์โมไฟฟ่อนกับแบบไม่ใช้เทอร์โมไฟฟ่อน
ในถังเก็บน้ำเย็นและอุณหภูมิแวดล้อม

เมื่อเปรียบเทียบผลแบบจำลองกับผลการทดลองกับอุณหภูมิแวดล้อม จะเห็นได้ว่า ผลกระทบที่เกิดขึ้นจะเกิดจากอุณหภูมิแวดล้อม ซึ่งเมื่ออุณหภูมิแวดล้อมในตอนกลางคืนลดลง ค่าอุณหภูมิในถังเก็บน้ำเย็นและจากแบบจำลองจะมีแนวโน้มที่ลดลง

จากรูปที่ 4.30 เมื่อเปรียบเทียบอุณหภูมิน้ำเย็นในถังเก็บน้ำแบบปกติ กับแบบที่ใช้เทอร์โมไฟฟ่อนในการลดความเย็นของน้ำในตอนกลางคืน พบว่าอุณหภูมิของน้ำในถังปกติจะสูงกว่า อุณหภูมิในบ่อที่ใช้เทอร์โมไฟฟ่อน 2.91°C ซึ่งอุณหภูมิโดยเฉลี่ยของน้ำในถังปกติและถังที่ใช้เทอร์โมไฟฟ่อน เท่ากับ 23.77°C และ 20.86°C ตามลำดับ

เมื่อเปรียบเทียบผลกระทบของอุณหภูมิอากาศแวดล้อมกับน้ำเย็นในบ่อ พบว่า อุณหภูมิในบ่อน้ำปกติมีแนวโน้มในช่วง $23^{\circ}\text{C} - 24^{\circ}\text{C}$ ส่วนในถังที่มีการใช้เทอร์โมไฟฟ่อนนั้น อุณหภูมน้ำในถัง จะต่ำกว่าแบบถังน้ำปกติที่ไม่ใช้เทอร์โมไฟฟ่อน โดยแนวโน้มจะมีค่าลดลงในช่วงตอนกลางคืนและ จะเพิ่มขึ้นในช่วงกลางวันตามอุณหภูมิแวดล้อมที่เพิ่มขึ้นในตอนกลางวัน ซึ่งได้รับความร้อนจากแสงอาทิตย์ที่ส่องบริเวณรอบถังเก็บน้ำ

ประสิทธิผลการลดอุณหภูมน้ำ (Reduced Temperature Ratio)

อุณหภูมิแวดล้อมบริเวณรอบถังเก็บน้ำ จะส่งผลต่อประสิทธิภาพการลดความเย็นของ เทอร์โมไฟฟ่อน ซึ่งตัวชี้วัดที่ใช้แสดงศักยภาพของ การลดอุณหภูมิของน้ำในเทอร์โมไฟฟ่อน ซึ่ง พัฒนาโดย ณัฐกุล (2544) พบว่า ค่าเฉลี่ยการลดอุณหภูมน้ำจะเท่ากับ 0.78

บทที่ 5

สรุปผลการทดลอง

5.1 สรุปผลการศึกษา

จากผลการศึกษาระบบโรงเรือนระบบทำความเย็นแบบ Evaporative Cooling ของโรงเรือนกระจากโดยใช้ Chilled Water Night Cooling โดยแบ่งออกเป็น 2 ส่วนคือ

ส่วนที่ 1 การประเมินสมรรถนะของโรงเรือนสำนักวิจัยและส่งเสริมวิชาการเกษตรและโรงเรือนศูนย์กลั่วไน์ดอก ไม้ประดับ

ระบบม่านเปียกแบบเยื่อเซลลูโลสของโรงเรือนสำนักวิจัยและส่งเสริมวิชาการการเกษตรฯ จะส่งผลทำให้อุณหภูมิกายในโรงเรือนต่ำกว่าโรงเรือนกลั่วไน์ดอกและไม้ประดับที่ม่านเปียกแบบในคลอน โดยอุณหภูมิอากาศก่อนผ่านม่านเปียกอยู่ในช่วง $28 - 29^{\circ}\text{C}$ และลดลงเหลือ $22 - 23^{\circ}\text{C}$

ค่าความชื้นสัมพัทธ์ของอากาศหลังผ่านม่านเปียกของโรงเรือนสำนักวิจัยและส่งเสริมวิชาการการเกษตรฯ ส่งผลทำให้อุณหภูมิกายในโรงเรือนต่ำกว่าโรงเรือนกลั่วไน์ดอกและไม้ประดับ จะเท่ากับ $78.8\% \text{RH}$ และ $67.2 \% \text{ RH}$ ที่อัตราการไหลของอากาศ $27,291.60 \text{ ลูกบาศก์เมตร/ชั่วโมง}$ ตามลำดับ

อัตราการระเหยน้ำของโรงเรือนของสำนักวิจัยและส่งเสริมวิชาการการเกษตรฯ และศูนย์กลั่วไน์ดอกและไม้ประดับ เท่ากับ $13.40 \text{ ลิตร/ชั่วโมง/พื้นที่ม่านเปียก สำหรับพัดลมทำงาน 3 ตัว}$ และเท่ากับ $20.13 \text{ ลิตร/ชั่วโมง/พื้นที่ม่านเปียก เมื่อพัดลมทำงาน 1 ตัว ตามลำดับ}$

ประสิทธิภาพการทำความเย็นของม่านเปียกแบบเยื่อเซลลูโลส ของโรงเรือนสำนักวิจัยและส่งเสริมวิชาการการเกษตร ถูงกว่าโรงเรือนศูนย์กลั่วไน์ดอกและไม้ประดับ ที่ใช้ม่านเปียกแบบในคลอน เท่ากับ 85.89% และ 76.13% ตามลำดับ มีอัตราการสิ้นเปลืองพลังงานโดยเฉลี่ย $1 - 1.5 \text{ กิโลวัตต์ต่อวันต่อตารางเมตร}$

ส่วนที่ 2 การประเมินสมรรถนะของโรงเรือนศูนย์วิจัยพัฒงาน มหาวิทยาลัยแม่โจ้

กรณีที่ใช้ระบบน้ำเย็น

ประสิทธิภาพการทำความเย็นของโรงเรือนสูงสุด 80% ที่อุณหภูมน้ำ 17°C และ 20°C มีอัตราการระเหยน้ำ เท่ากับ 4.78 และ 5.33 ลิตรต่อชั่วโมงต่อตารางเมตร ปริมาณความชื้นสัมพัทธ์ในโรงเรือนเท่ากับ 7.1 และ 6.6 %RH โดยมีอัตราการสิ้นเปลืองพลังงานไฟฟ้าในโรงเรือนเฉลี่ยเท่ากับ 1.44 และ 1.68 kW-h ตามลำดับ

กรณีที่ใช้ระบบการหมุนเวียนอากาศ (Return Air)

ระบบการนำอากาศที่ปล่อยทิ้งทางด้านพัดลมกลับมาลดอุณหภูมิได้หลังจากเรือน ซึ่งจะมีประสิทธิภาพของระบบสูงกว่าโรงเรือนสำนักวิจัยและส่งเสริมวิชาการการเกษตรและโรงเรือนกลัวยไม้ดอกและไม้ประดับ 2.5 – 3.5 % โดยประสิทธิภาพการทำความเย็นสูงสุด 94.8% ที่อุณหภูมน้ำเย็น 17°C แต่จะทำให้อัตราการไหลของอากาศภายในโรงเรือนลดลง เมื่อไม่มีการทำางานของระบบพัดลม ปั๊มน้ำ อุณหภูมิเฉลี่ยภายในโรงเรือนและได้หลังคากำลังกว่าแวดล้อม 7.8°C และ 8.9 °C ตามลำดับ

สมรรถนะของโรงเรือนเมื่อไม่มีการวนกลับของอากาศผ่านได้หลังคานั่มีการทำงานของระบบพัดลมและปั๊ม พบว่าอุณหภูมิอากาศในโรงเรือนอยู่ในช่วง 24.4 – 25.21°C ประสิทธิภาพการทำความเย็น 69.16 – 80.31% ที่อุณหภูมน้ำเย็น 17, 20, 25 และ 30°C สิ้นเปลืองพลังงานประมาณ 3.24 – 4.23 วัตต์

สมรรถนะของโรงเรือนที่มีการวนกลับของอากาศทิ้งผ่าน พบว่า อุณหภูมิอากาศหลังผ่านม่านเปียกลดลง 4.53 °C เมื่อเปรียบเทียบกรณีที่ไม่มีการวนกลับของอากาศ อุณหภูมิของน้ำเมื่อออกจากม่านเปียกจะมีค่าต่ำลง 4.90 °C และอุณหภูมิอากาศลดลง 3.80 °C ส่วนประสิทธิภาพของม่านเปียกในกรณีที่มีการวนกลับของอากาศผ่านเพดานจะสูงกว่ากรณีที่ไม่มีการวนกลับของอากาศเฉลี่ย 6.43 %

กรณีที่ใช้ชุดเทอร์โมไทร์ฟอนในการลดอุณหภูมน้ำเย็น

สมรรถนะของโรงเรือนเมื่อใช้เทอร์โมไทร์ฟอนในการลดอุณหภูมิของน้ำ พบว่า มีประสิทธิภาพการระเหยน้ำเพิ่มขึ้น 10% จากระบบเดิมที่ไม่ได้ใช้ เมื่อใช้แบบจำลองทางคณิตศาสตร์ที่พัฒนาขึ้นทำนายอุณหภูมน้ำเย็นในปีเบรียบเทียบกับดังเก็บน้ำแบบปกติในตอนกลางคืน พบว่า อุณหภูมิของน้ำในถังปกติจะสูงกว่าปอที่ใช้เทอร์โมไทร์ฟอน 2.91°C และประสิทธิผลของการลดอุณหภูมิของเทอร์โมไทร์ฟอนในถังน้ำเย็นเท่ากับ 0.78

5.2 ข้อเสนอแนะ

1. การติดตั้งชุดดึงอากาศเย็นกลับคืนทำให้อัตราการไหลของอากาศร้าย การกระจายอากาศเย็นภายในโรงเรือนไม่ตีเท่าที่ควร ดังนั้นระบบดึงอากาศเย็นกลับคืนควรจะมีพื้นที่หน้าตัดของท่อนำอากาศ และปล่องระบายน้ำอากาศออกด้านบนหลังคาดความร้อนด้วยวิธีการเพื่อทำให้การไหลของอากาศเพิ่มขึ้น
2. เนื่องจากระบบบังรังสีอาทิตย์ในโรงเรือนเป็นแบบติดตั้งอย่างถาวร ไม่สามารถปรับตามปริมาณความเร้มรังสีภายนอก ดังนั้น ในช่วงที่ความเร้มรังสีอาทิตย์ภายนอกมีน้อย จะทำให้ภายนอกโรงเรือนมีความเร้มรังสีมาก แสงอาทิตย์ค่อนข้างต่ำ ดังนั้นเพื่อให้สามารถควบคุมความเร้มรังสีอาทิตย์ได้ดีขึ้น ควรเพิ่มระบบม่านปิด-เปิดอัตโนมัติตามความเร้มรังสีอาทิตย์ที่ต้องการควบคุม

เอกสารอ้างอิง

- เฉลิมพล แซมเพชร (2535). สรีวิทยาการผลิตพืชไร่ พิมพ์ครั้งที่ 1, โ.อ.เอส.พรีนติ้งเฮ้าส์,
สำนักพิมพ์โอดี้นสโตร์,หน้า 18-42
- เสาวกรย์ บัวเล็ก (2539). การใช้พลาสติกในการเกษตร: พลาสติกสำหรับโรงเรือนปลูกพืช,
สารสาร Mtec เดือน มิถุนายน, หน้า 12-15
- ณรงค์พล สุกตะพินทุ และ ยุทธนา หาญมหจฉริยะ (2530). การลดความร้อนด้วยระบบบัน้ำฟอย ณ,
สำนักสอนสมุดกลาง มหาวิทยาลัยเที่ยงใหม่, ปริญญาในพิเศษกรรมศาสตร์บัณฑิต,
มหาวิทยาลัยเที่ยงใหม่.
- ญาณิน สิกธิชา ฯ และ ธนานท์ คำดวงดาว (2542). การปรับปูนและทดสอบระบบการให้ความ
เย็นแก่โรงเรือนเพาะชำโดยอาศัยหลักการระเหยของน้ำ, ปริญญาในพิเศษกรรม
ศาสตรบัณฑิต, มหาวิทยาลัยเที่ยงใหม่.
- พระร้าย ศุภวัฒน์เมธินทร์ (2546). การศึกษาสมรรถนะของอุปกรณ์ทำความเย็นแบบสัมผัสและ
ระเหยโดยตรง, วิทยานิพนธ์วิศวกรรมศาสตร์มหาบัณฑิต, จุฬาลงกรณ์มหาวิทยาลัย.
- ศรีรักษ์ เทพฯ , กฤชณพงศ์ กีรติกร และท่านเกียรติ เกียรติศิริโจน์ (2526). การวัดอุณหภูมิห้องพ้า
และความเป็นไปได้ของการทำความเย็นและปรับอากาศโดย Radiative Cooling,
การประชุมวิชาการครั้งที่ 4, พัฒนานอกแบบและการประยุกต์, สมาคมไทยญี่ปุ่น
ดินแดง (ไทย-ญี่ปุ่น) - สถาบันเทคโนโลยีพระจอมเกล้าธนบุรี, 16-13 มีนาคม 2526,
หน้า ๑.87-๑.98.
- อุมพล ประสมทรัพย์ ,(2541). การศึกษาความเป็นไปได้ในการทำความเย็นในโรงเรือนตอกไม้โดย
ใช้เทคนิคการทำความเย็นแบบระเหย,วิทยานิพนธ์ปริญญาวิทยาศาสตร์มหาบัณฑิต
สาขาวิชาเทคโนโลยีพัฒนา มหาวิทยาลัยเทคโนโลยีพระจอมเกล้าธนบุรี, 90หน้า
- Dussadee, N. (2002). Design of Heat Pipe for Reduction of Heat Accumulation in a
Thermosyphon Paddy Bulk Storage, Ph.D. Dissertation, The Joint Graduate
School of Energy and Environment, King Mongkut's University of Technology
Thonburi.
- Fukuda M., F. Tsuchiya., K.Ryokai., M. Mochizuki, and K.Mashiko. (1993). "Development
of an artificial permafrost storage using heat pipes". Proceedings of 7th
International Heat Pipe Conference, Vol. 2, Begell House, U.S.A., pp.305-
317.

- Foster, R.E. (1996). Evaporative Air Conditioning Fundamentals: Environmental & Economic Benefits Worldwide, Proceeding of the International Institute of Refrigeration Conference, Denmark, pp.1.6-1.10.
- Josef Tanny and Shabtai Cohen , (2002). Screenhouse Microclimate and ventilation an Experimental
- G.Desmaraisand C.Ratti,1998,Heattranfer Modelling of screenhoues ,McGill University,Canada
- Kiatsiriroat T., N. Lakdee and T. Roongrojwattana., (1998). "Heat Extraction from ground with heat pipes". 12th Mechanical Engineering Seminar, Chulalongkorn University, November, Bangkok, Thailand.
- Kiatsiriroat T. and N. Dussadee.,(2001). "Reduction of Heat Accumulated in Thermosyphon-Paddy Bulk Storage". Int. J. Ambient Energy, Vol.22, No.1, pp.12-18.
- Lee Y. and C.Z. Wu., (1993). "Use of two-phase closed thermosyphon in concrete curing process: comparison of analysis and experiment ". Proceedings of 7th International heat pipe conference, Vol. 2, Begell House, U.S.A., pp.319-325.
- Mastalerz, J.W. (1977). EvaporativeCooling, P20-29. In : Mastalerz, J.W. The Greenhouse Environment. United State of America : The Pennsylvania State University.
- Rossel H.W,1979,A New and economical screehouse for virus research in topical areas, FAO. Plant Protect,Bull,pp.74-76
- Simmons,J.D. and Lott ,B.D.,(1996). 'Evaporative Cooling Performance Resulting From Changes In Water Temperature," Applied Engineering in Agriculture,Vol.12,No.4,pp.497-500
- Williams, G.S. and Shumack, R.L. (1983). Cooling Greenhouse. In: Williams, G.S.; Shumack, R.L. , Greenhouse flowers and bedding plants for Agribusiness studies. United State of American : The interstate Printer & Publishers, Inc.

ภาคผนวก

ภาคผนวก ก

ตารางที่ ก.1 อุณหภูมิอากาศเฉลี่ยรายในโรงเรือนของสำนักงานวิจัยฯ และศูนย์ก่อสร้างไม้ฯ

| เวลา | สำนักวิจัยและส่งเสริมวิชาการการเกษตร | | | | | | | | ศูนย์ก่อสร้างไม้ตอกและไม้ประดับ | | | | | | | |
|-------|--------------------------------------|-------|------------------------|-------|-------|-------|-------------------------|-------|---------------------------------|-------|------------------------|-------|-------|-------|-------------------------|-------|
| | อุณหภูมิอากาศ ภายในโรงเรือน | | อุณหภูมิอากาศม่านเปียก | | | | อุณหภูมน้ำม่าน เปียก | | อุณหภูมิอากาศ ภายในโรงเรือน | | อุณหภูมิอากาศม่านเปียก | | | | อุณหภูมน้ำม่าน เปียก | |
| | เข้า | | ออก | | เข้า | ออก | เข้า | | เข้า | ออก | เข้า | | เข้า | ออก | เข้า | |
| | db. | wb. | db. | wb. | db. | wb. | db. | wb. | db. | wb. | db. | wb. | db. | wb. | db. | wb. |
| 9:00 | 24.06 | 22.00 | 20.80 | 16.70 | 23.25 | 20.69 | 20.10 | 19.50 | 22.52 | 20.17 | 20.25 | 16.00 | 22.50 | 18.63 | 20.93 | 21.50 |
| 9:30 | 22.32 | 21.25 | 22.23 | 18.07 | 20.48 | 20.03 | 19.47 | 17.33 | 24.11 | 21.38 | 20.75 | 16.00 | 24.06 | 19.75 | 20.43 | 18.50 |
| 10:00 | 22.55 | 21.17 | 24.07 | 18.70 | 21.47 | 19.93 | 18.77 | 17.40 | 27.20 | 23.50 | 23.83 | 16.83 | 25.25 | 23.58 | 20.30 | 19.00 |
| 10:30 | 26.91 | 23.03 | 25.07 | 19.37 | 25.61 | 21.17 | 19.17 | 19.03 | 22.82 | 20.06 | 24.67 | 17.67 | 21.08 | 19.42 | 20.63 | 19.67 |
| 11:00 | 23.26 | 21.22 | 27.27 | 20.03 | 21.18 | 19.77 | 19.43 | 18.67 | 23.57 | 20.03 | 26.67 | 18.33 | 20.46 | 18.92 | 19.67 | 18.83 |
| 11:30 | 25.24 | 22.98 | 28.37 | 21.13 | 21.44 | 20.65 | 19.57 | 18.50 | 23.80 | 20.69 | 27.67 | 19.00 | 21.13 | 19.38 | 20.07 | 19.00 |
| 12:00 | 24.02 | 21.86 | 29.00 | 21.27 | 21.36 | 20.25 | 19.77 | 19.33 | 24.74 | 20.92 | 29.67 | 19.50 | 21.79 | 19.42 | 19.60 | 19.17 |
| 12:30 | 24.53 | 22.17 | 30.17 | 21.23 | 21.75 | 20.51 | 19.83 | 19.83 | 25.44 | 21.11 | 31.00 | 19.83 | 22.17 | 19.67 | 19.90 | 19.33 |
| 13:00 | 24.96 | 22.28 | 30.70 | 21.60 | 22.32 | 20.83 | 20.43 | 20.50 | 25.46 | 21.19 | 32.00 | 19.83 | 22.29 | 19.96 | 20.13 | 19.67 |
| 13:30 | 25.02 | 22.11 | 31.03 | 21.40 | 22.08 | 20.47 | 20.70 | 20.33 | 25.74 | 21.44 | 32.33 | 19.83 | 22.88 | 19.83 | 20.50 | 19.67 |
| 14:00 | 24.67 | 21.78 | 30.60 | 21.75 | 21.78 | 20.20 | 20.50 | 19.83 | 25.82 | 21.17 | 32.67 | 20.00 | 22.75 | 19.67 | 20.13 | 19.00 |
| 14:30 | 24.61 | 21.56 | 30.90 | 21.55 | 21.82 | 20.30 | 20.60 | 19.75 | 25.66 | 20.92 | 33.67 | 19.67 | 22.50 | 19.13 | 19.57 | 18.83 |
| 15:00 | 24.29 | 21.38 | 31.17 | 21.23 | 21.72 | 20.00 | 20.40 | 19.67 | 25.60 | 20.50 | 33.33 | 19.50 | 22.29 | 19.21 | 19.57 | 18.83 |
| 15:30 | 23.94 | 21.08 | 31.93 | 21.07 | 21.33 | 19.80 | 20.00 | 19.25 | 25.24 | 20.06 | 32.67 | 19.83 | 22.33 | 18.96 | 19.15 | 18.50 |
| 16:00 | 25.54 | 21.99 | 29.95 | 21.35 | 23.17 | 20.23 | 20.13 | 20.00 | 23.41 | 19.72 | 32.67 | 18.83 | 21.33 | 18.54 | 19.95 | 18.50 |

ตารางที่ ก.2 ความชื้นสัมพัทธ์เฉลี่ยของอากาศ ณ. จุดต่างๆ ของโรงเรือนสำนักงานวิจัยฯ
และศูนย์กลัวยไม้ฯ

| เวลา | สำนักวิจัย และส่วนราชการเกษตร | | | ศูนย์กลัวยไม้คอกและไม้ประดับ | | |
|--------|-------------------------------|-----------------------|-------------------|------------------------------|-----------------------|-------------------|
| | อากาศ แวดล้อม | หลังผ่าน ม่านเปียก | ภายใน โรงเรือน | อากาศ แวดล้อม | หลังผ่าน ม่านเปียก | ภายใน โรงเรือน |
| 9:00 | 66.9 | 79.7 | 82.8 | 65.0 | 69.9 | 81.1 |
| 9:30 | 67.4 | 92.2 | 88.0 | 61.6 | 68.1 | 79.0 |
| 10:00 | 61.3 | 87.7 | 87.8 | 45.3 | 64.7 | 71.4 |
| 10:30 | 61.0 | 69.2 | 71.4 | 50.4 | 86.5 | 73.5 |
| 11:00 | 52.5 | 88.6 | 75.0 | 45.0 | 86.8 | 69.3 |
| 11:30 | 57.7 | 93.5 | 84.9 | 45.1 | 85.1 | 70.0 |
| 12:00 | 51.3 | 90.9 | 83.0 | 39.1 | 80.3 | 63.7 |
| 12:30 | 45.6 | 89.6 | 80.2 | 35.4 | 79.7 | 64.6 |
| 13:00 | 45.1 | 87.9 | 78.8 | 32.2 | 81.2 | 65.0 |
| 13:30 | 43.4 | 86.7 | 68.9 | 31.0 | 75.7 | 61.6 |
| 14:00 | 46.1 | 86.9 | 77.4 | 30.8 | 75.2 | 62.8 |
| 14:30 | 43.9 | 87.0 | 77.1 | 26.5 | 73.2 | 62.6 |
| 15:00 | 41.3 | 85.8 | 77.4 | 26.7 | 75.5 | 60.8 |
| 15:30 | 38.2 | 86.9 | 78.2 | 28.5 | 73.1 | 60.7 |
| 16:00 | 46.9 | 77.3 | 71.1 | 26.6 | 76.9 | 61.8 |
| เฉลี่ย | 51.2 | 86.0 | 78.8 | 39.3 | 76.8 | 67.2 |



ตาราง ช.1 ข้อมูลโรงเรือนชนบทไม่มีการทำงานของระบบ

| Time | อุณหภูมิอากาศ | | อุณหภูมิอากาศในโรงเรือน | | | | อุณหภูมิอากาศบนเพดาน | | | | อุณหภูมิดิน | | | | Wall Temp | | Roof Temp | | Solar I (W/sq-m) | | | | | | |
|-------|------------------|------|-------------------------|------|------|------------|----------------------|------|------|------------|-------------|------|------|------|-----------|------|-----------|------|------------------|------|------|------|------|------|-------|
| | อากาศ แวดล้อม | | หน้า | กลาง | หลัง | Av (db) | หน้า | กลาง | หลัง | Av (db) | | | | | | | | | หน้า | กลาง | หลัง | Av. | Amb | | |
| | db | wb | db | db | wb | db | db | db | wb | db | 1 | 2 | 3 | Av. | N | S | N | S | db | db | db | db | | | |
| 9:00 | 28.5 | 26.0 | 33.5 | 33.5 | 26.0 | 33.5 | 33.5 | 43.8 | 41.9 | 28.5 | 44.5 | 43.4 | 25.5 | 25.8 | 25.7 | 25.7 | 26.7 | 33.5 | 36.6 | 43.3 | 32.0 | 37.0 | 37.0 | 35.3 | 660.0 |
| 9:20 | 29.0 | 26.0 | 34.0 | 34.0 | 27.0 | 34.0 | 34.0 | 49.2 | 44.5 | 29.6 | 48.1 | 47.3 | 27.3 | 27.6 | 27.5 | 27.5 | 27.2 | 34.0 | 40.5 | 47.3 | 33.0 | 38.0 | 38.0 | 36.3 | 670.0 |
| 9:40 | 28.5 | 24.9 | 36.5 | 36.0 | 27.0 | 35.0 | 35.8 | 51.2 | 43.5 | 29.5 | 44.5 | 46.4 | 27.3 | 27.4 | 27.4 | 27.4 | 29.0 | 35.8 | 39.6 | 46.4 | 27.0 | 33.0 | 33.0 | 31.0 | 705.0 |
| 10:00 | 27.5 | 25.0 | 35.9 | 36.0 | 28.0 | 36.0 | 36.0 | 49.9 | 42.3 | 28.9 | 44.8 | 45.7 | 27.6 | 27.7 | 27.7 | 27.7 | 29.2 | 36.0 | 37.9 | 44.7 | 27.0 | 35.0 | 35.0 | 32.3 | 750.0 |
| 10:20 | 30.0 | 25.0 | 39.0 | 40.0 | 28.5 | 39.0 | 39.3 | 53.7 | 49.5 | 29.6 | 51.8 | 51.7 | 25.8 | 26.2 | 26.0 | 26.0 | 32.5 | 39.3 | 44.9 | 51.7 | 34.0 | 38.0 | 38.0 | 36.7 | 680.0 |
| 10:40 | 28.9 | 24.9 | 38.8 | 39.8 | 28.0 | 39.0 | 39.2 | 56.4 | 49.0 | 28.7 | 48.9 | 51.4 | 26.2 | 26.1 | 26.2 | 26.2 | 32.4 | 39.2 | 44.6 | 51.4 | 37.0 | 58.0 | 58.0 | 51.0 | 794.0 |
| 11:00 | 31.8 | 26.0 | 36.9 | 39.0 | 28.0 | 39.0 | 38.3 | 55.8 | 44.8 | 28.8 | 45.8 | 48.8 | 25.8 | 26.1 | 26.0 | 26.0 | 31.5 | 38.3 | 42.0 | 48.8 | 57.0 | 55.0 | 55.0 | 55.7 | 848.0 |
| 11:20 | 31.0 | 26.0 | 38.0 | 38.0 | 28.0 | 38.0 | 38.0 | 50.3 | 45.1 | 29.7 | 45.1 | 46.8 | 27.8 | 28.0 | 27.9 | 27.9 | 31.2 | 38.0 | 40.0 | 46.8 | 54.0 | 65.0 | 65.0 | 61.3 | 865.0 |
| 11:40 | 31.0 | 25.0 | 44.0 | 45.0 | 29.0 | 44.5 | 44.5 | 29.8 | 53.2 | 30.7 | 54.5 | 45.8 | 26.1 | 26.4 | 26.3 | 26.3 | 37.7 | 44.5 | 39.0 | 45.8 | 47.0 | 58.0 | 58.0 | 54.3 | 805.0 |
| 12:00 | 31.0 | 25.5 | 45.0 | 46.0 | 30.0 | 45.5 | 45.5 | 60.3 | 53.1 | 30.0 | 54.1 | 55.8 | 26.1 | 26.0 | 26.1 | 26.1 | 38.7 | 45.5 | 49.0 | 55.8 | 61.0 | 67.0 | 67.0 | 65.0 | 924.0 |
| 12:20 | 31.0 | 25.5 | 43.5 | 45.0 | 29.0 | 43.0 | 43.8 | 56.7 | 52.3 | 30.3 | 53.4 | 54.1 | 25.7 | 26.1 | 25.8 | 25.9 | 37.0 | 43.8 | 47.4 | 54.2 | 60.0 | 63.0 | 63.0 | 62.0 | 920.0 |
| 12:40 | 31.0 | 25.9 | 40.0 | 41.0 | 28.0 | 41.0 | 40.7 | 55.6 | 44.7 | 28.6 | 44.8 | 48.4 | 26.4 | 26.3 | 26.4 | 26.4 | 33.9 | 40.7 | 41.6 | 48.4 | 58.0 | 56.0 | 59.0 | 57.7 | 888.0 |
| 13:00 | 32.0 | 26.0 | 43.0 | 44.0 | 28.6 | 43.5 | 43.5 | 55.5 | 48.7 | 30.0 | 50.0 | 51.4 | 25.6 | 25.9 | 25.8 | 25.8 | 36.7 | 43.5 | 44.6 | 51.4 | 30.0 | 36.0 | 36.0 | 34.0 | 792.0 |
| 13:20 | 32.0 | 26.0 | 41.0 | 41.0 | 28.0 | 41.0 | 41.0 | 57.8 | 42.6 | 38.7 | 53.6 | 51.3 | 27.0 | 27.1 | 27.1 | 27.1 | 34.2 | 41.0 | 47.9 | 54.7 | 31.0 | 40.0 | 40.0 | 37.0 | 796.0 |

ตาราง ข.1 ข้อมูลโรงเรือนขณะที่ไม่มีการทำงานของระบบ (ต่อ)

| Time | อุณหภูมิอากาศ อากาศ แมดล์คัม | อุณหภูมิอากาศในโรงเรือน | | | | | | อุณหภูมิอากาศบนเพดาน | | | | | | อุณหภูมิดิน | | | | Wall Temp | | Roof Temp | | Solar I (W/sq-m) | | | | | |
|-------|------------------------------------|-------------------------|------|------|------|------|------|----------------------|------|------|------|------|------|-------------|------|------|------|-----------|------|-----------|------|------------------|------|------|-------|-----|--|
| | | หน้า | กลาง | หลัง | Av | หน้า | กลาง | หลัง | Av | | | | | | | | | | | | | | | | | | |
| | | db | wb | db | db | wb | db | db | (db) | db | db | wb | db | 1 | 2 | 3 | Av. | N | S | N | S | หน้า | กลาง | หลัง | Av. | Amb | |
| 13:40 | 33.0 | 25.9 | 43.5 | 44.0 | 29.0 | 44.0 | 43.8 | 59.7 | 54.1 | 38.9 | 55.1 | 56.3 | 26.2 | 29.3 | 26.3 | 27.3 | 37.0 | 43.8 | 49.5 | 56.3 | 21.0 | 38.0 | 38.0 | 32.3 | 822.0 | | |
| 14:00 | 31.0 | 25.5 | 36.0 | 36.0 | 26.8 | 36.0 | 36.0 | 48.1 | 39.9 | 28.7 | 40.1 | 42.7 | 27.8 | 27.8 | 27.8 | 27.8 | 29.2 | 36.0 | 35.9 | 42.7 | 27.0 | 32.0 | 32.0 | 30.3 | 757.0 | | |
| 14:20 | 32.0 | 26.0 | 40.5 | 40.5 | 27.5 | 40.5 | 40.5 | 49.6 | 44.1 | 28.0 | 44.9 | 46.2 | 28.5 | 27.5 | 27.5 | 27.8 | 33.7 | 40.5 | 35.4 | 46.2 | 28.0 | 30.0 | 30.0 | 29.3 | 633.0 | | |
| 14:40 | 35.0 | 26.0 | 41.0 | 41.0 | 27.5 | 40.5 | 40.8 | 52.2 | 50.5 | 29.3 | 51.6 | 51.4 | 26.9 | 27.1 | 27.0 | 27.0 | 34.0 | 40.8 | 44.6 | 51.4 | 25.0 | 36.0 | 36.0 | 32.3 | 625.0 | | |
| 15:00 | 32.0 | 25.0 | 36.5 | 36.5 | 26.0 | 36.0 | 36.3 | 44.6 | 40.7 | 28.1 | 41.4 | 42.2 | 28.7 | 28.6 | 28.6 | 28.6 | 29.5 | 36.3 | 35.4 | 42.2 | 24.0 | 42.0 | 42.0 | 36.0 | 656.0 | | |
| 15:20 | 38.0 | 25.0 | 39.0 | 39.0 | 26.5 | 39.0 | 39.0 | 46.3 | 44.2 | 27.4 | 44.7 | 45.1 | 26.8 | 27.1 | 27.0 | 27.0 | 32.2 | 39.0 | 38.3 | 45.1 | 18.0 | 20.0 | 20.0 | 19.3 | 588.0 | | |
| 15:40 | 34.0 | 25.5 | 37.0 | 37.5 | 26.5 | 37.5 | 37.3 | 46.8 | 44.2 | 2.4 | 45.2 | 45.4 | 28.0 | 28.2 | 26.1 | 27.4 | 30.5 | 37.3 | 38.6 | 45.4 | 10.0 | 13.0 | 13.0 | 12.0 | 572.0 | | |
| 16:00 | 34.0 | 25.0 | 37.0 | 37.0 | 26.0 | 37.0 | 37.0 | 42.9 | 40.7 | 27.2 | 41.8 | 41.8 | 27.4 | 27.7 | 27.6 | 27.6 | 30.2 | 37.0 | 35.0 | 51.8 | 10.0 | 11.0 | 12.0 | 11.0 | 483.0 | | |